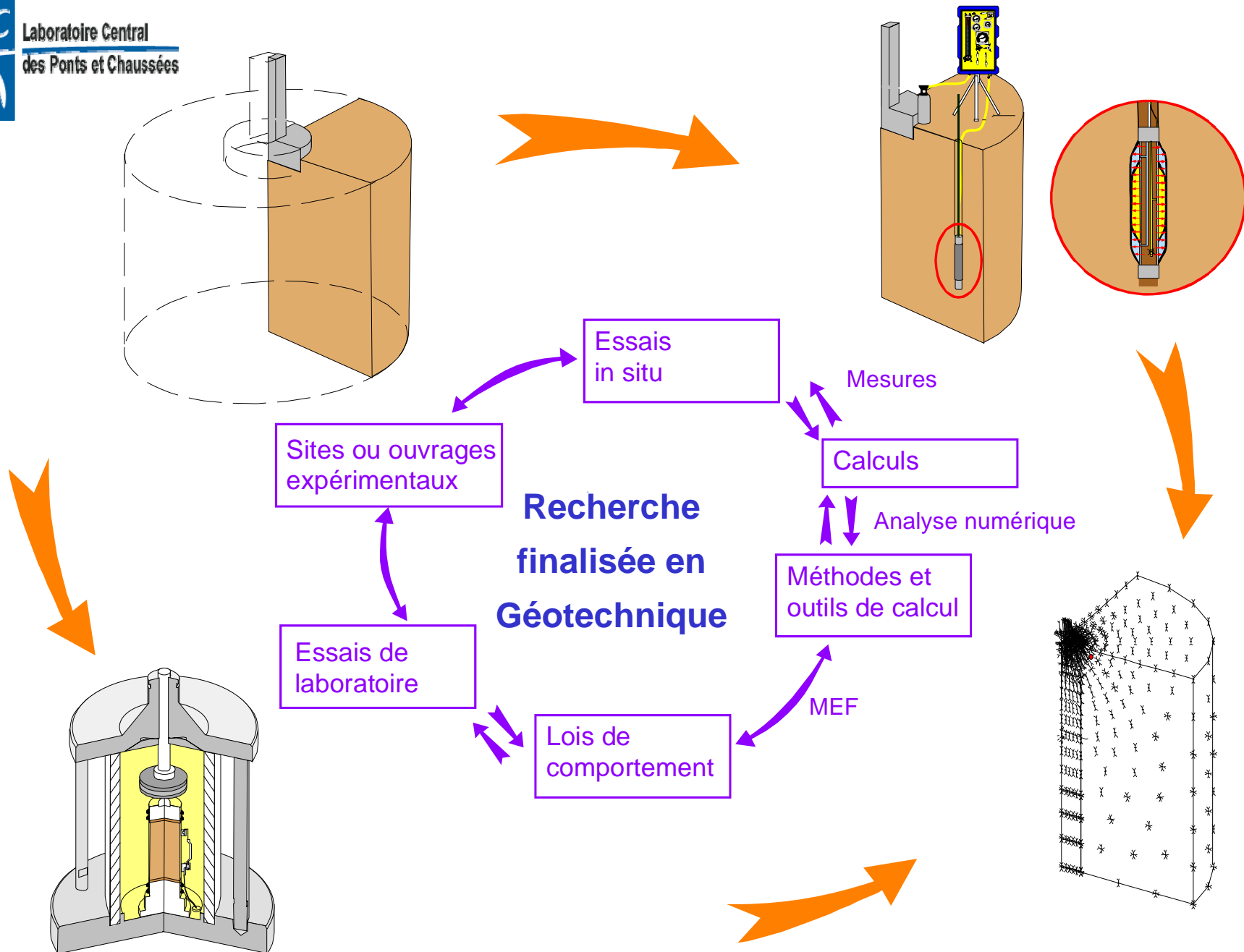


Reconnaissance et essais géotechniques

Bilan des 11J021 et 11P061

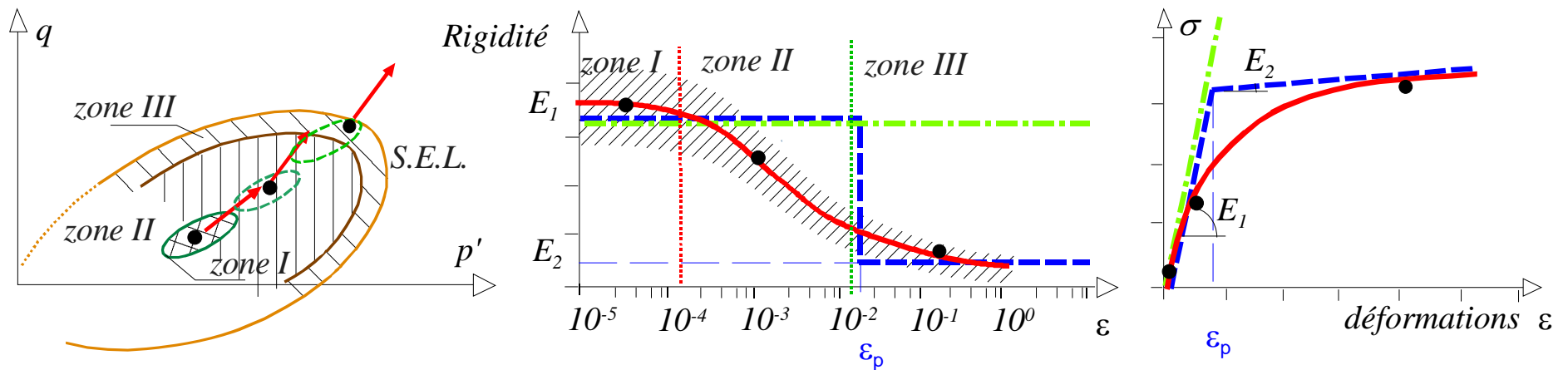
Reiffsteck Ph.
LCPC dept. GER groupe CSROG

- **Objectifs**
- **Prélèvement**
 - CPS
 - Laval
 - Nouveau carottier
- **Anisotropie**
- **Essais mécaniques**
 - Triaxial in situ
 - Pressiomètre autoforeur
 - Chargement de pointe
 - Perméafor
 - Paramètres de forage
- **Normalisation**
 - réflexion sur l'influence des nouvelles normes européennes



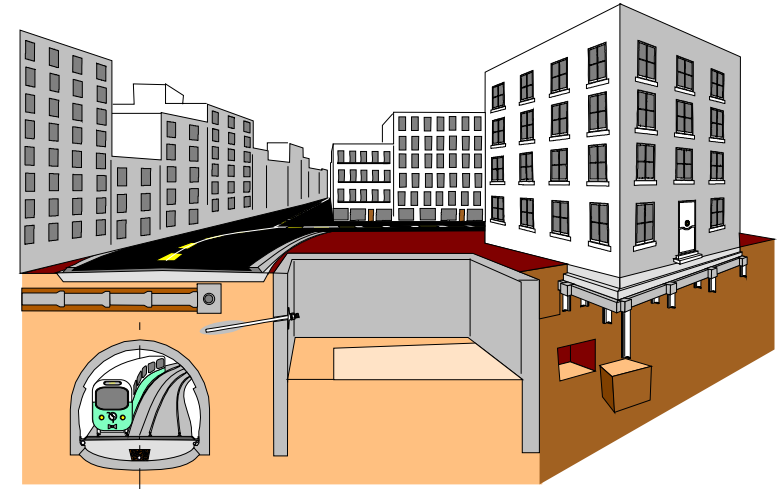
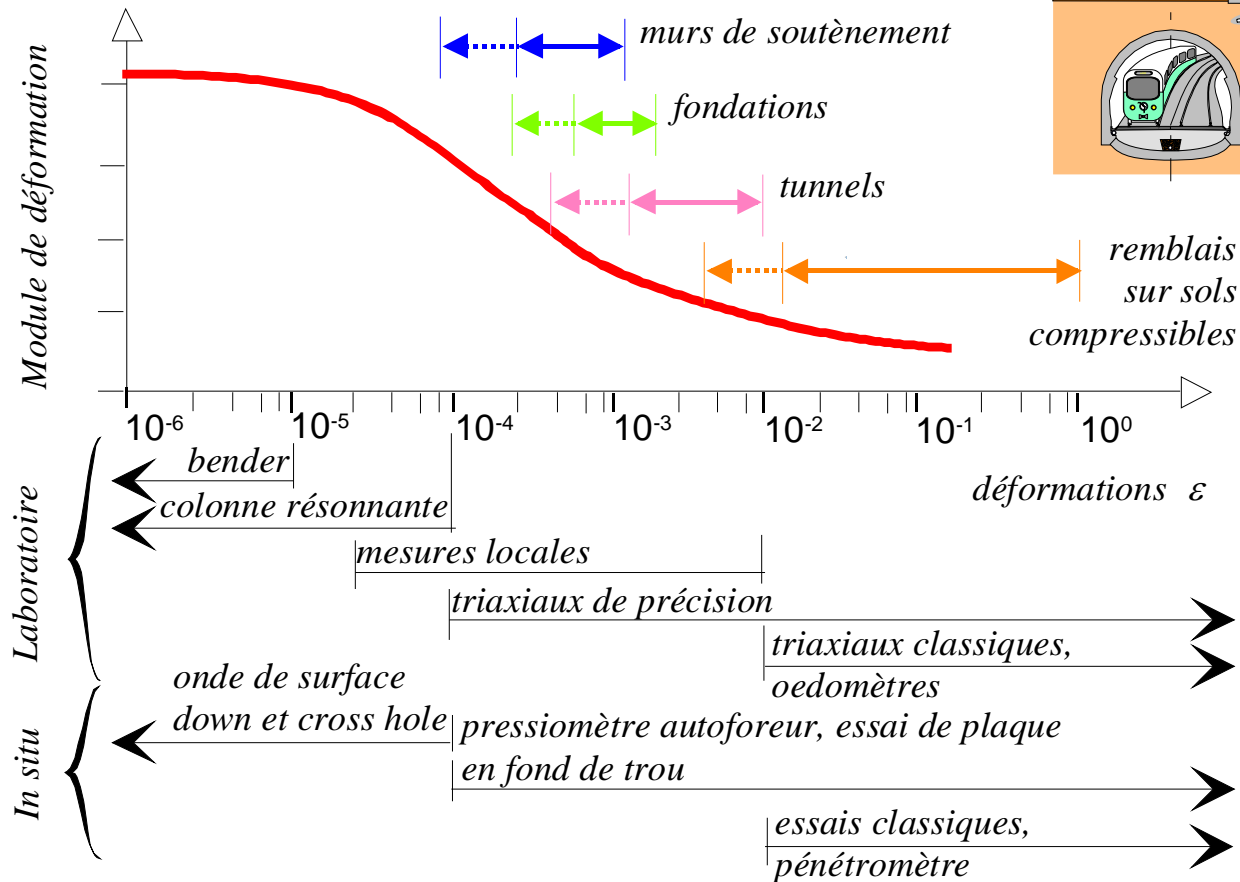
Besoins de la pratique

- Compréhension du comportement du matériau selon le type d'essai



Besoins de la pratique

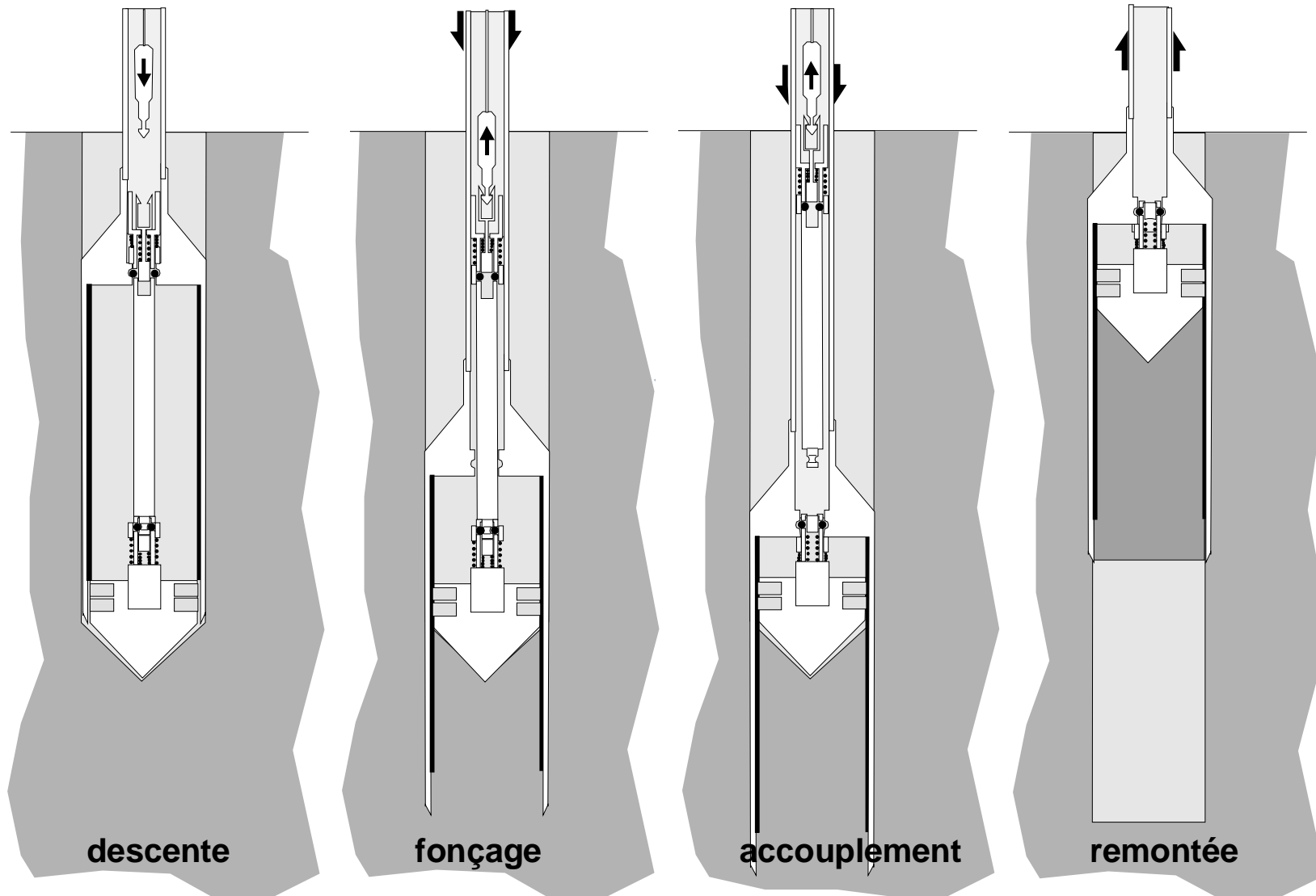
- Détermination des modules de déformation



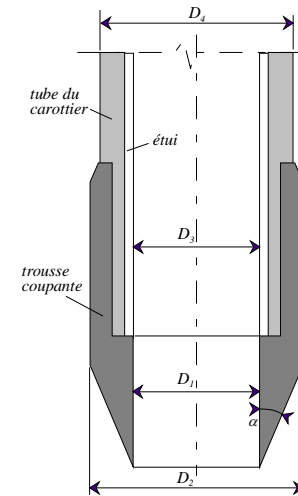
Actions entreprises : Prélèvement

- CPS (LR Rouen – LCPC)
- Laval (LR Rouen – LCPC)
- Nouveau carottier (LCPC – LR Rouen – LREP – LR Blois)

- phasage du carottage = **n'est pas stationnaire**

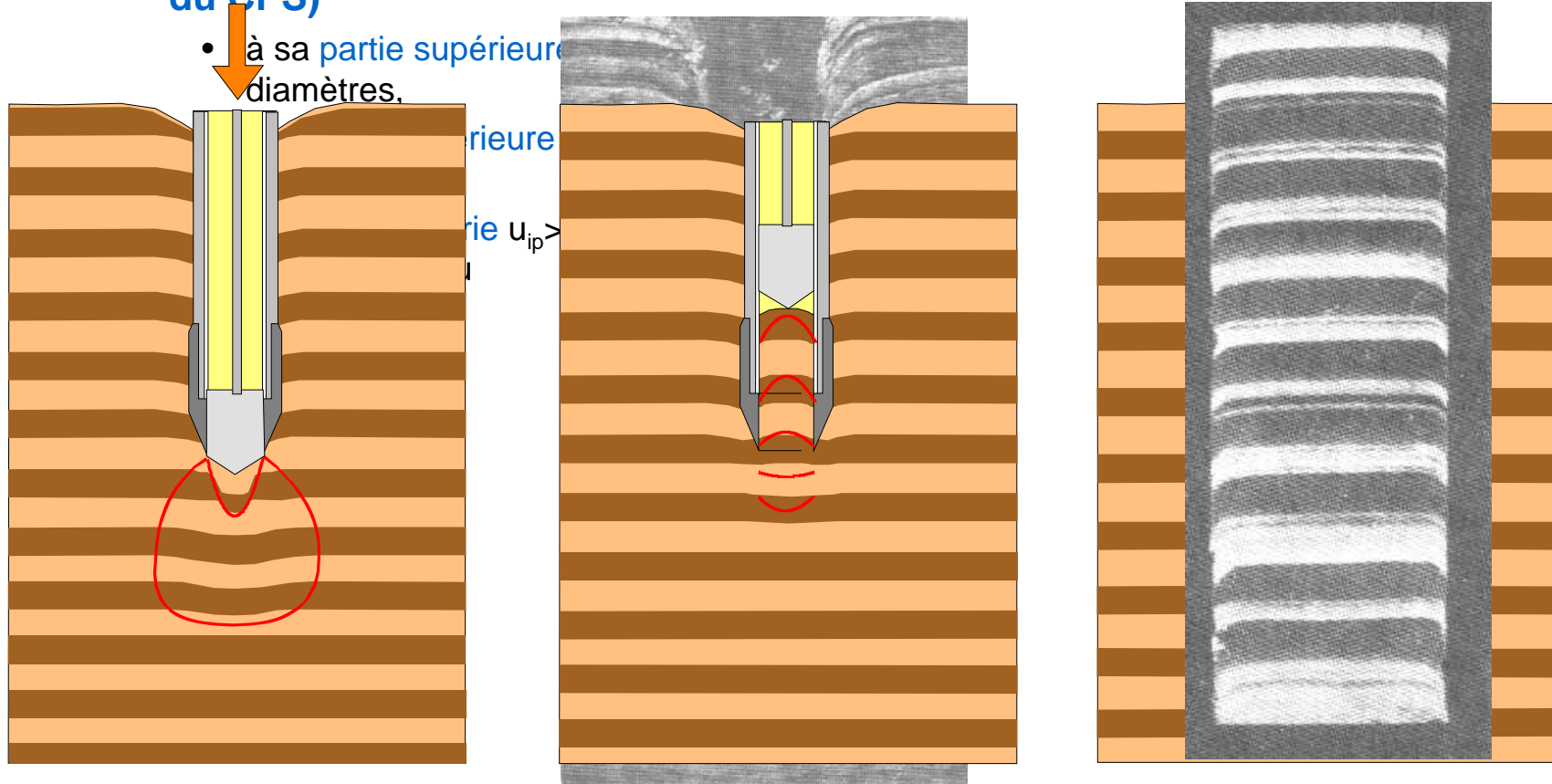


Effet du prélèvement



– l'échantillon est remanié (cas du CPS)

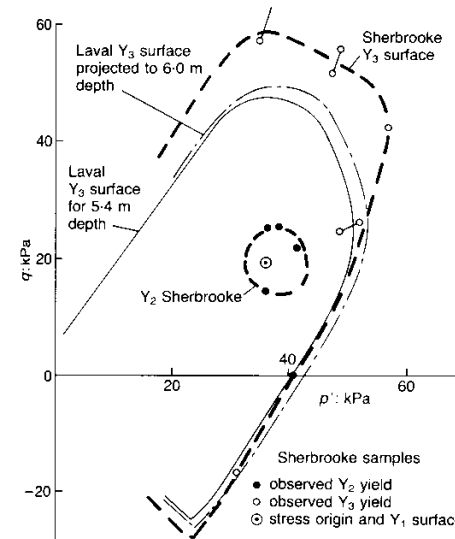
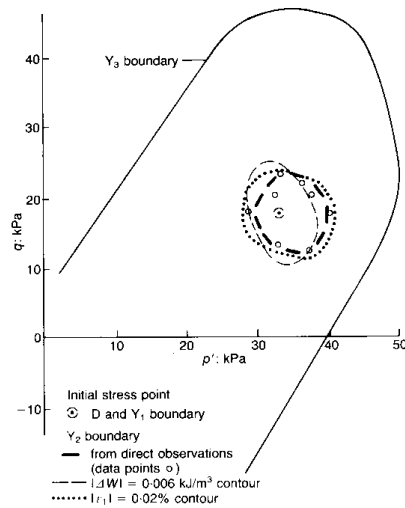
- à sa partie supérieure diamètres.



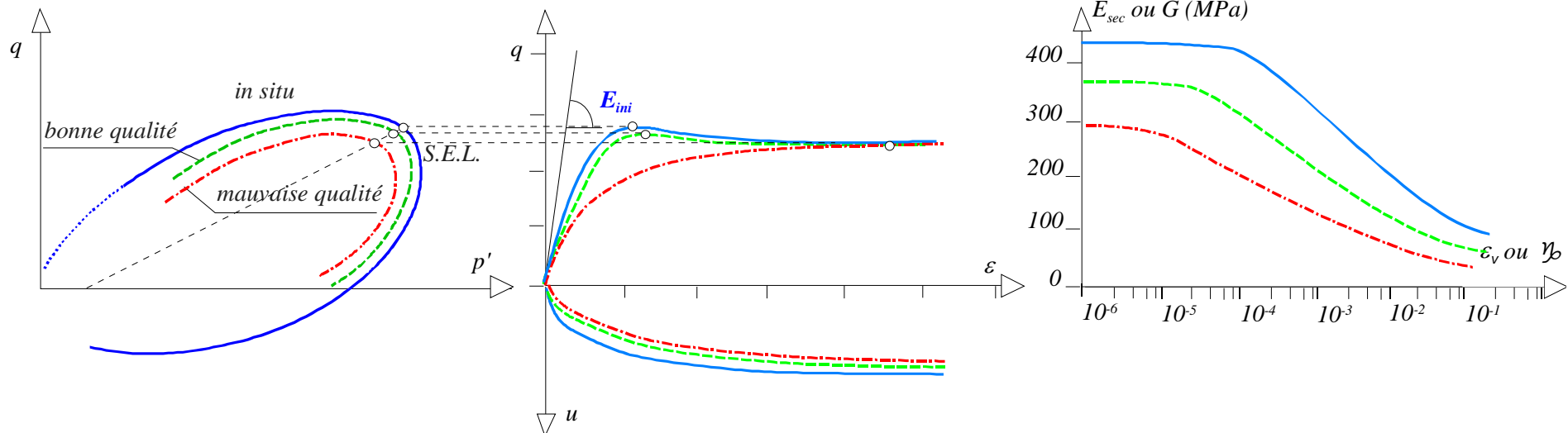
Conséquence éliminer la périphérie et travailler en gros diamètres $\pi-8$

Effet du prélèvement

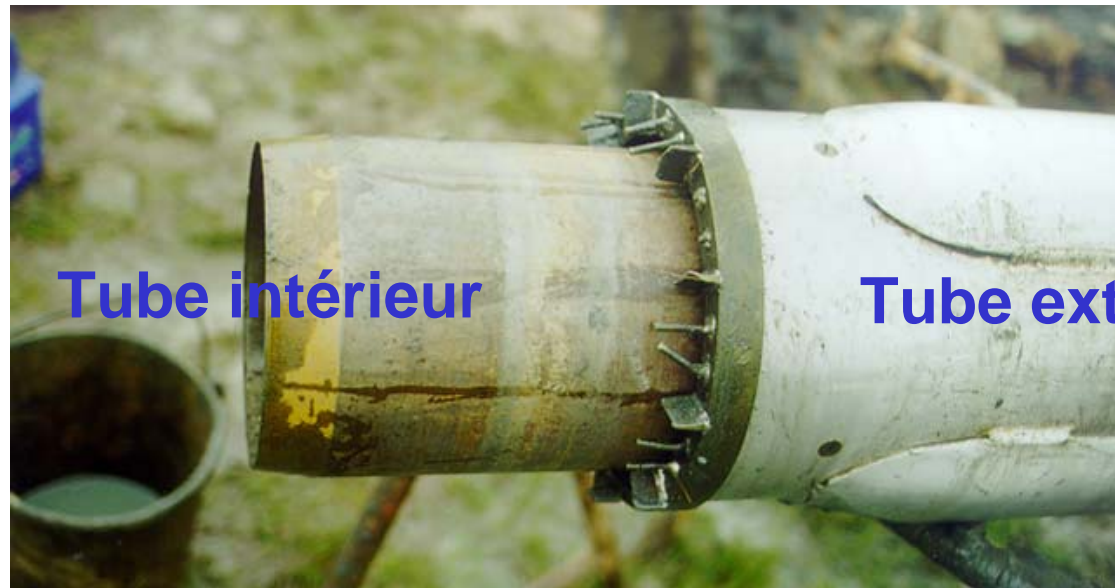
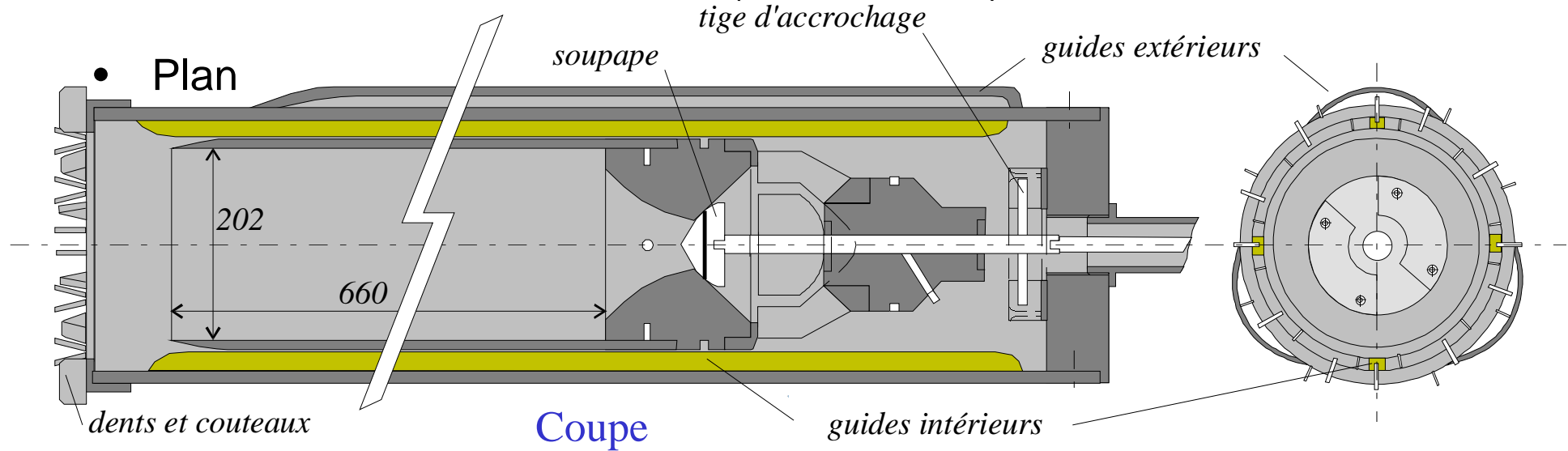
- Effet sur la caractérisation mécanique



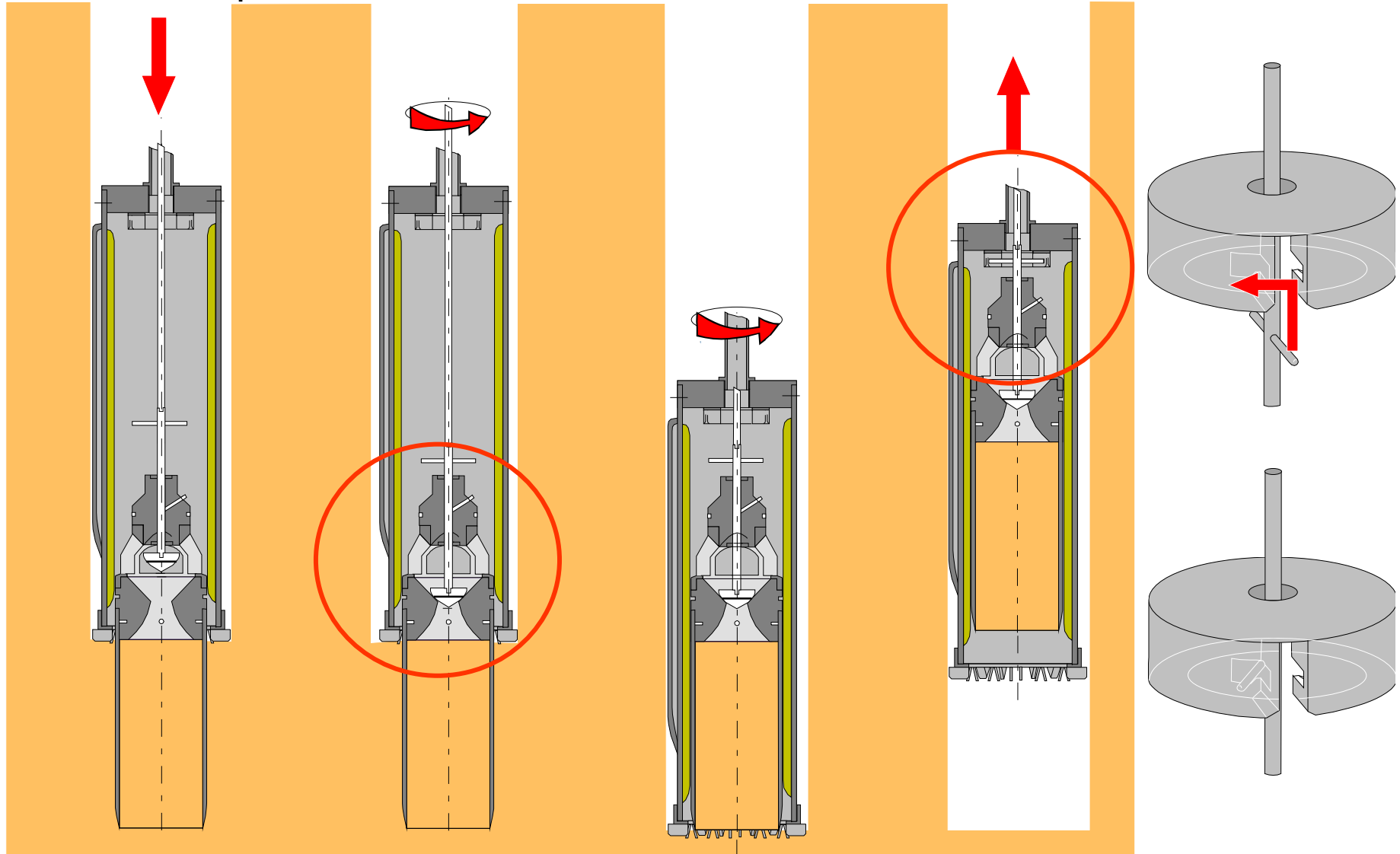
Bothkennar clay
(Smith et al., 1992)



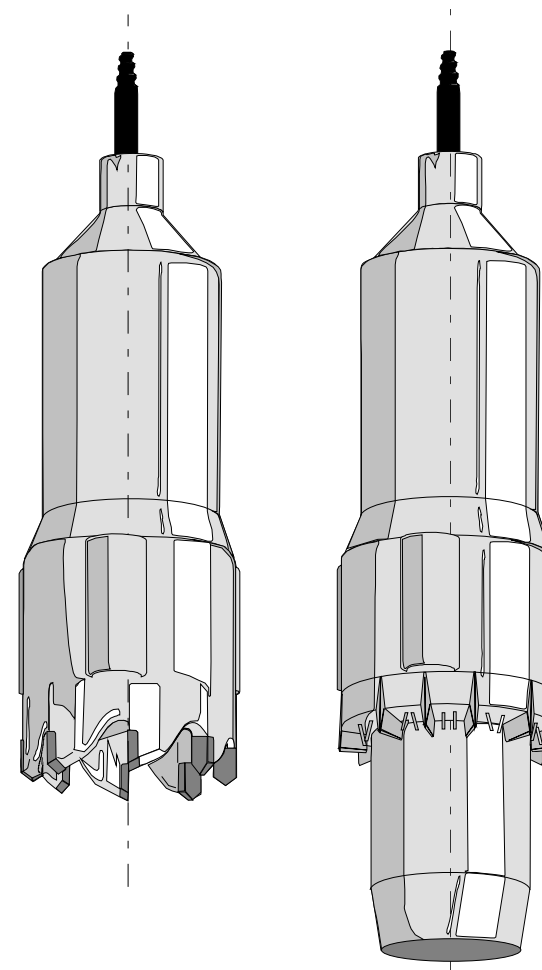
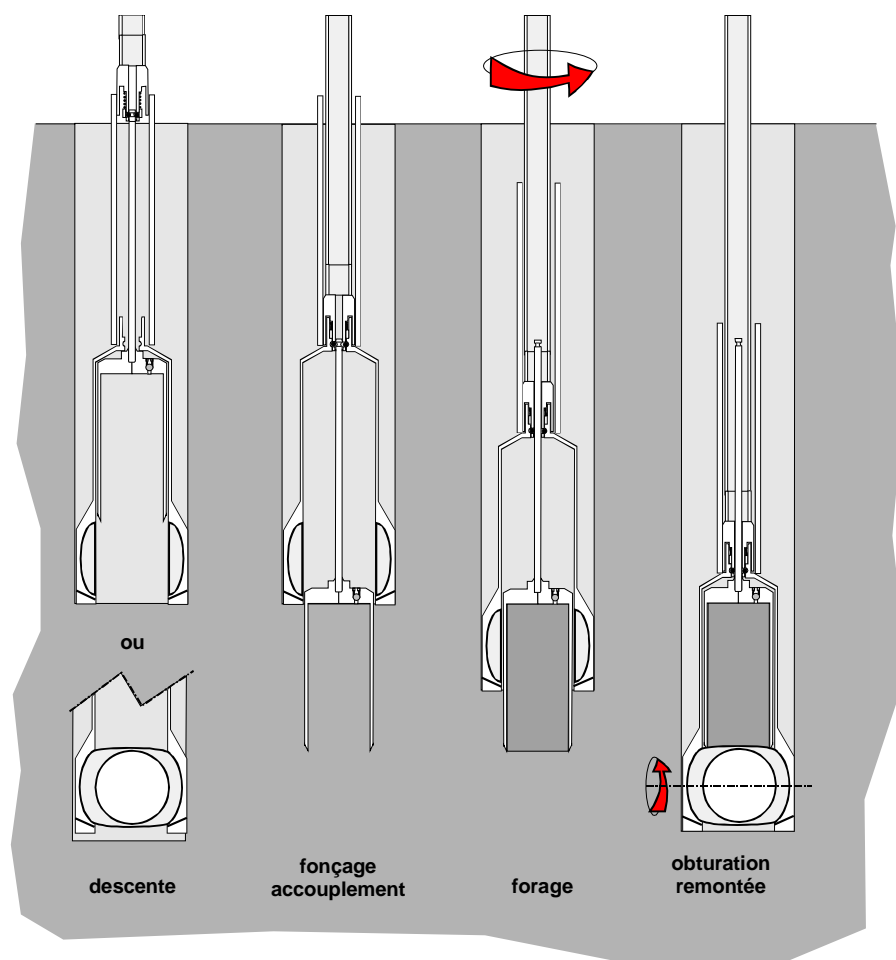
- Vue du carottier de Rouen (CECP/LRPC)



- Principe d'utilisation

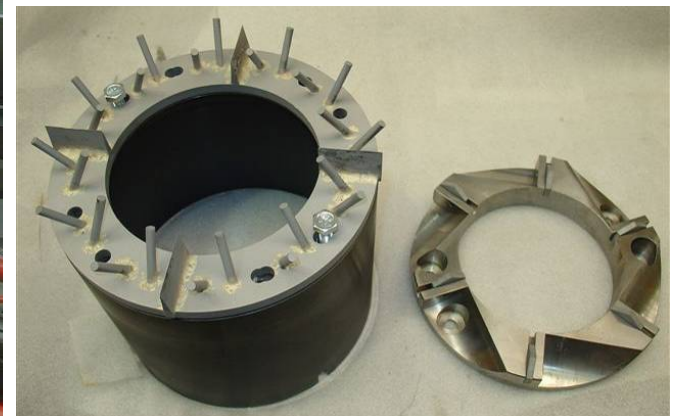
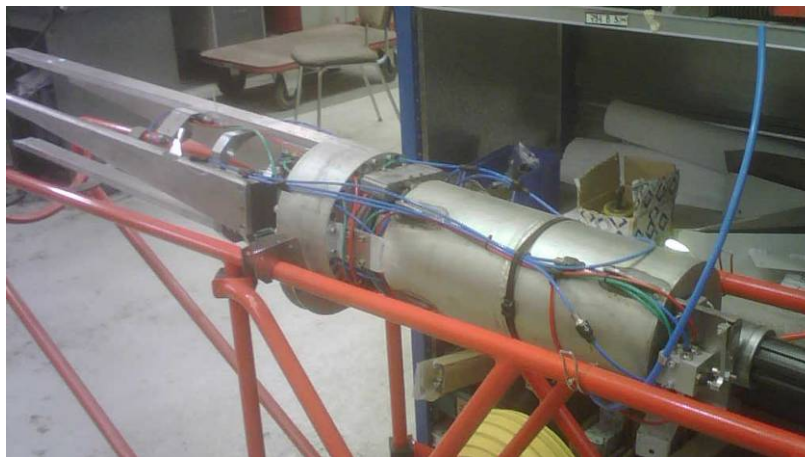
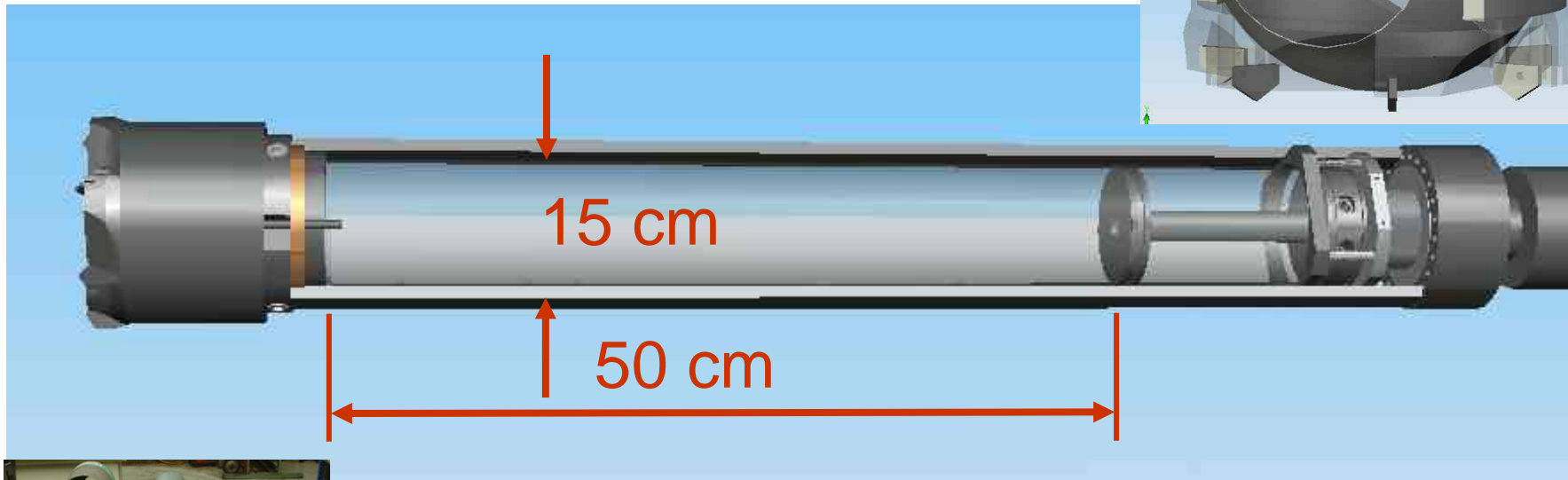


- À boisseau sphérique



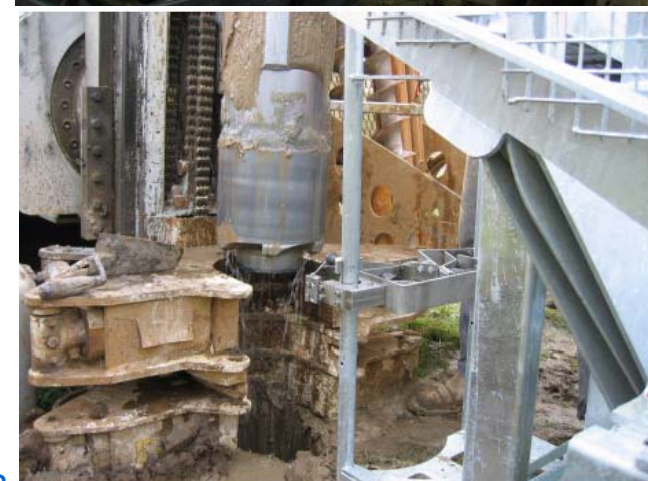
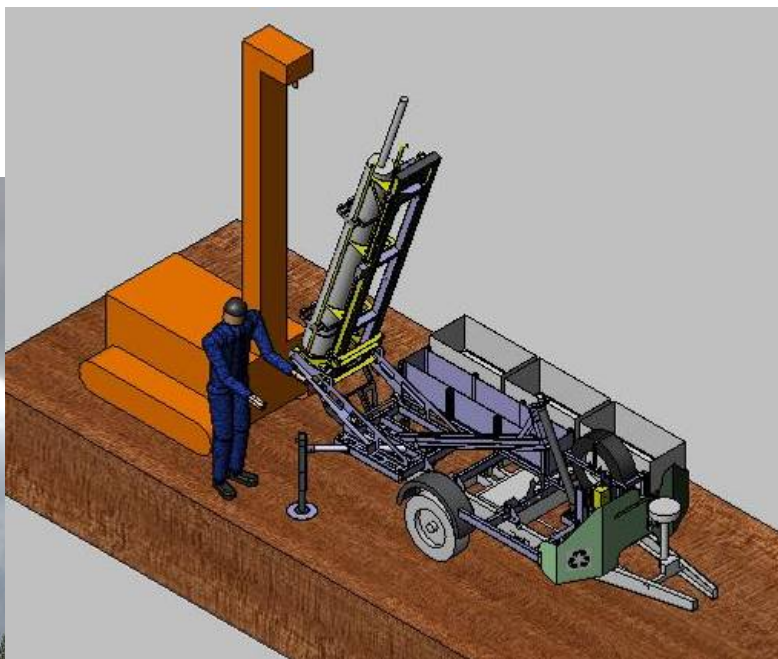
Carottier A+

- Boisseau sphérique



Carottier A+

- ergonomie et premiers essais 10/03/2010
(CECP Angers, LRPC Rouen, Blois)



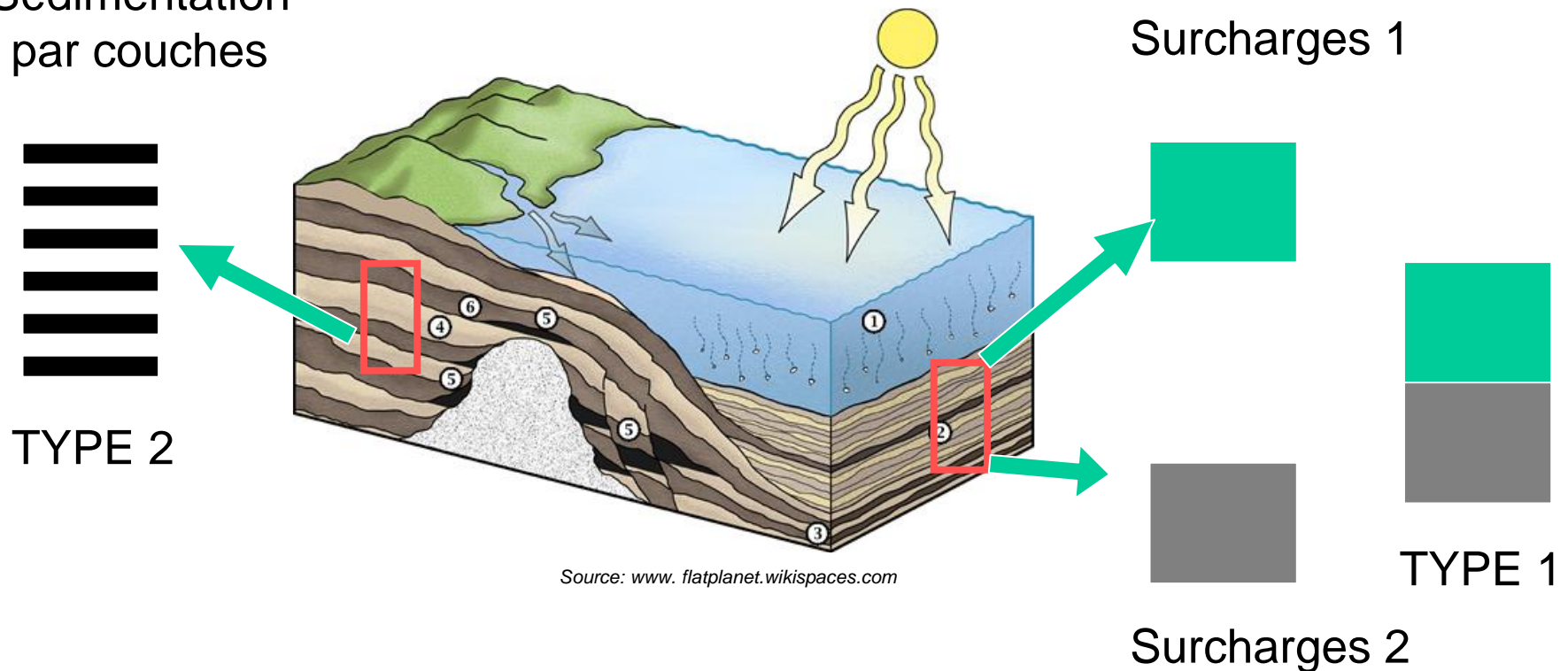
Actions entreprises : Anisotropie

- Marnes (LR Aix)
- Inhérentes et induites (LCPC)

Anisotropie

La formation de l'anisotropie des sols

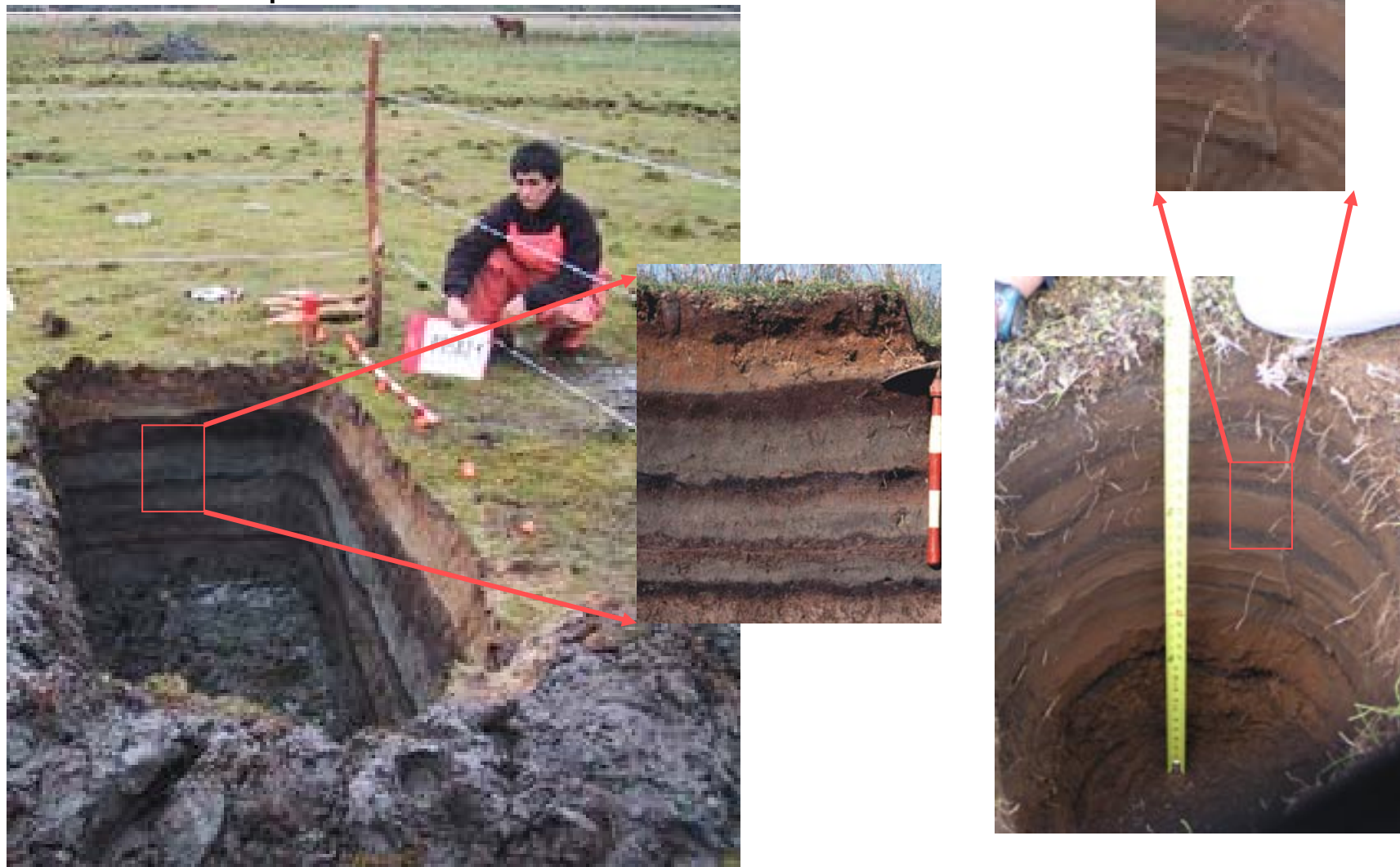
Sédimentation
par couches



**complexité structurelle des sols
-> comportement anisotrope**

Anisotropie

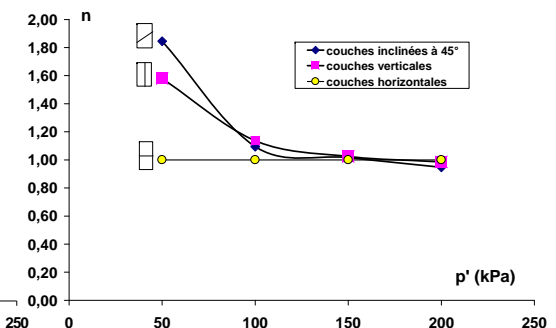
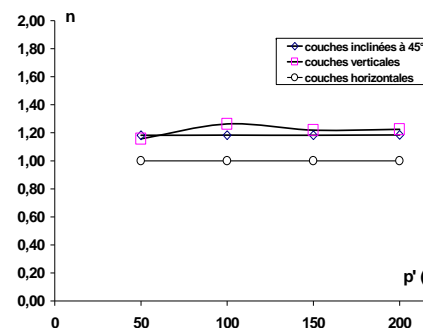
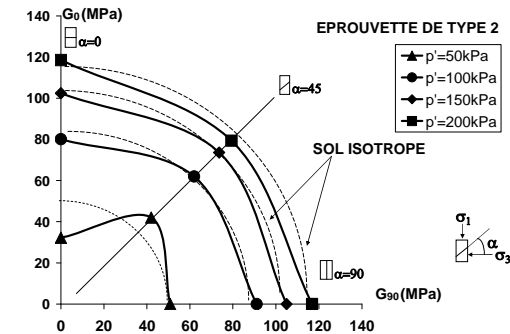
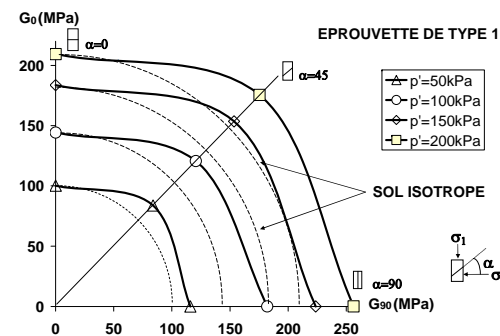
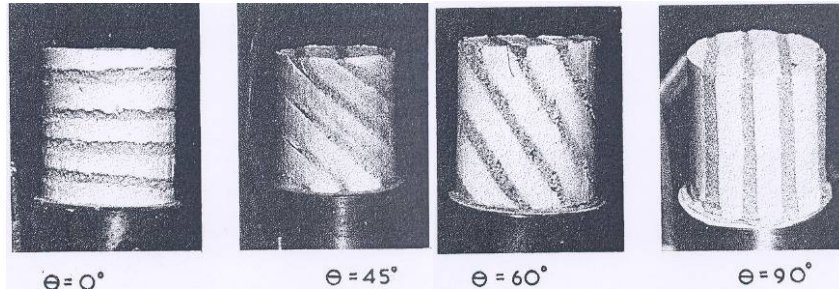
l'anisotropie se trouve souvent dans le sol ...



Anisotropie

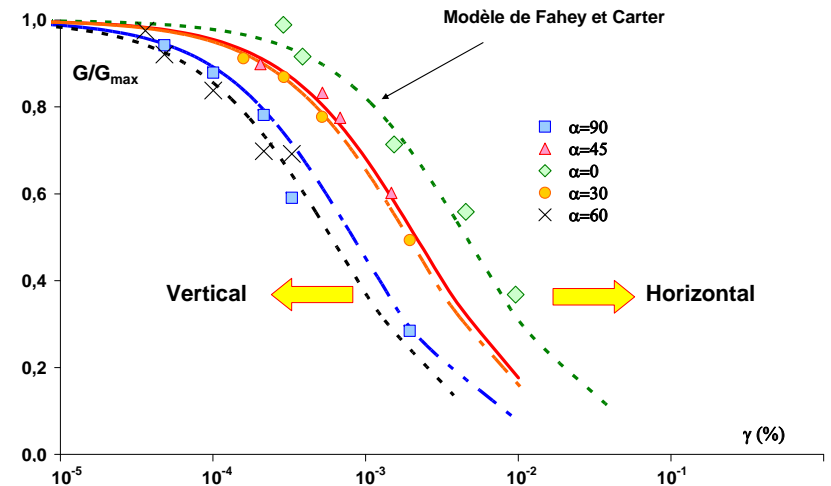
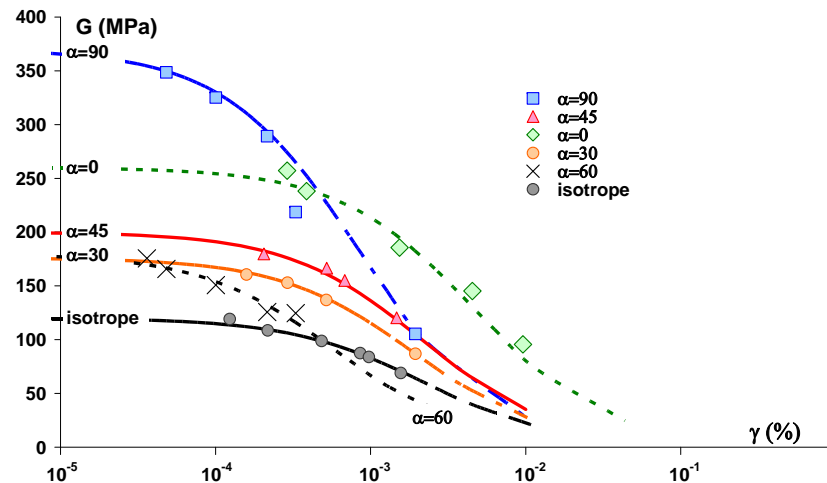
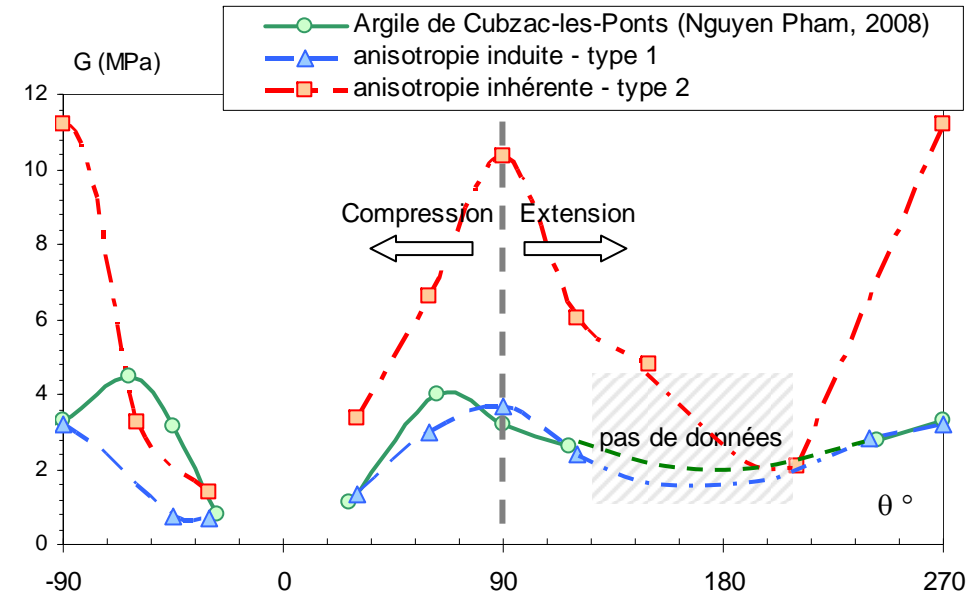
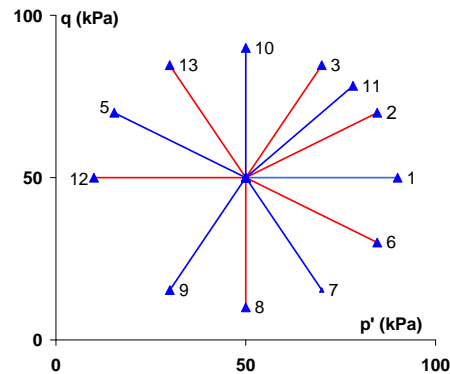
Etudes avec plusieurs types de sols, par exemple :

- argile naturelle anisotropiquement consolidée: Wolf K. (1945), Barden L.[1963], Sékiguchi H.[1977], Magnan J.P.[1982], Newson T.A.[1997], Houslby G.T. [2005] etc.
- sol remanié en laboratoire: Murthy K.[1979], Gerrard C.[1982], etc.

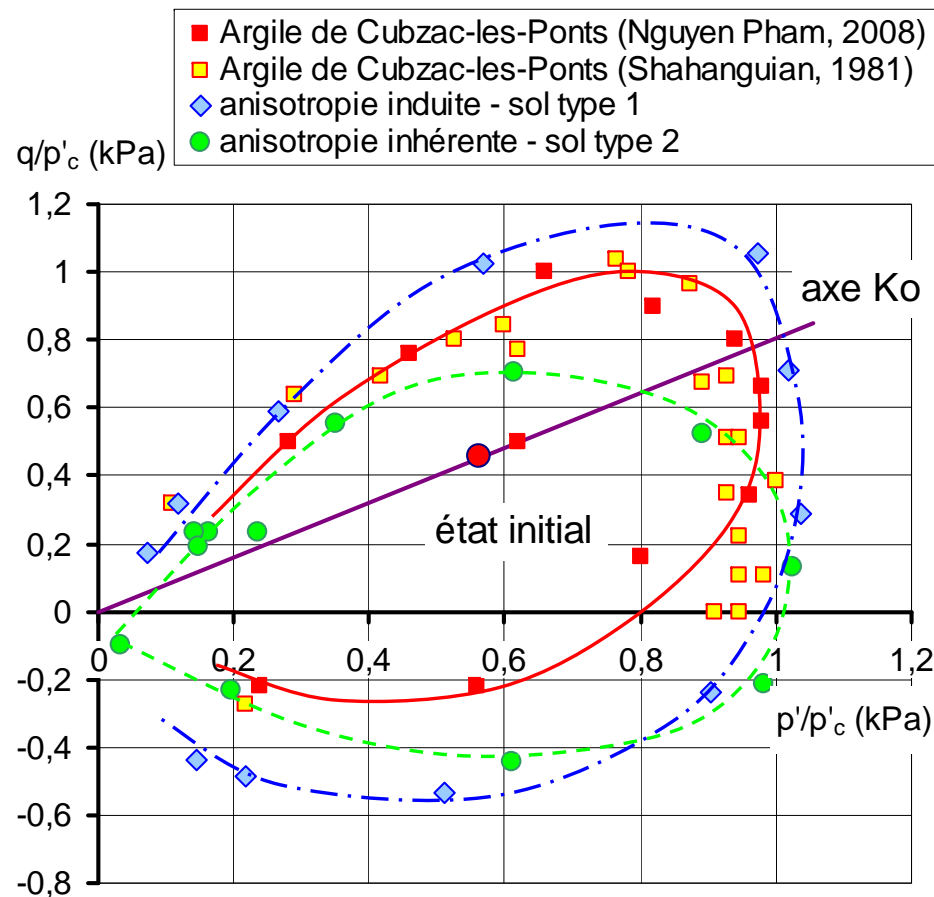


Anisotropie

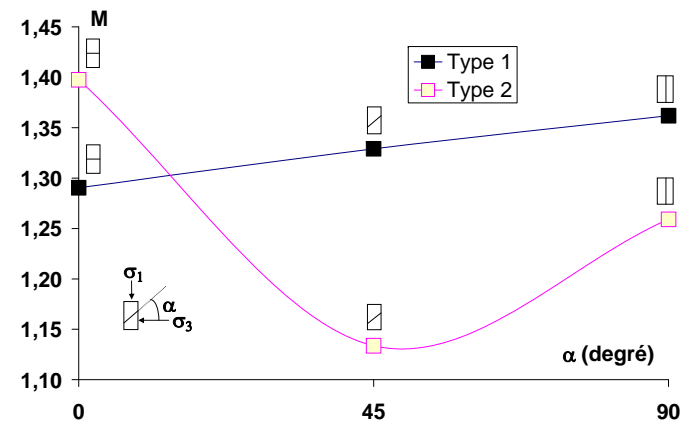
- Dégradation des modules des éprouvettes de type 1



- Surfaces de charge expérimentales pour les éprouvettes anisotropes



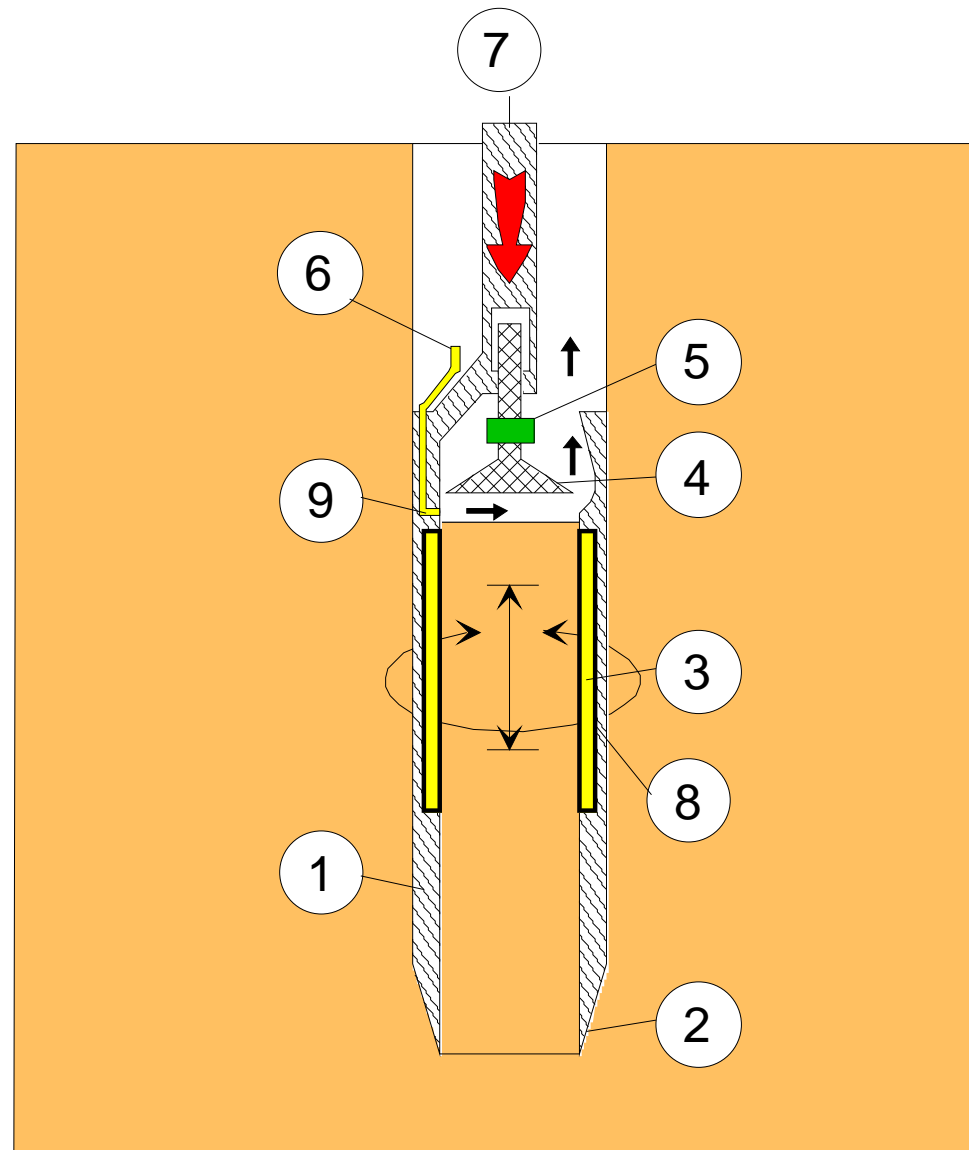
- Variation du paramètre d'état critique M en fonction de l'inclinaison des couches



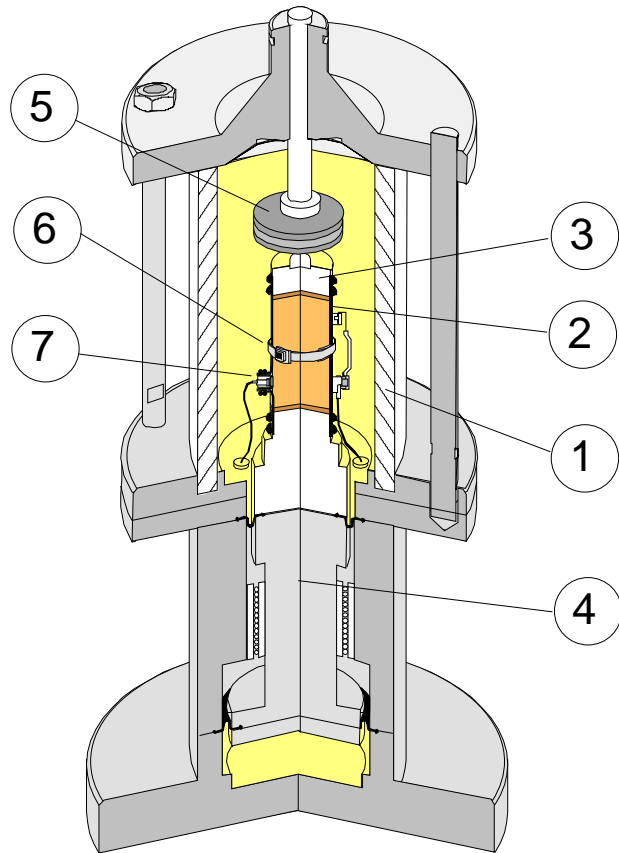
Actions entreprises : Essais mécaniques

- Triaxial in situ (LCPC)
- Pressiomètre autoforeur (LR St Brieuc – LCPC)

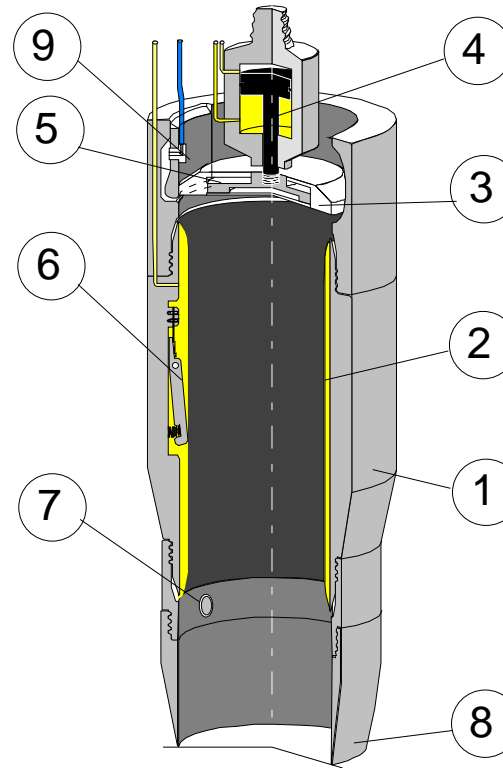
Essais triaxiaux in situ



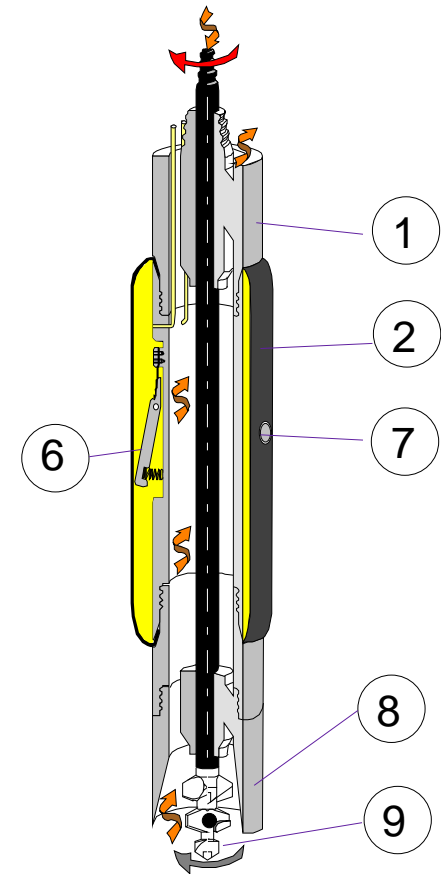
Essais triaxiaux in situ



cellule Bishop Wesley

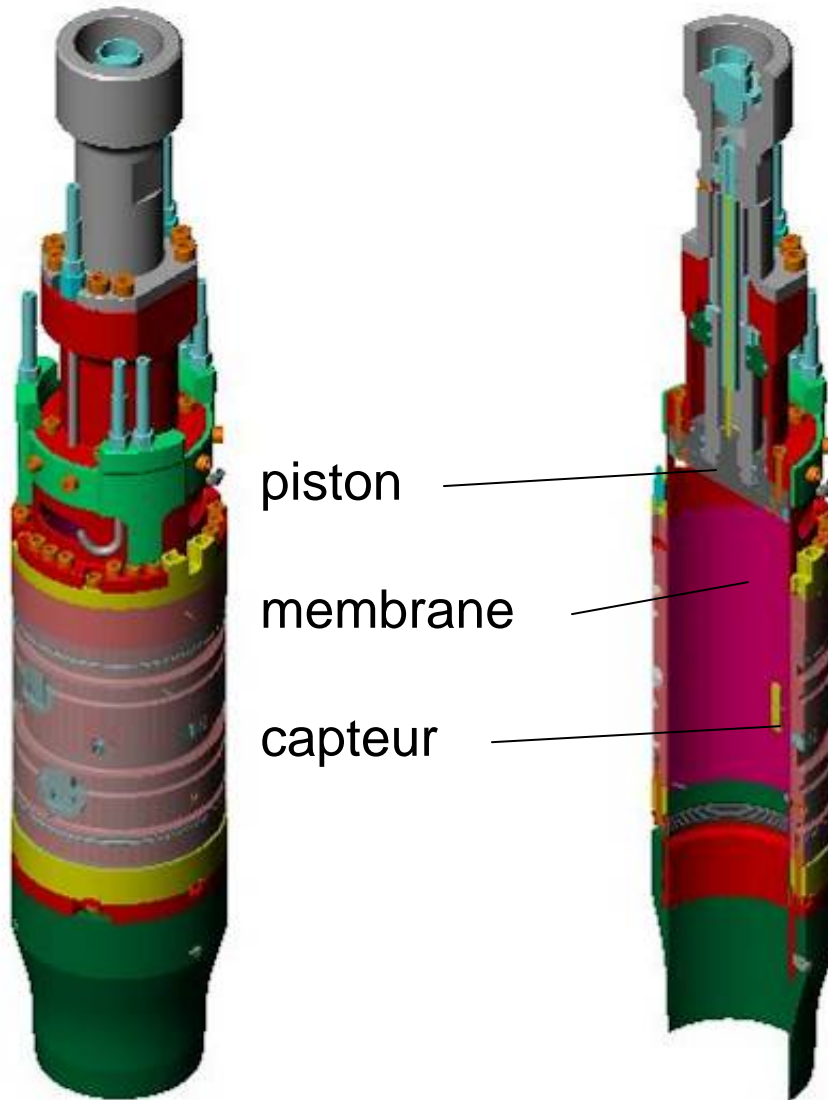


triaxial en place



pressiomètre autoforeur

Essais triaxiaux in situ (LCPC -CECP Rouen)



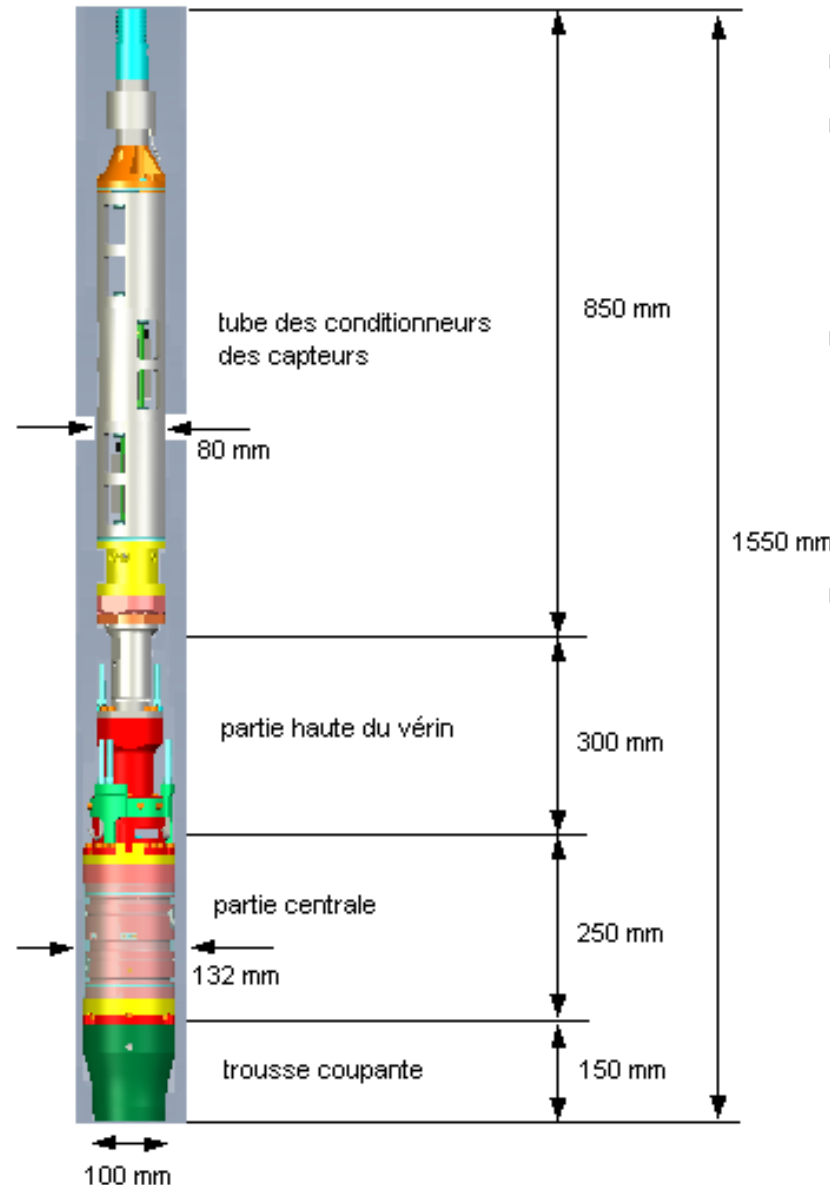
ssance et



ippe Reittsteck

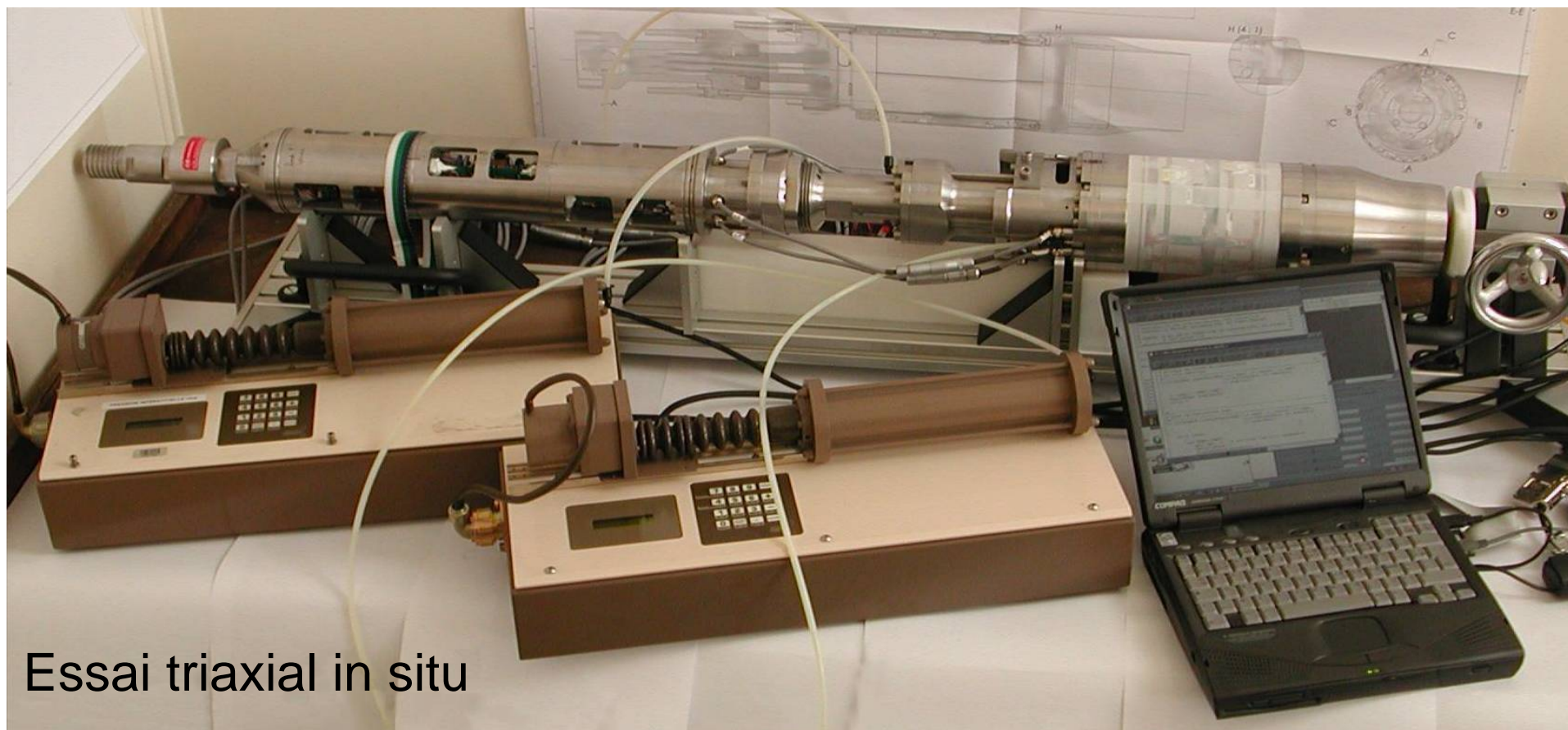
Iransparent-24

Description



- Boîtier des conditionneurs,
- Partie haute de la sonde :
 - Système d'application de la pression verticale,
 - Système de mesure de la pression vertical et du déplacement vertical.
- Partie centrale de la sonde :
 - Système d'application de la pression radiale,
 - Système de mesure de la pression radiale, pression interstitielle et des déplacements radiaux.
- Partie basse de la sonde :
 - Trousse coupante,
 - Système de mesure des déplacements verticaux.

Essais triaxiaux in situ



Essai triaxial in situ

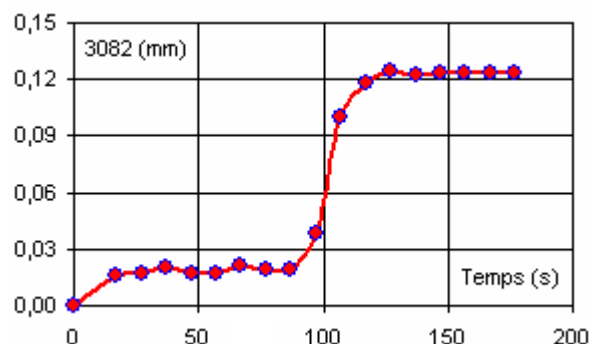
Système de montage

1. T.I.S
2. Cuve
3. Poutres de soutien
4. Bâti
5. Tige

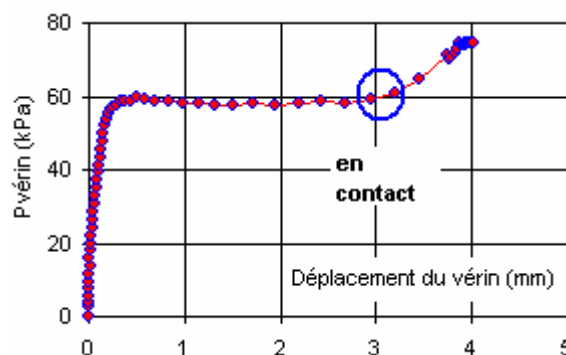


Résultats

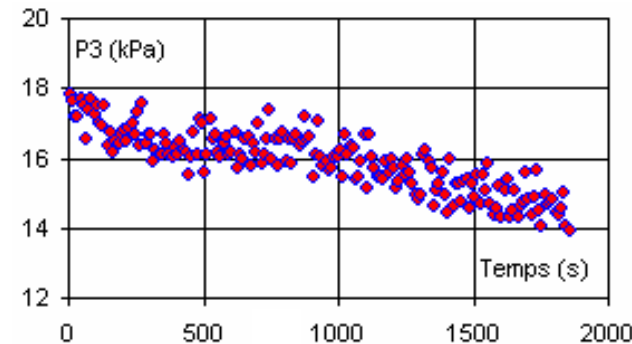
Fonçage



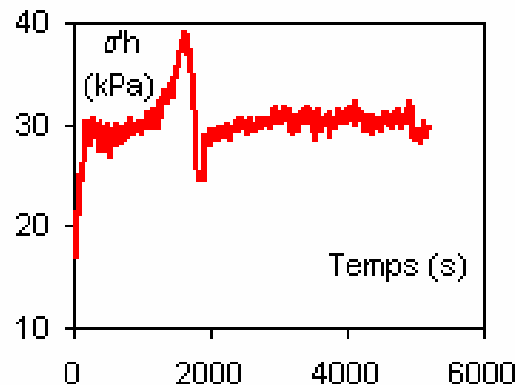
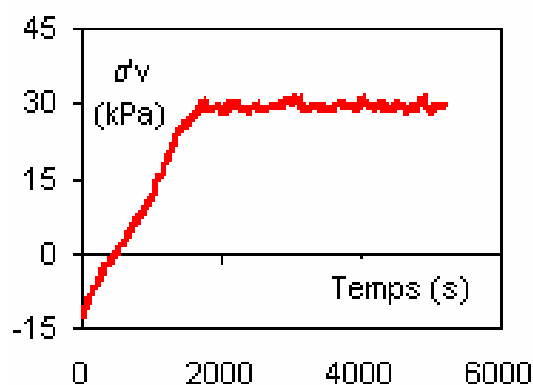
Mise en contact



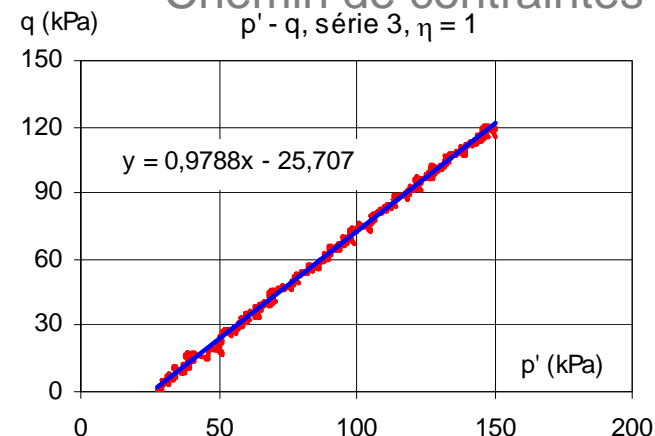
Relaxation



Consolidation



Chemin de contraintes



La validation en cuve s'est bien passée, même nous avons quelques problèmes de capteurs (les signaux des capteurs à effet Hall n'étaient pas uniformes, le déplacement des capteurs axiaux dans la trousse coupante, déplacement radial)



Laboratoire Central
des Ponts et Chaussées

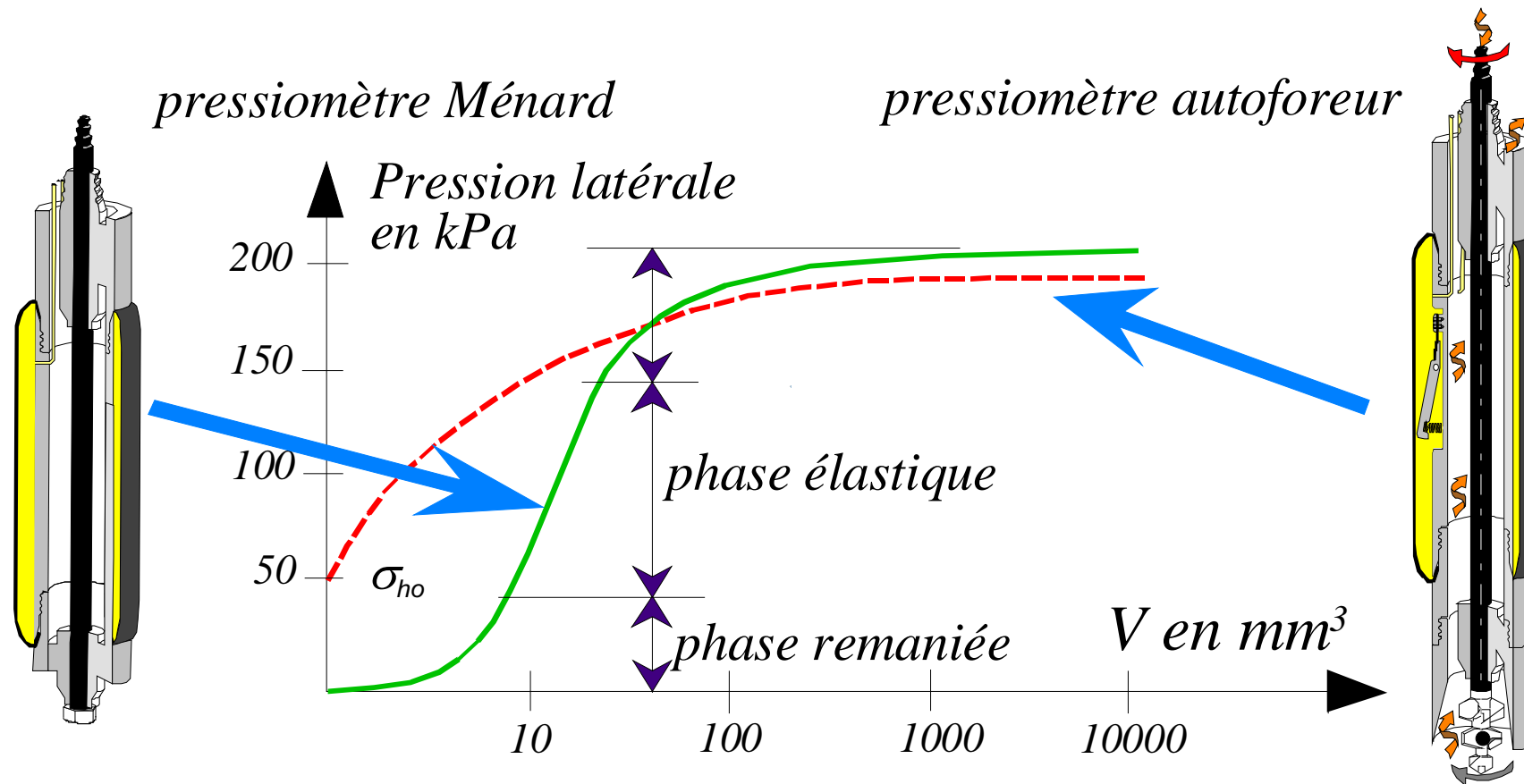
Étude expérimentale à Cubzac-les-Ponts

TRIAXIAL IN SITU

Octobre 2006, à Cubzac-les-Ponts



Le pressiomètre autoforeur



EN ISO 22476-6

Le pressiomètre autoforeur

Les différents appareils développés sur les PAF du LR de St Brieuc



sonde
hexagonale



pénétromètre latéral
mais aussi sonde frottante, sonde gammadensimétrie



différents élancements

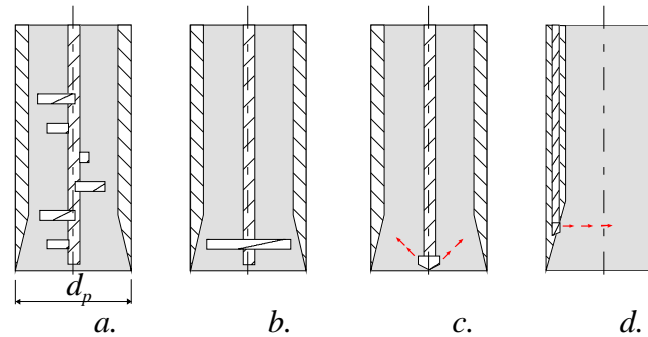


perméamètre

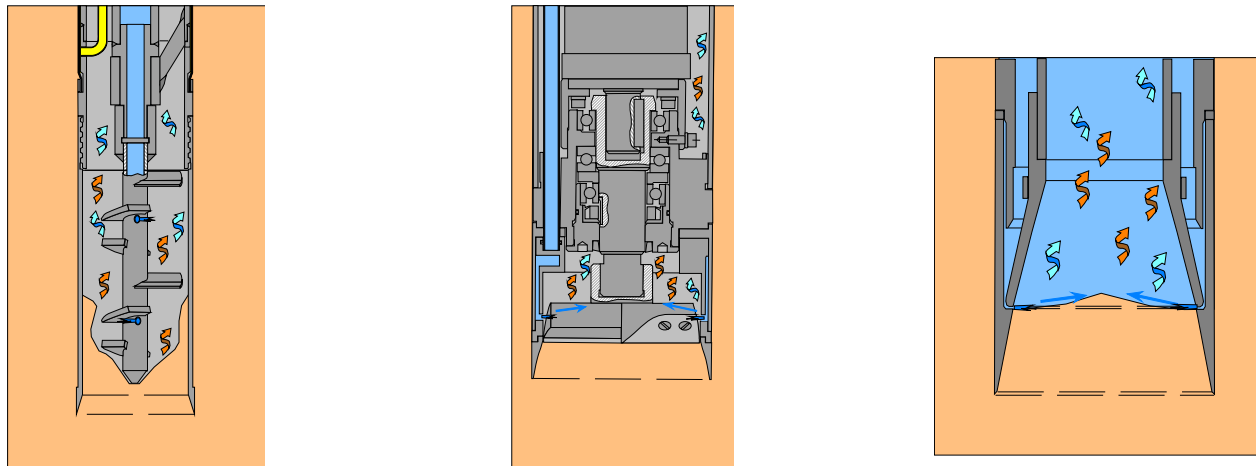


scissomètre

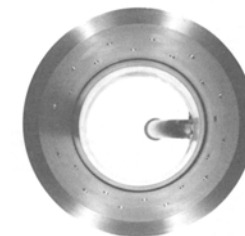
Le pressiomètre autoforeur



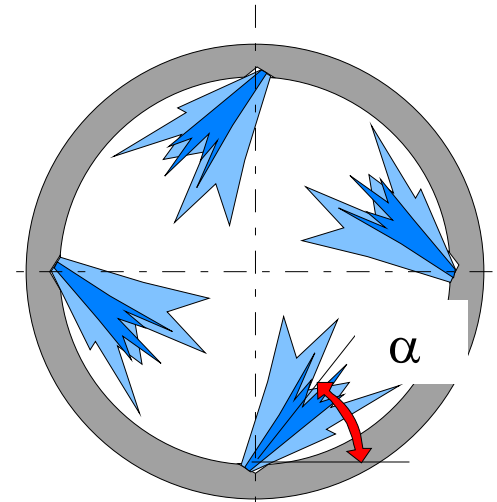
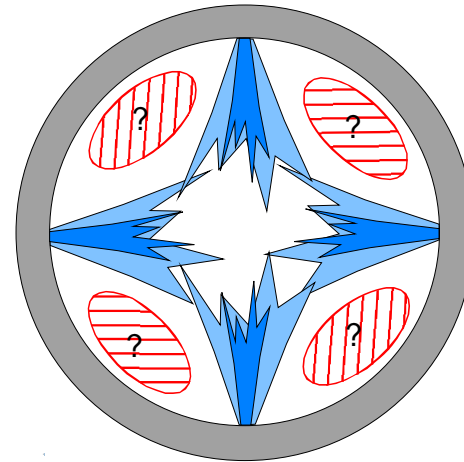
Les différents outils (à étage, papillon, jet central, jets périphériques)



Les différents outils utilisés sur les PAF du LR de St Brieuc



Système de désagrégation

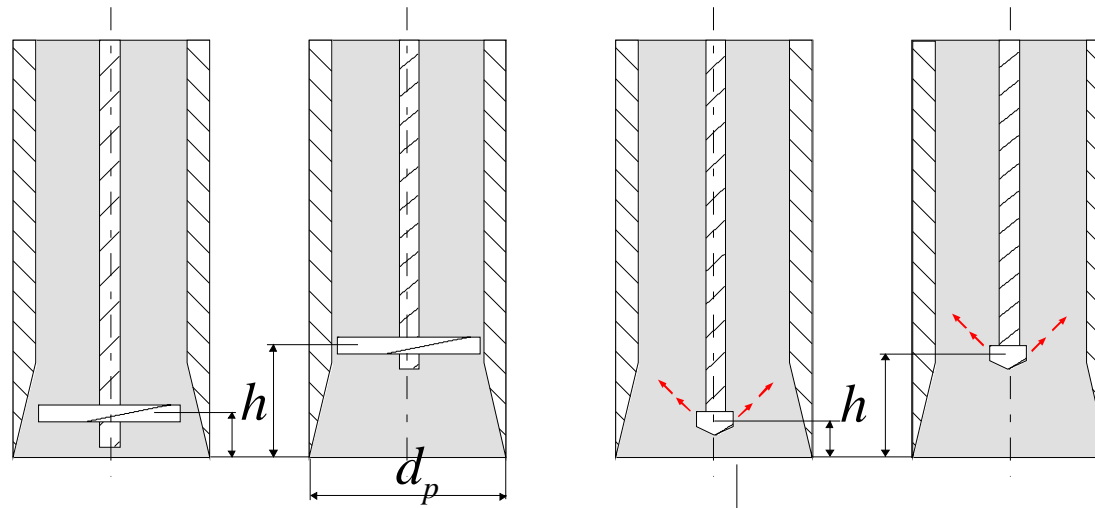


- Outil désagrégateur prototype pour validation - *prototype of water jetting tool*



Système de désagrégation

- Question en suspend – *Problem still pending* :
 - distance du tranchant à l'outil
 - Vitesse de fonçage

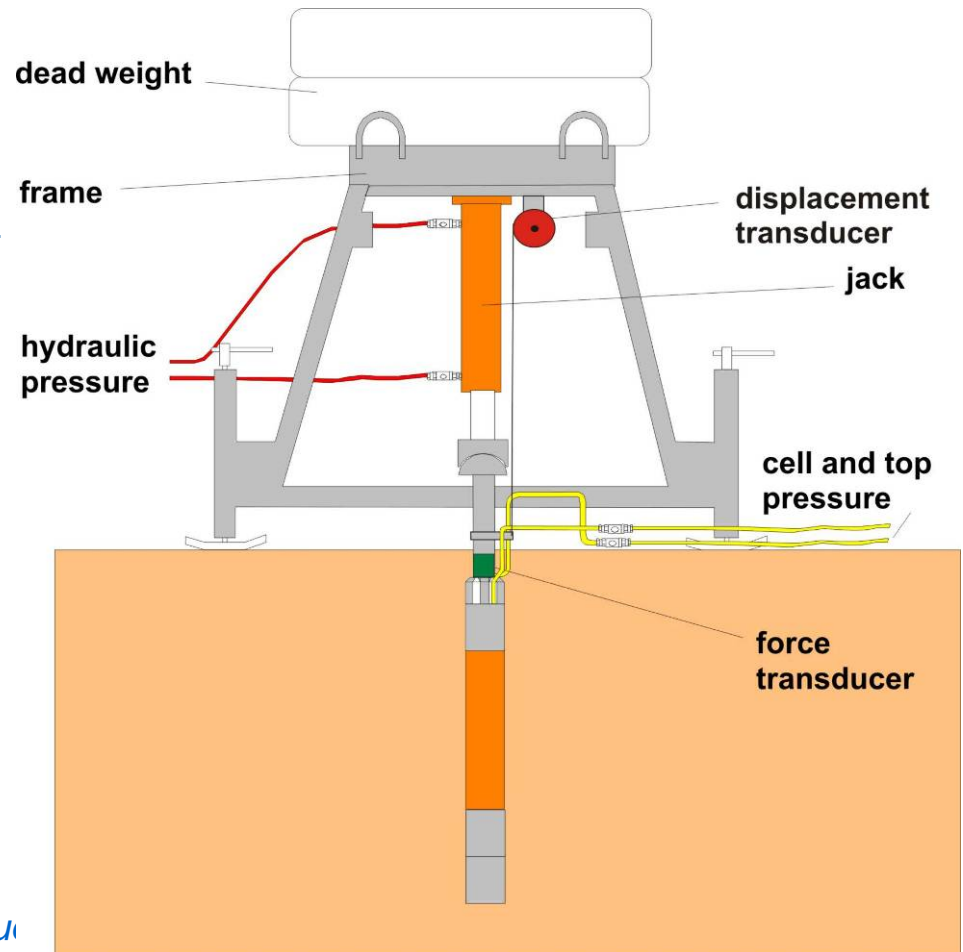


Références :

- ISP1 à ISP4
- Benoît J., (1983) Analysis of self-boring pressuremeter tests in soft clay, PhD thesis Stanford university, Palo Alto California, x pages

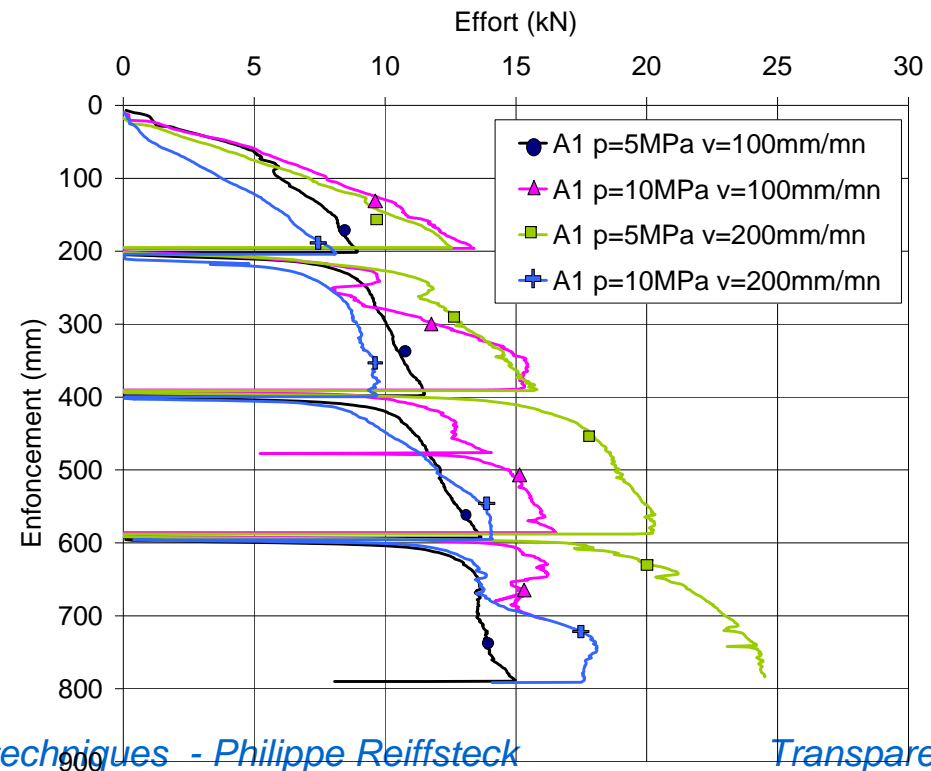
Système de désagrégation

- Validation - *validation*
 - Essais en cuve ou cylindres PVC
 - Différents matériaux – *different soils* : sable – *sand* (B2), limon - *silt* (A1)
 - États de densité – *density* : 80, 95 et 100 % de l'OPN
 - Vitesse d'enfoncement – *insertion speed* : 50, 100 et 200 mm/mn
 - Pression d'eau – *water pressure* : 5, 10 et 15 MPa
 - 4 ou 8 buses – *4 or 8 noszzles*
 - Longueur trousse - *length*



Système de désagrégation

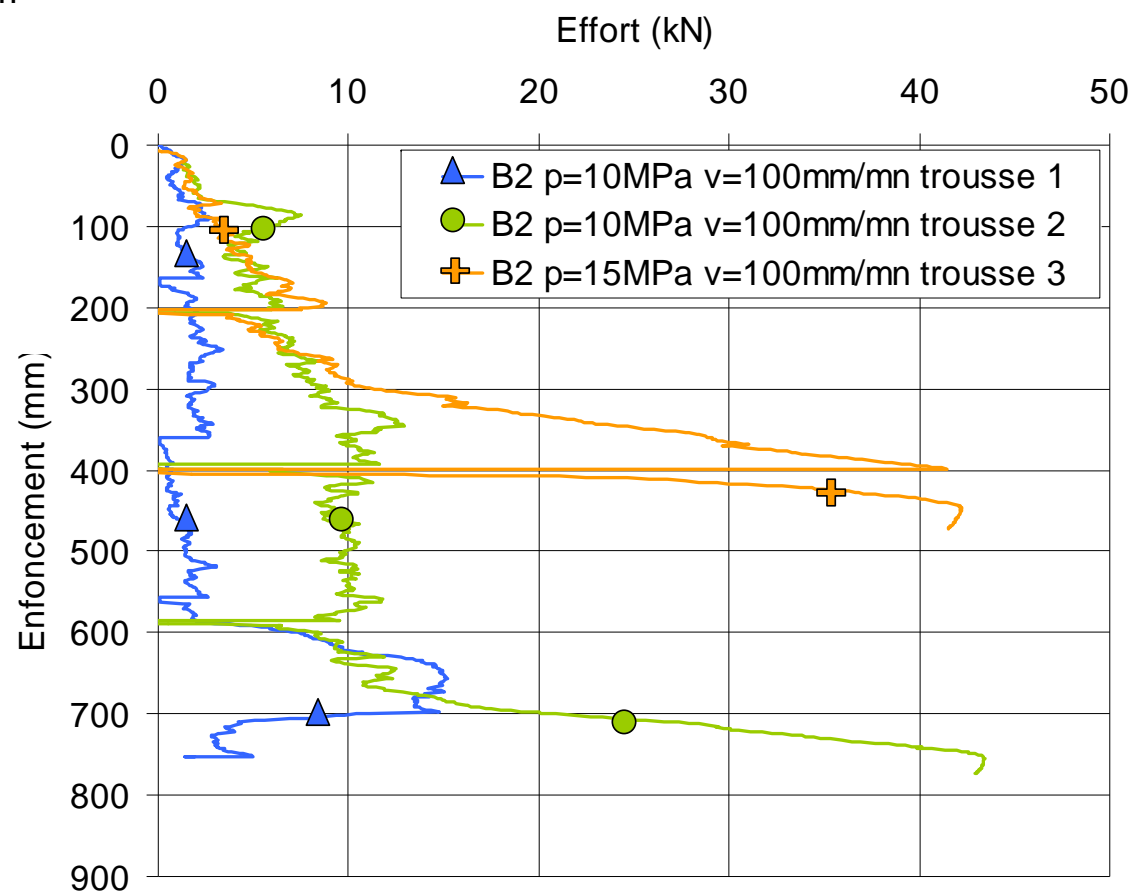
- 1^{ère} série sur limon
- 4 buses droites



Système de désagrégation

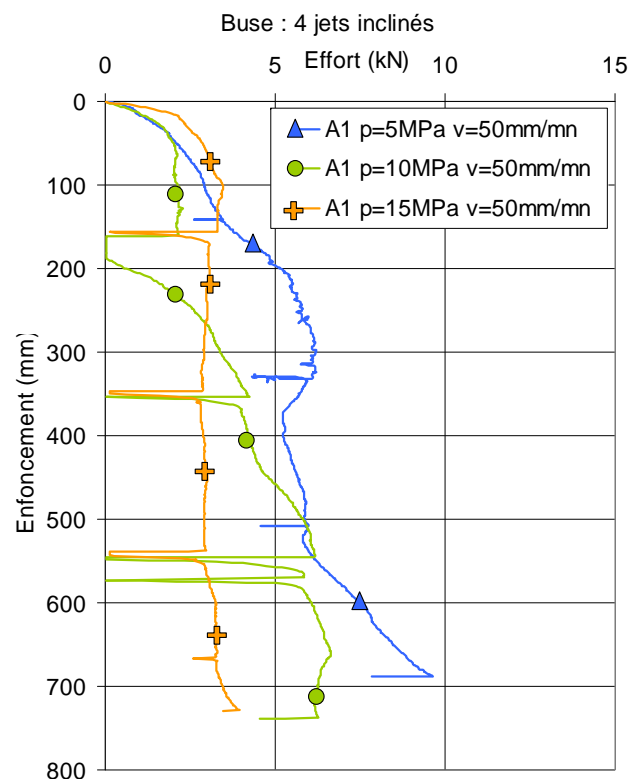
- 1^{ère} série sur sable
- 4 buses droites
- Différentes trusses : L=154 mm

V=50 mm/mn



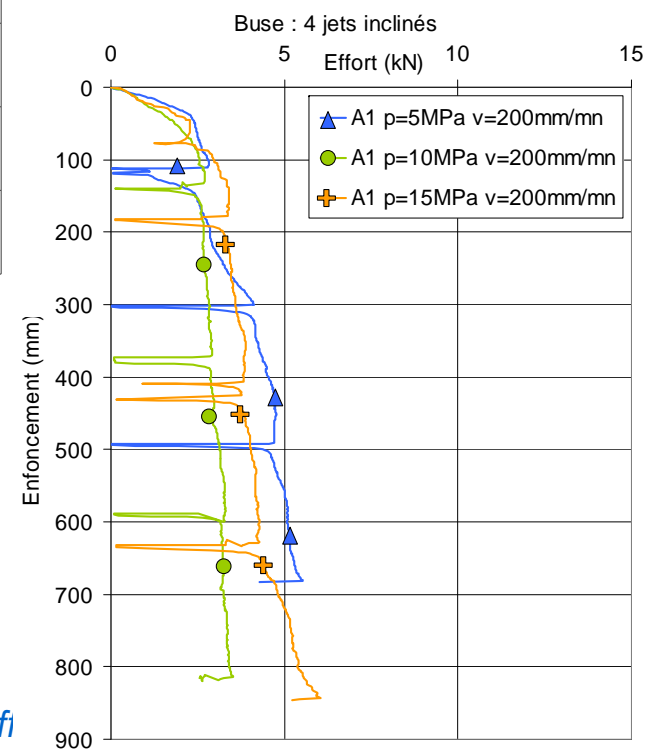
Système de désagrégation

- 2^{ème} série sur limon,
- 4 buses inclinées



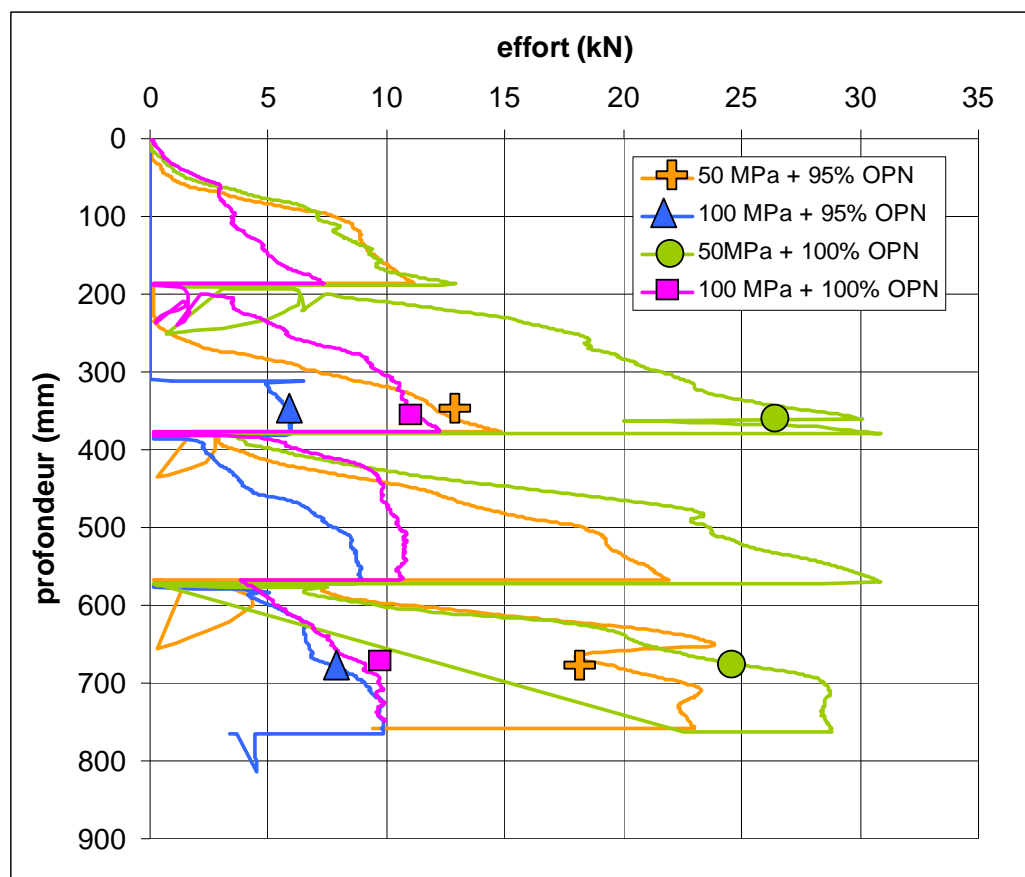
V=50 mm/mn

V=200 mm/mn



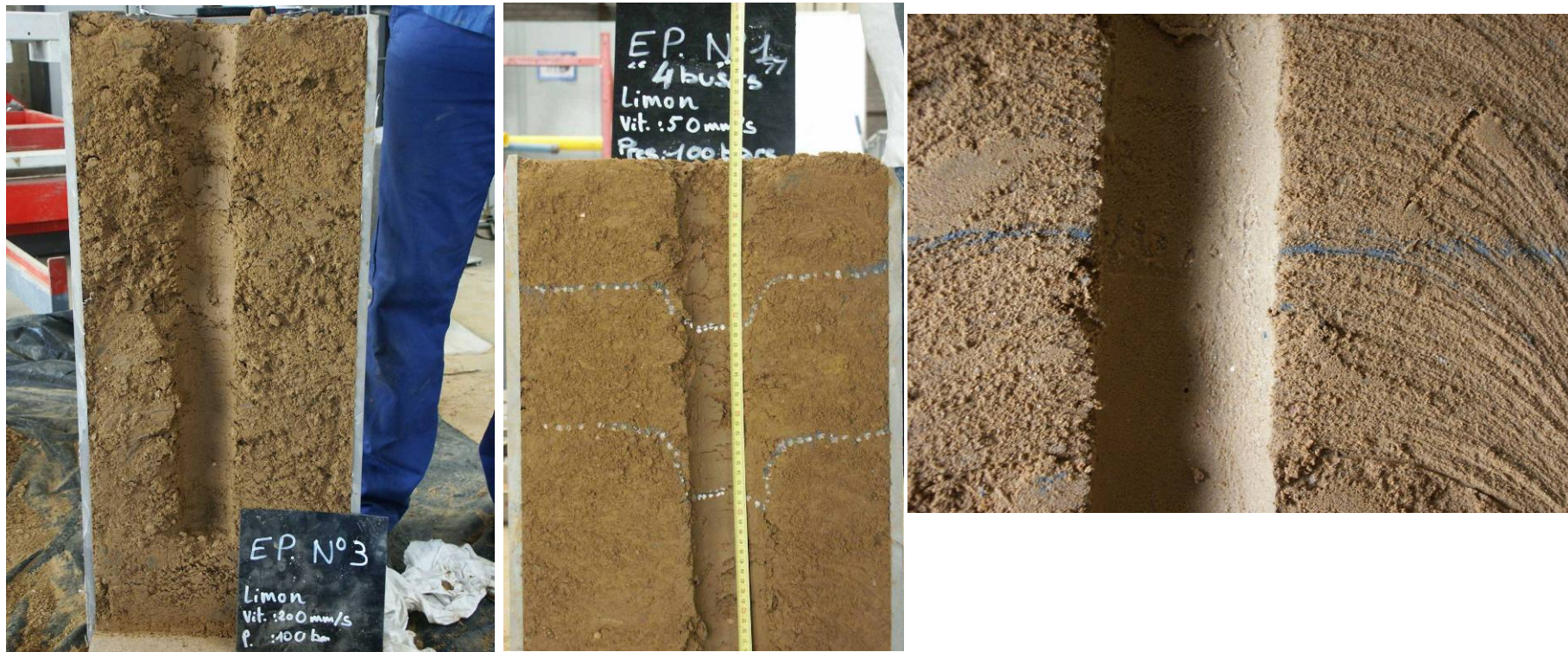
Système de désagrégation

- 2^{ème} série sur sable
- 8 buses inclinées
- 4 buses inclinées



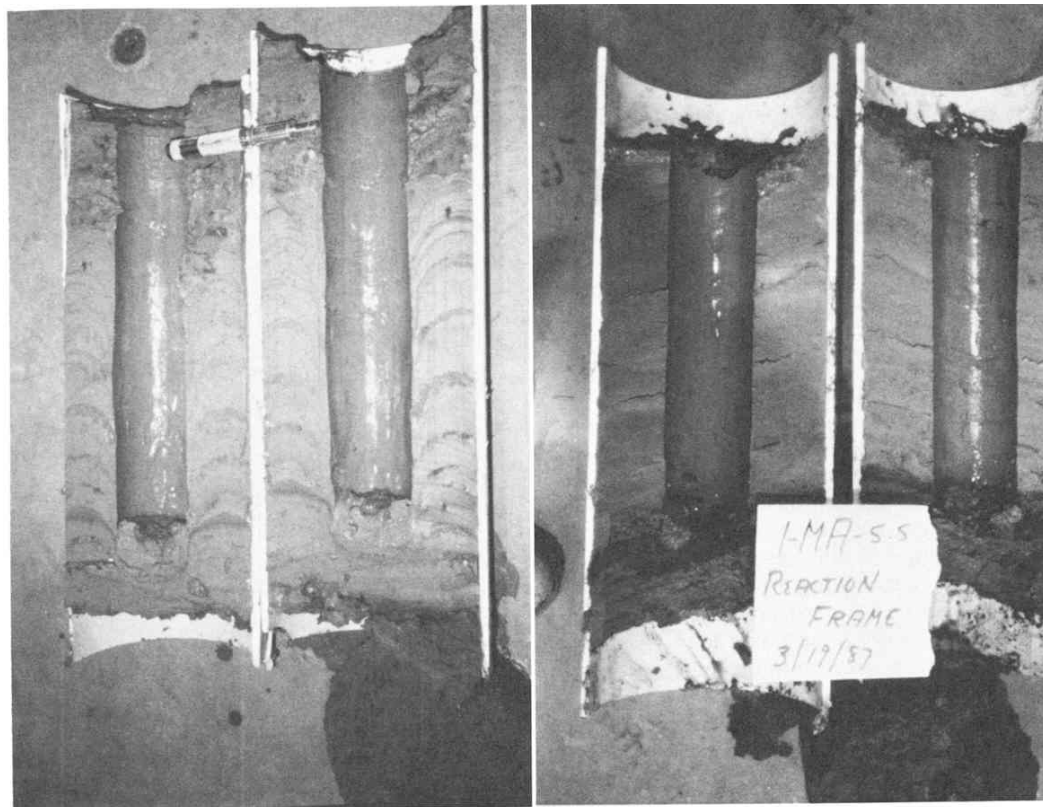
Système de désagrégation

- Constatation après essais
 - déformation des couches selon vitesse et densité



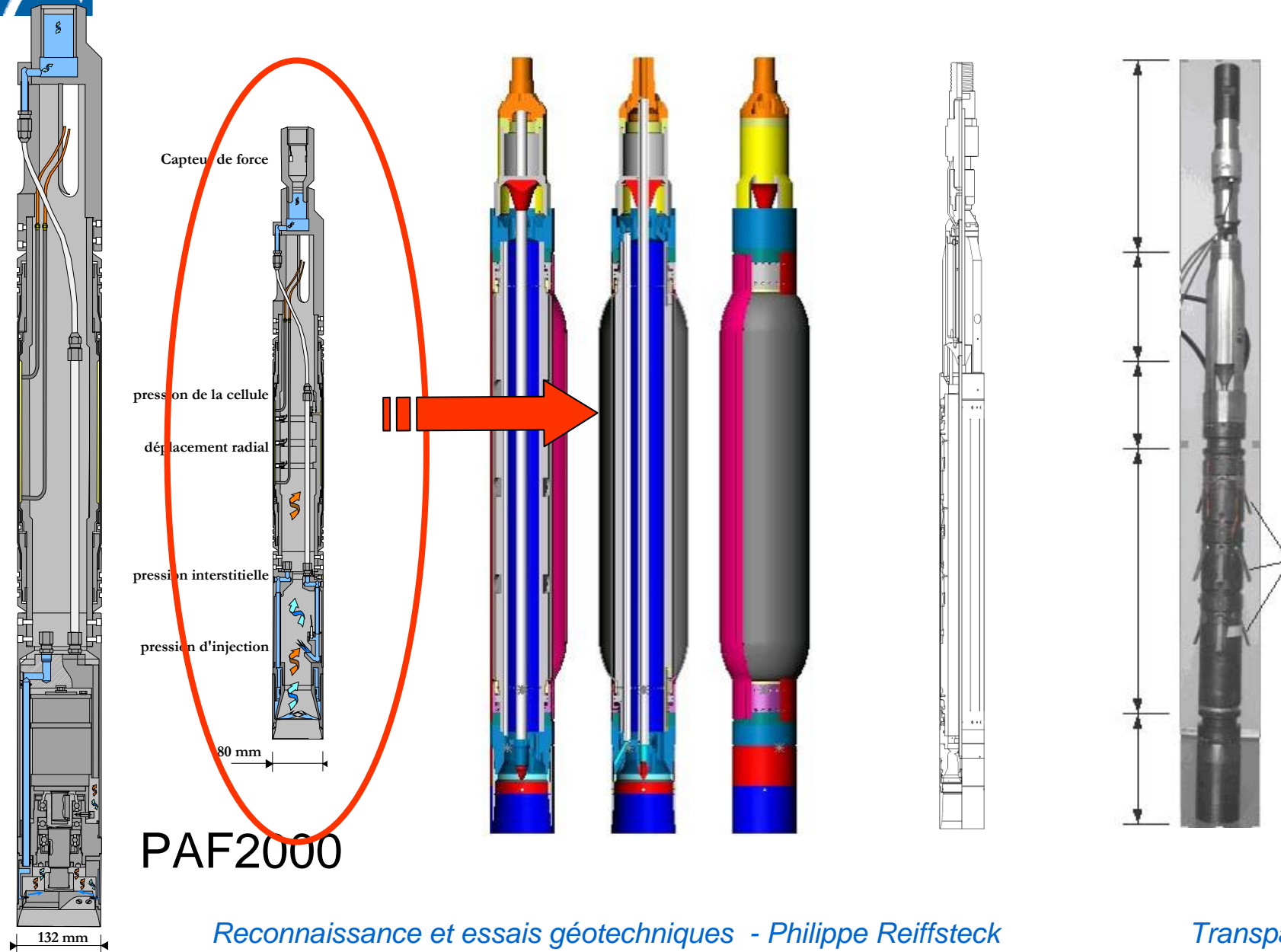
Système de désagrégation

- Constatation après essais
 - déformation des couches selon vitesse et densité

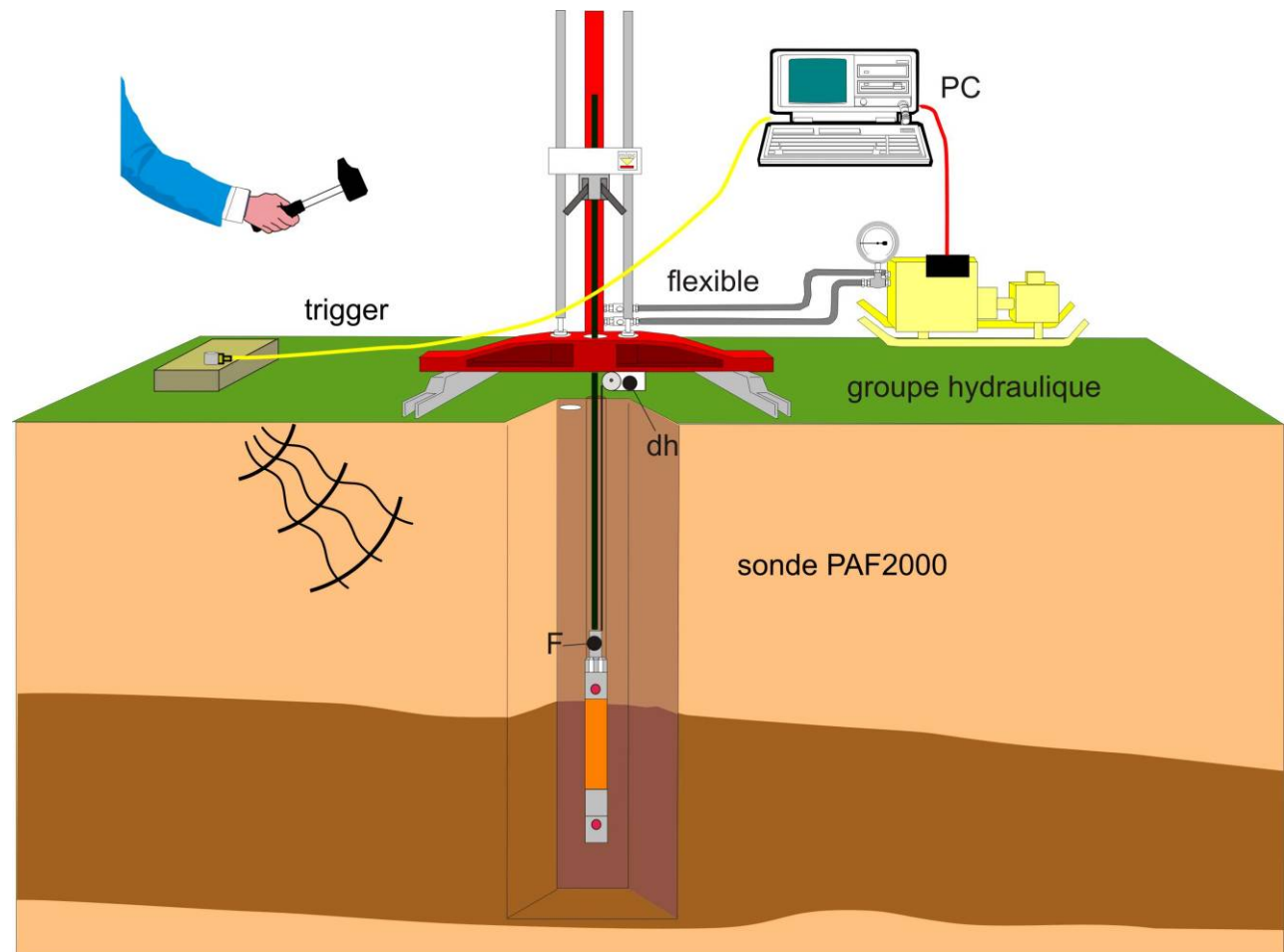


- Benoît J., (1983) Analysis of self-boring pressuremeter tests in soft clay, PhD thesis Stanford university, Palo Alto California, x pages

Essais in situ

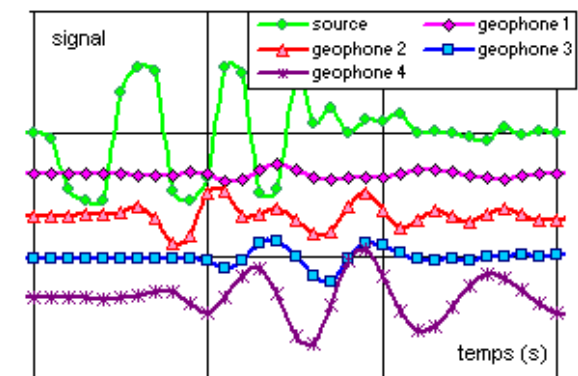
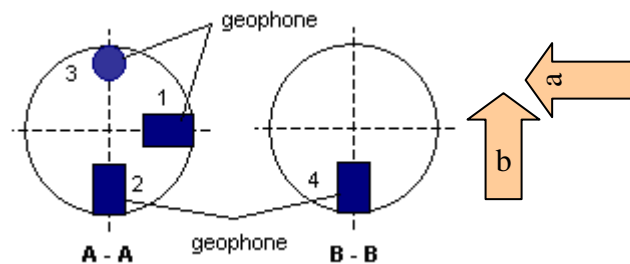


Conclusions

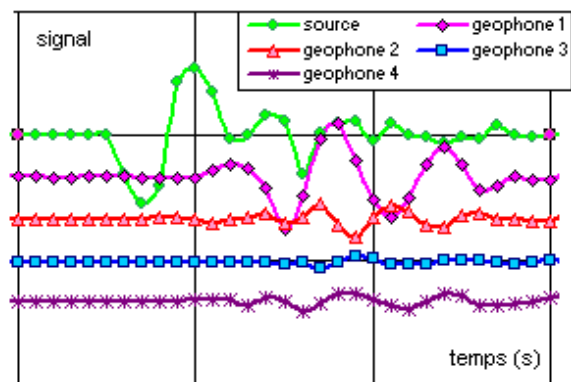


Remerciements :

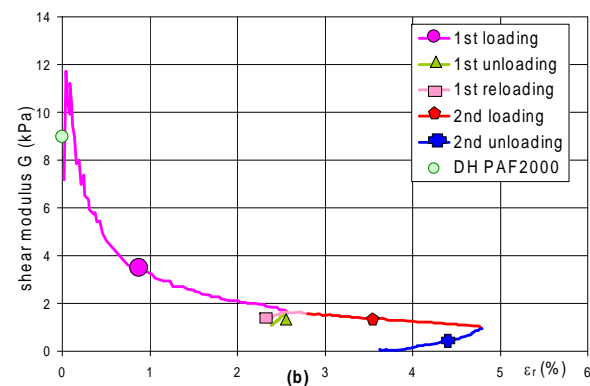
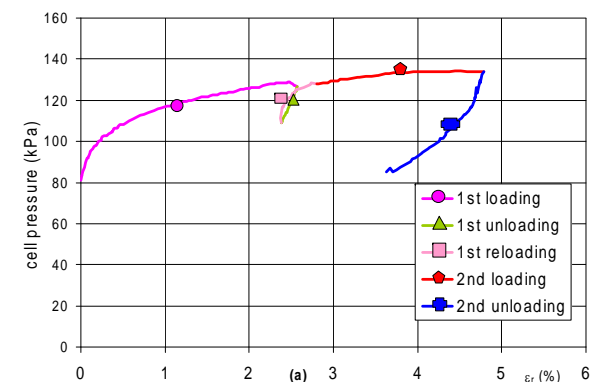
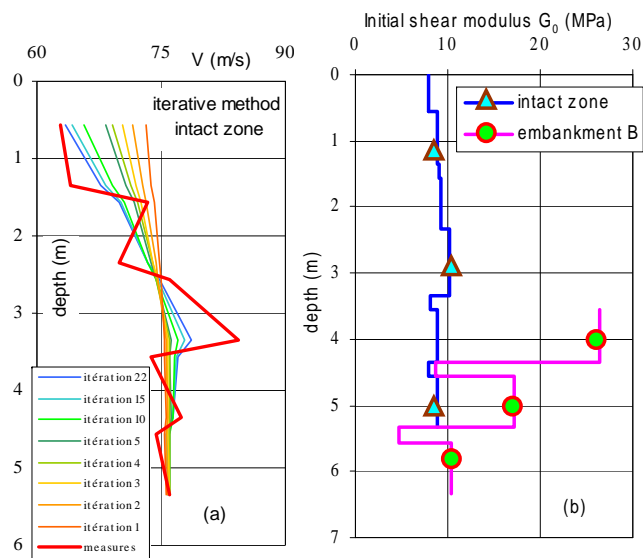
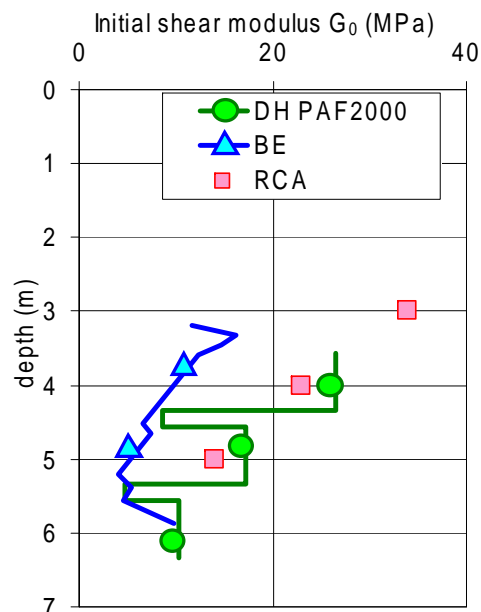
Les auteurs tiennent à remercier Olivier Jean, Nicolas Rouxel, Yves Canépa, Carl Calmo pour leur aide précieuse.



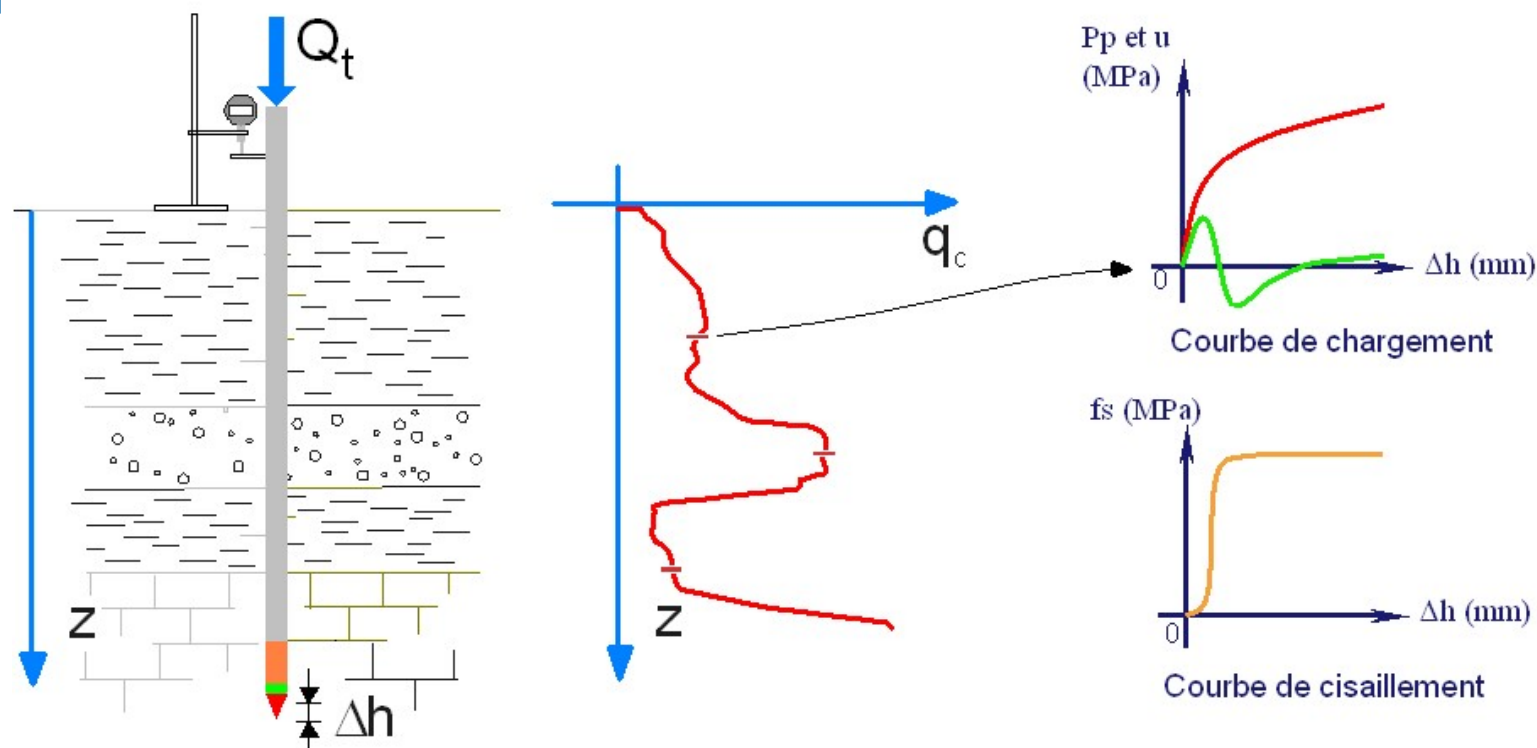
5,17 5,22 (a) 5,27 5,32



6,33 6,38 (b) 6,43 6,48



Essai de chargement de pointe



Mode opératoire de l'essai

1. Réalisation d'un essai de pénétration statique classique : EN ISO 22476-1 (2006)
2. Phase de relaxation
3. Chargement par palier (10 paliers)
4. Déchargement par paliers

Matériels



Reconnaissance et essais géotechniques

Validation de l'essai de chargement de pointe

- Mise en œuvre expérimentale
 - Site expérimental de Merville : argile des Flandres
 - Site d'Utrecht (site réel) : sable (Pays-Bas)
 - Site du Havre (STEP) : sable_échec de la campagne
 - Site expérimental de Limelette : sable, limon et argile (Belgique)
- Modélisation physique : Centrifugeuse
- Modélisation numérique : Plaxis

Le site de Limelette : intérêt

Présence de plusieurs types de sol

Couche de limon : 2.2-6.2 m

Couche d'argile très hétérogène : 6.2-8.2 m

Couche de sable : 8.2-17 m

Large campagne d'essais in situ et au laboratoire :

CPT (pointe électrique; pointe mécanique), SPT, PMT, DMT,...

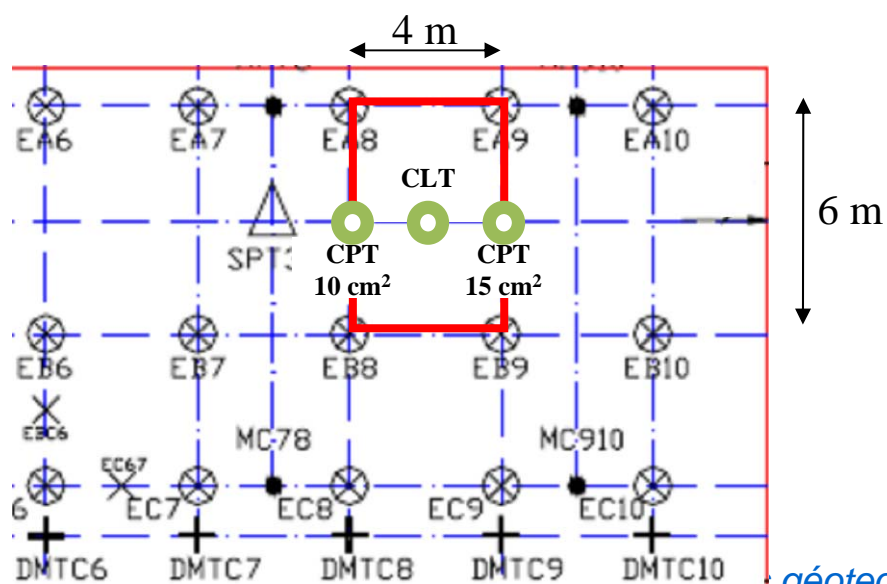
Triaxial

SASW, SCPT

Des essais de pieux ont été réalisés

Pieux vissés

Pieux préfabriqués battus



géotechniques - Philippe Reiffsteck

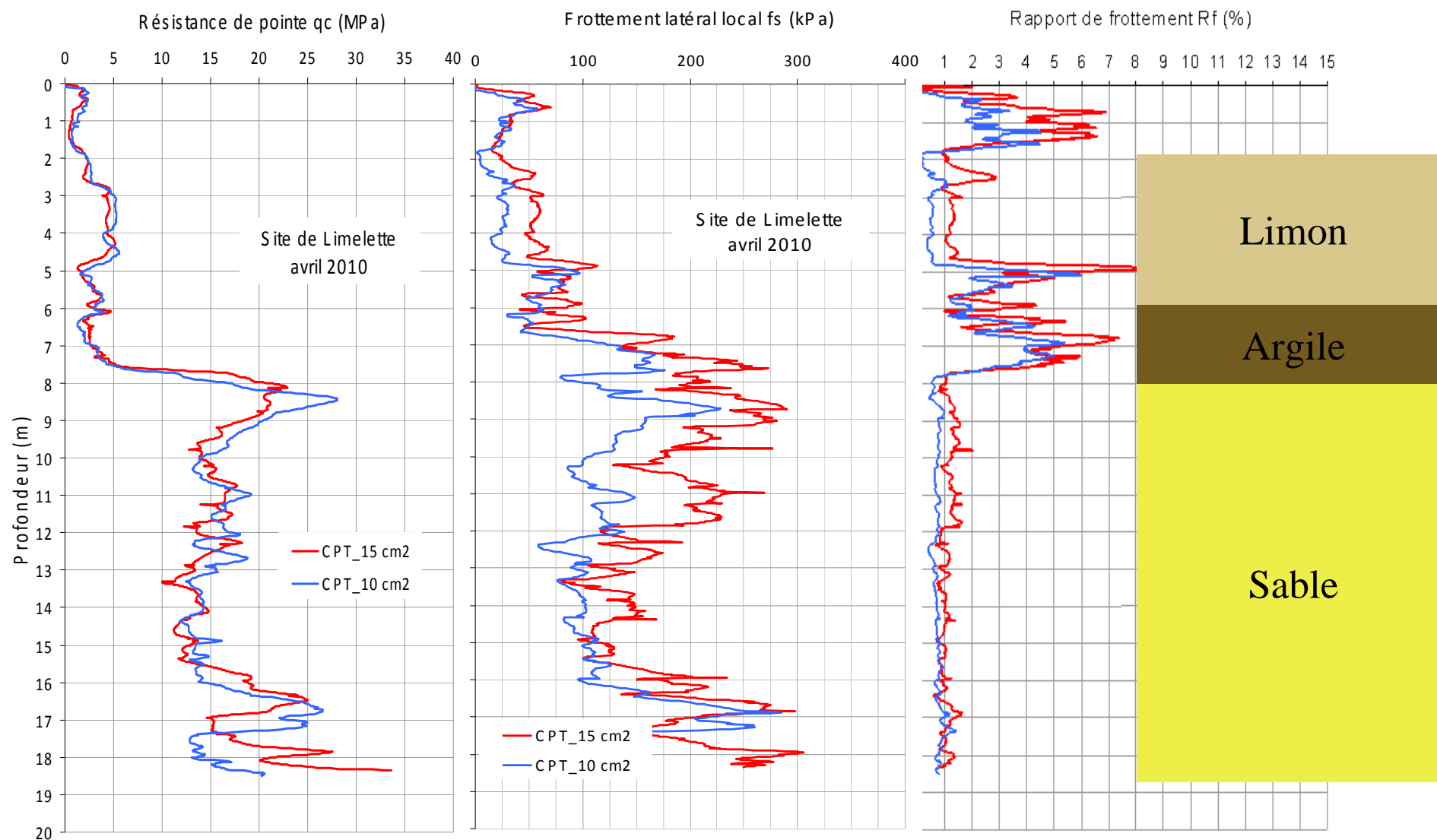




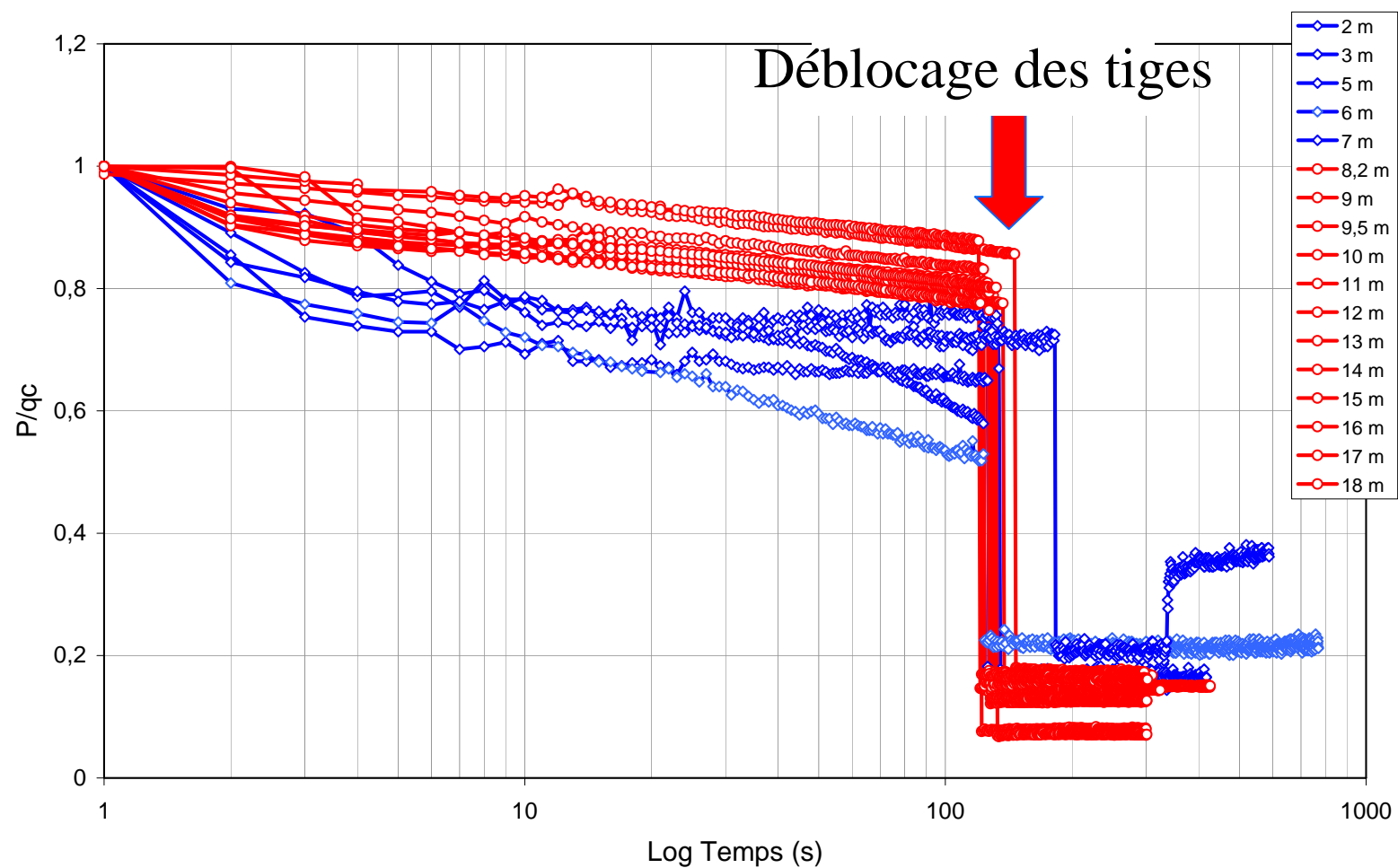
Dépouillement des essais réalisés

1. Pénétrogrammes
2. Courbes de dissipation
3. Programme de chargement
4. Courbes de chargement
5. Correction du déplacement mesuré
6. Courbes de mobilisation de frottement
7. Charge limite q_{CLT} et frottement limite $f_{s_{CLT}}$
8. Calcul des modules CLT

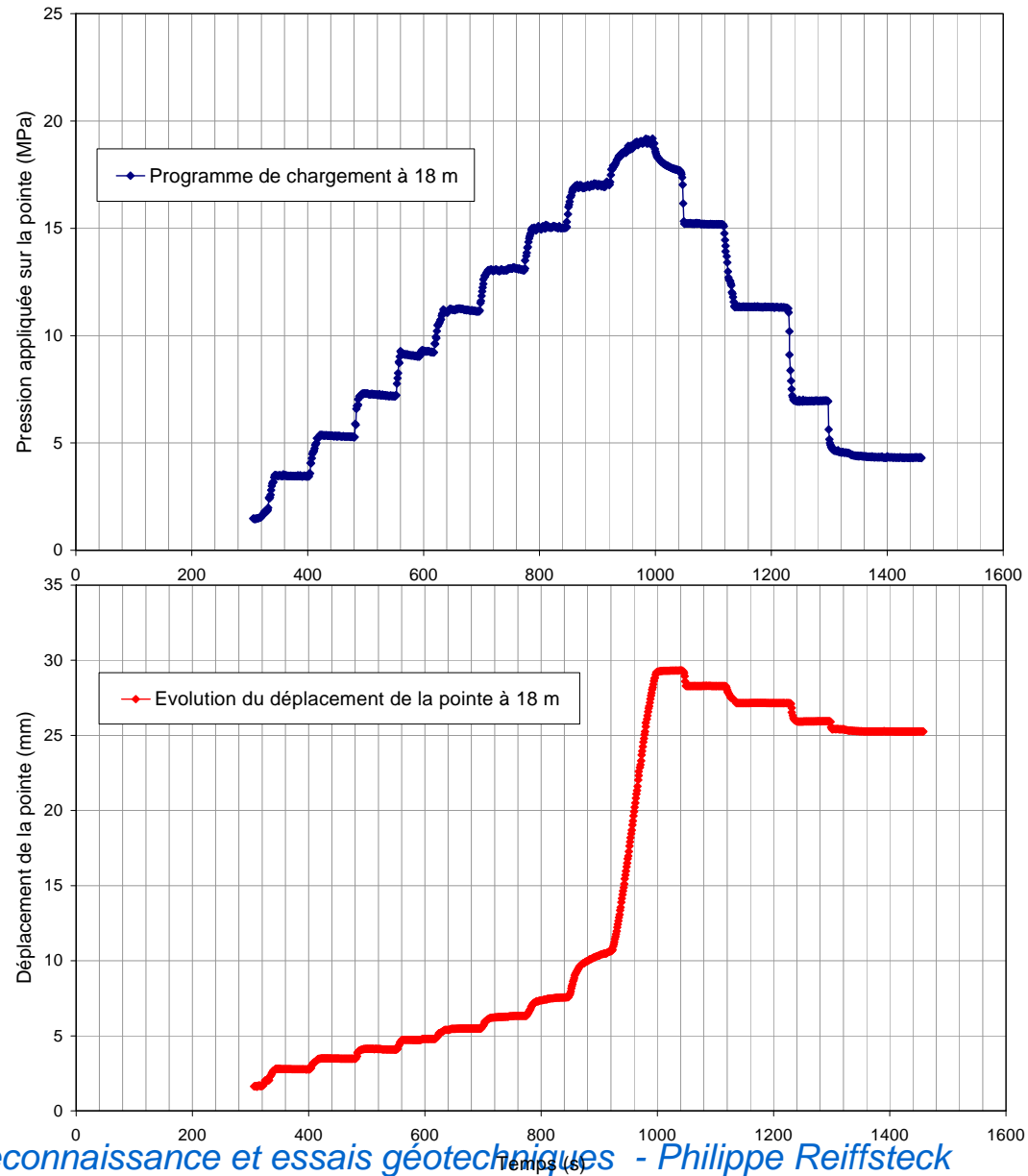
Pénétrogrammes



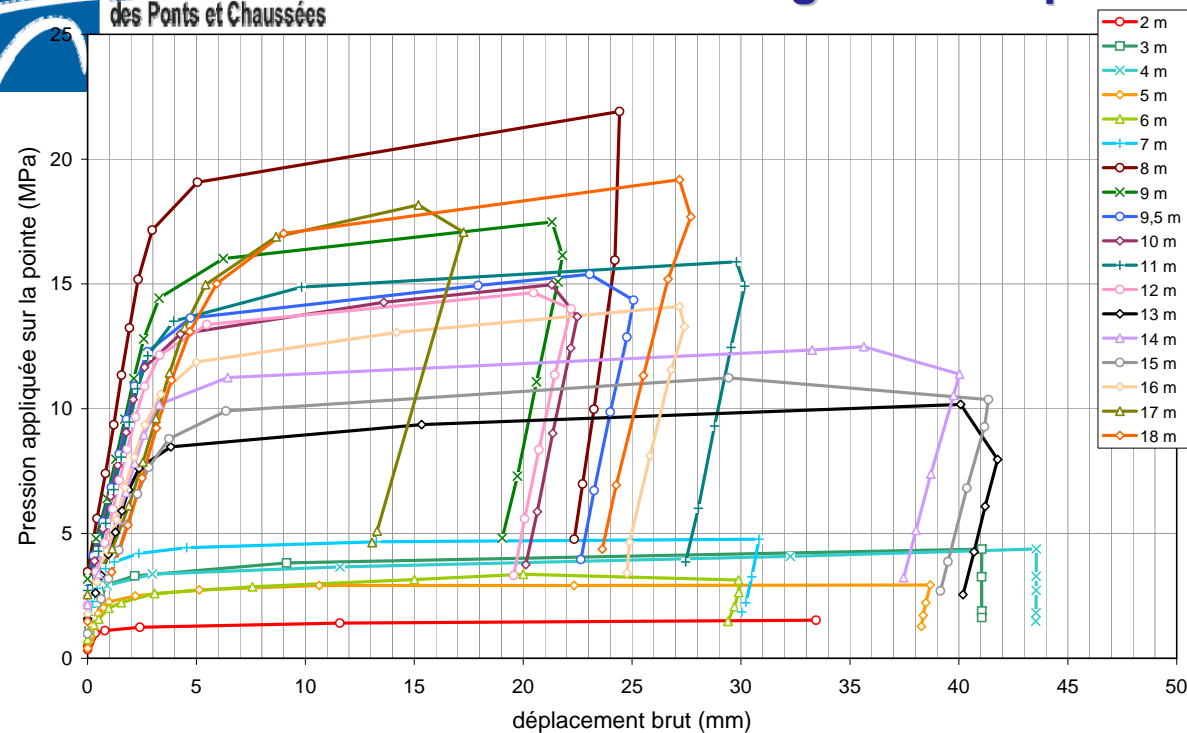
Courbes de dissipation (rapport P/q_c Vs Log temps)



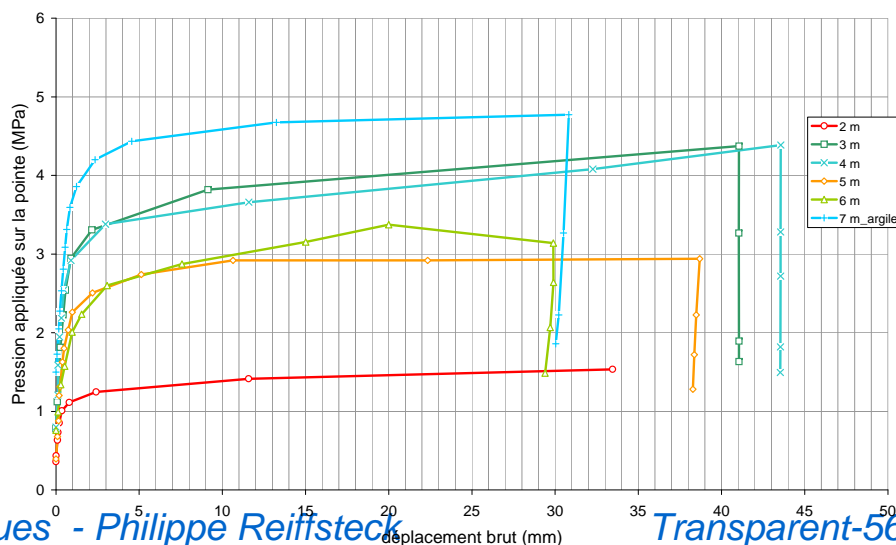
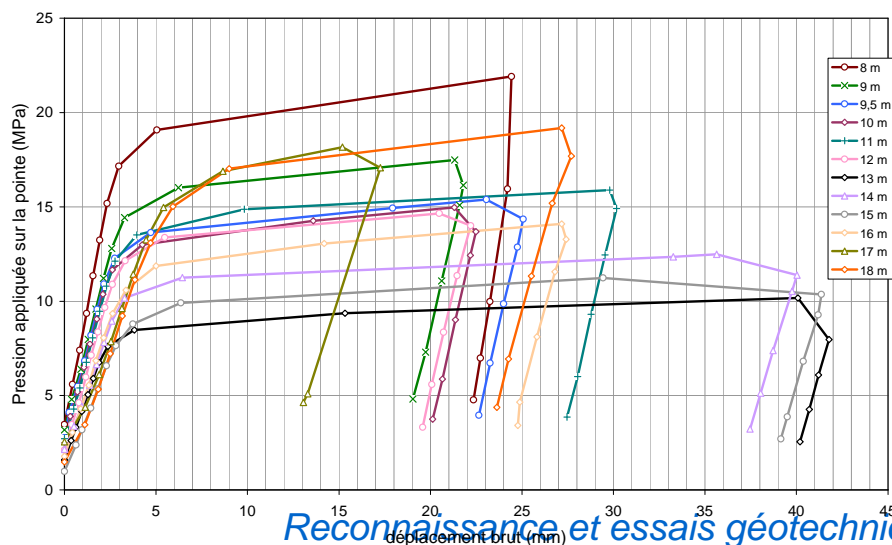
Programme de chargement en fonction du temps



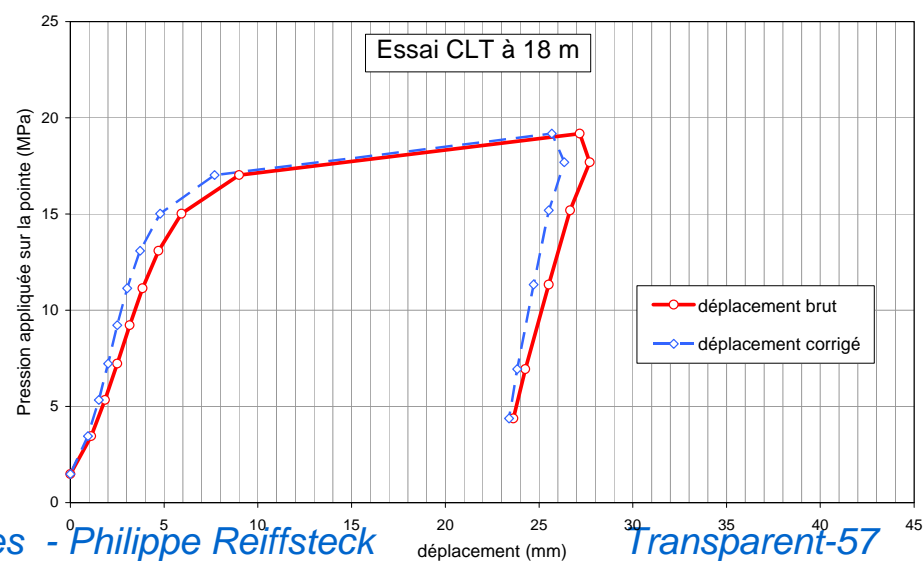
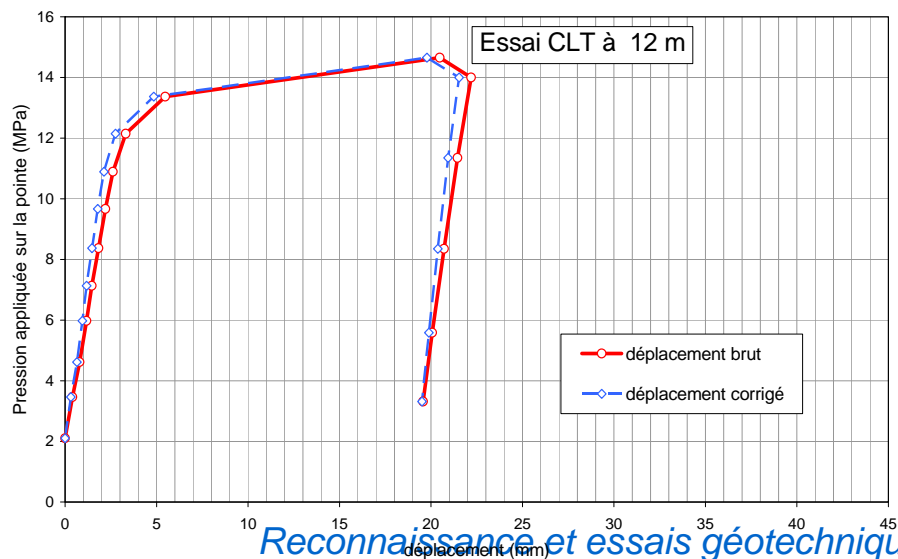
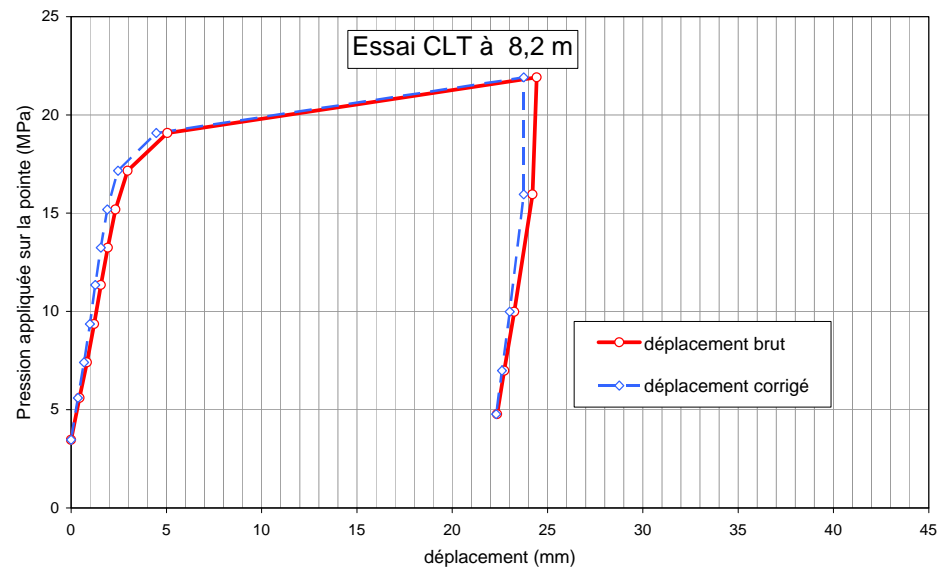
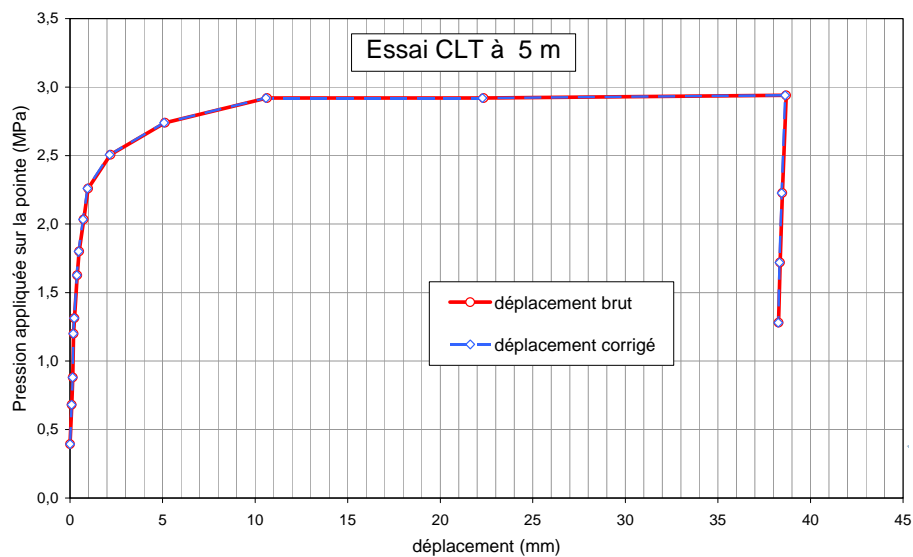
Courbes de chargement de pointe (non corrigées)



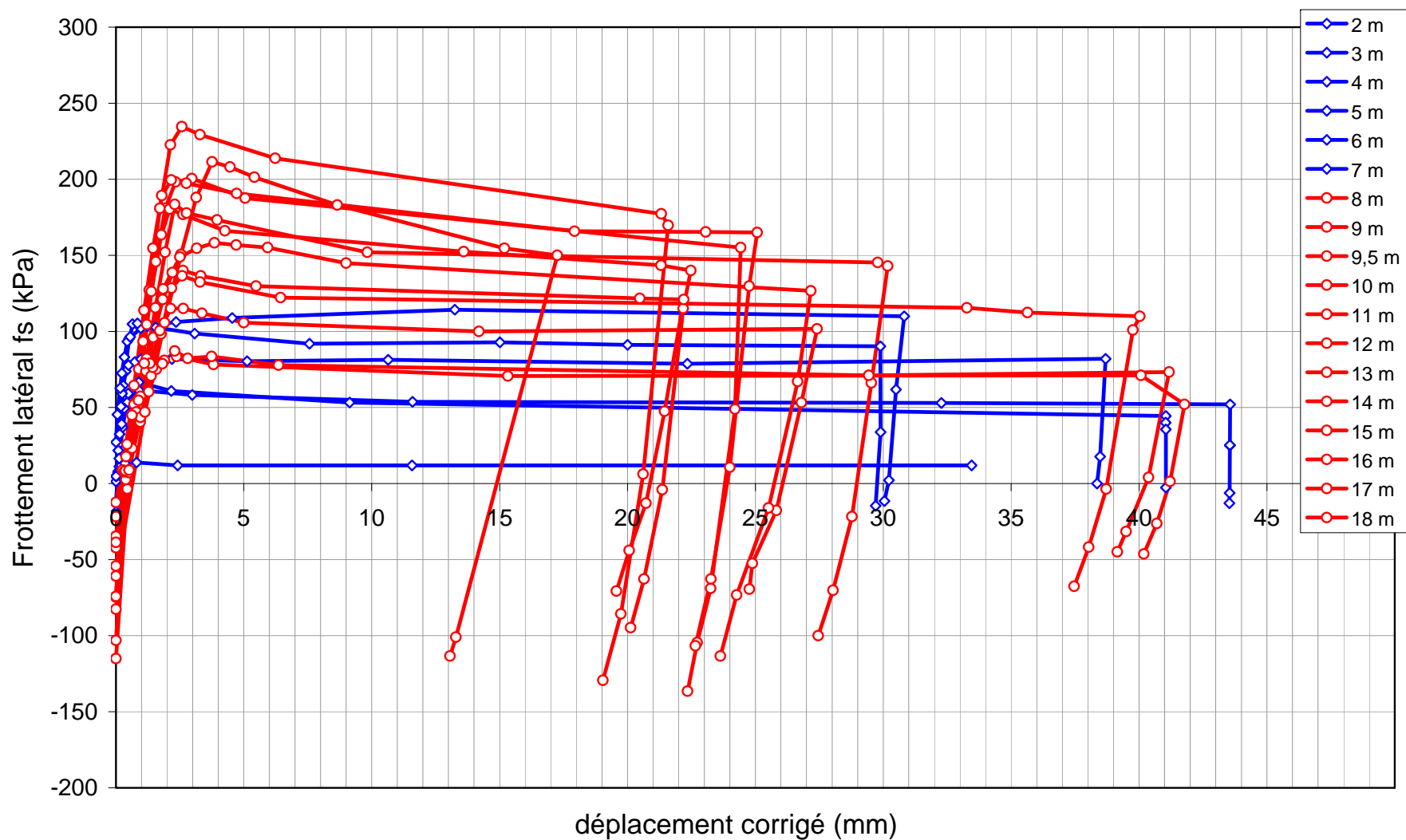
Charge et déplacement
mesurés à 60s, à la fin
de chaque palier de
chargement



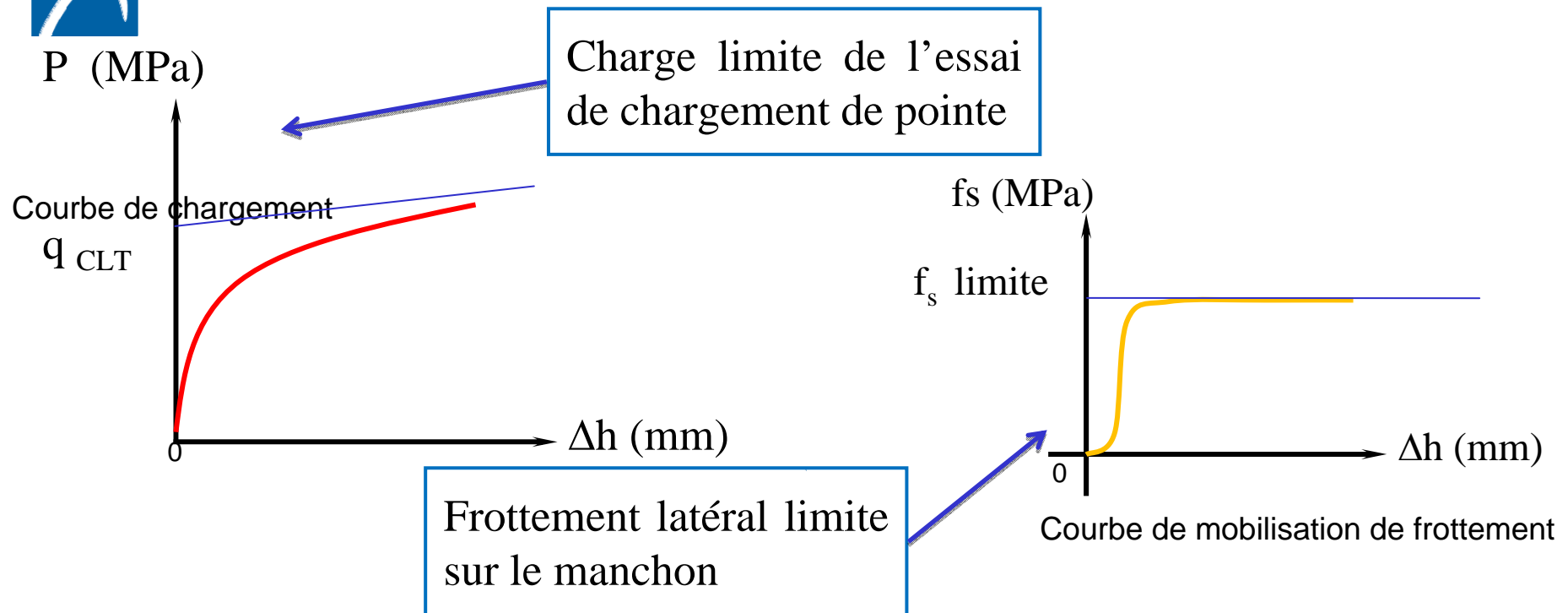
5. Correction du déplacement mesuré



Courbes de mobilisation de frottement

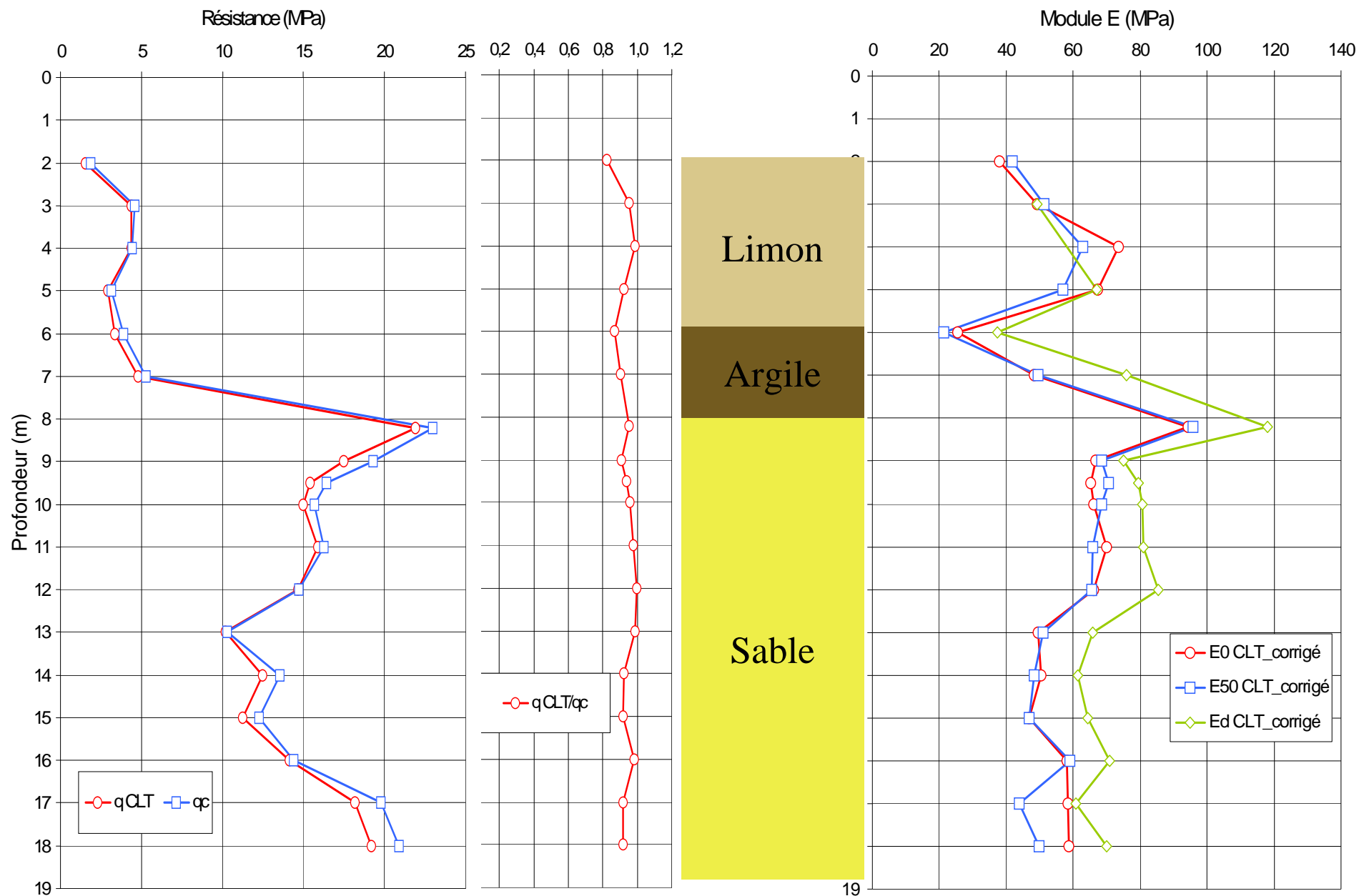


Charge limite q_{CLT} et frottement latéral limite $f_{s,CLT}$

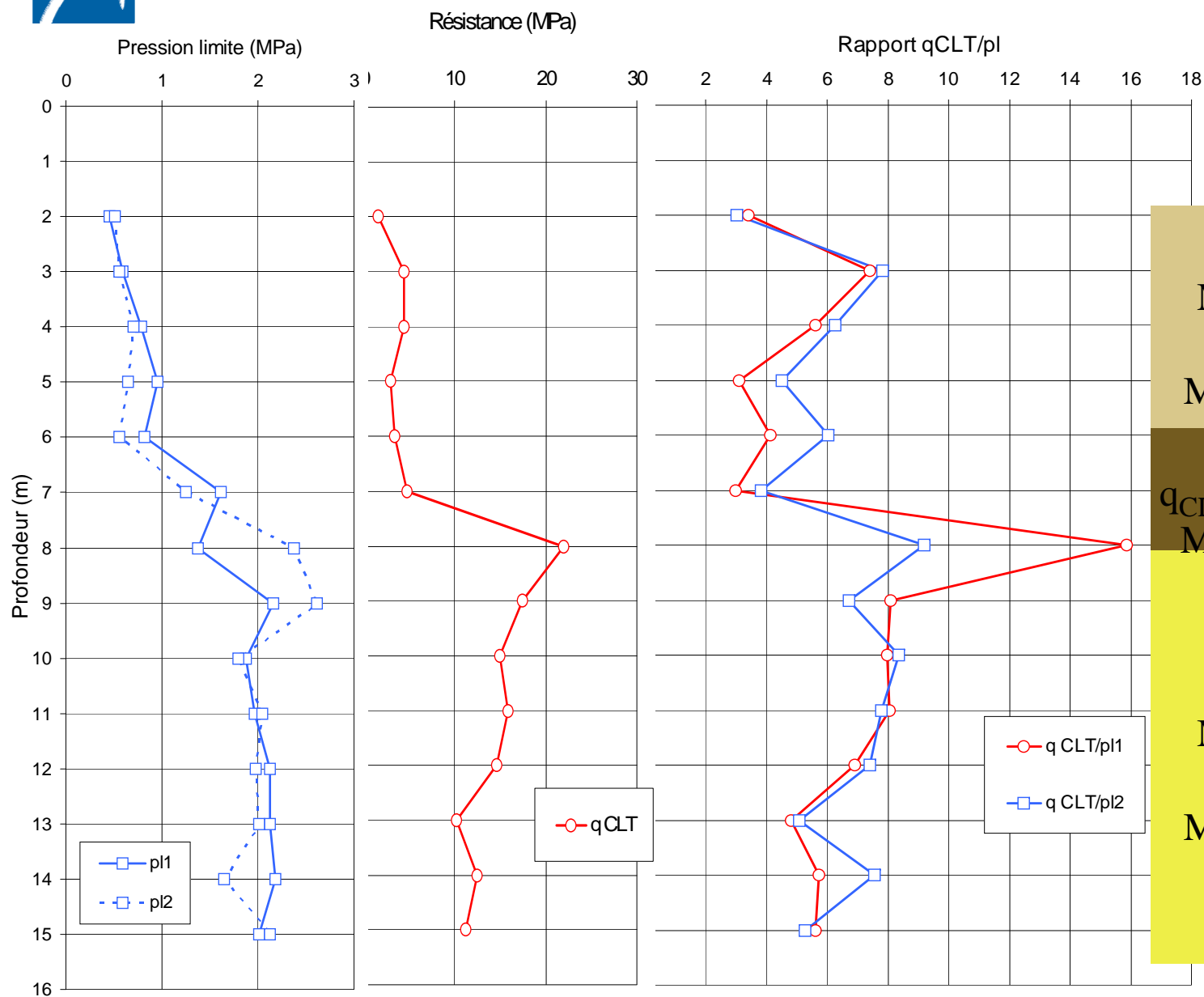


- Pour chaque essai CLT, 3 modules sont calculés
 - Le module tangent initial $E_{0,CLT}$
 - Le module à 50 % de chargement
 - Le module de déchargement $E_{d,CLT}$

Synthèse : modules et charges limites



II. Comparaison avec les essais PMT



Limon

Moy (q_{CLT}/pl) = 5,6

Moy (q_c/pl) = 6

Moy (q_c/pl)_{CSTC} = 5,9

Argile

$q_{CLT}/pl = 3,4$; $q_c/pl = 3,8$

Moy (q_c/pl)_{CSTC} = 4,4

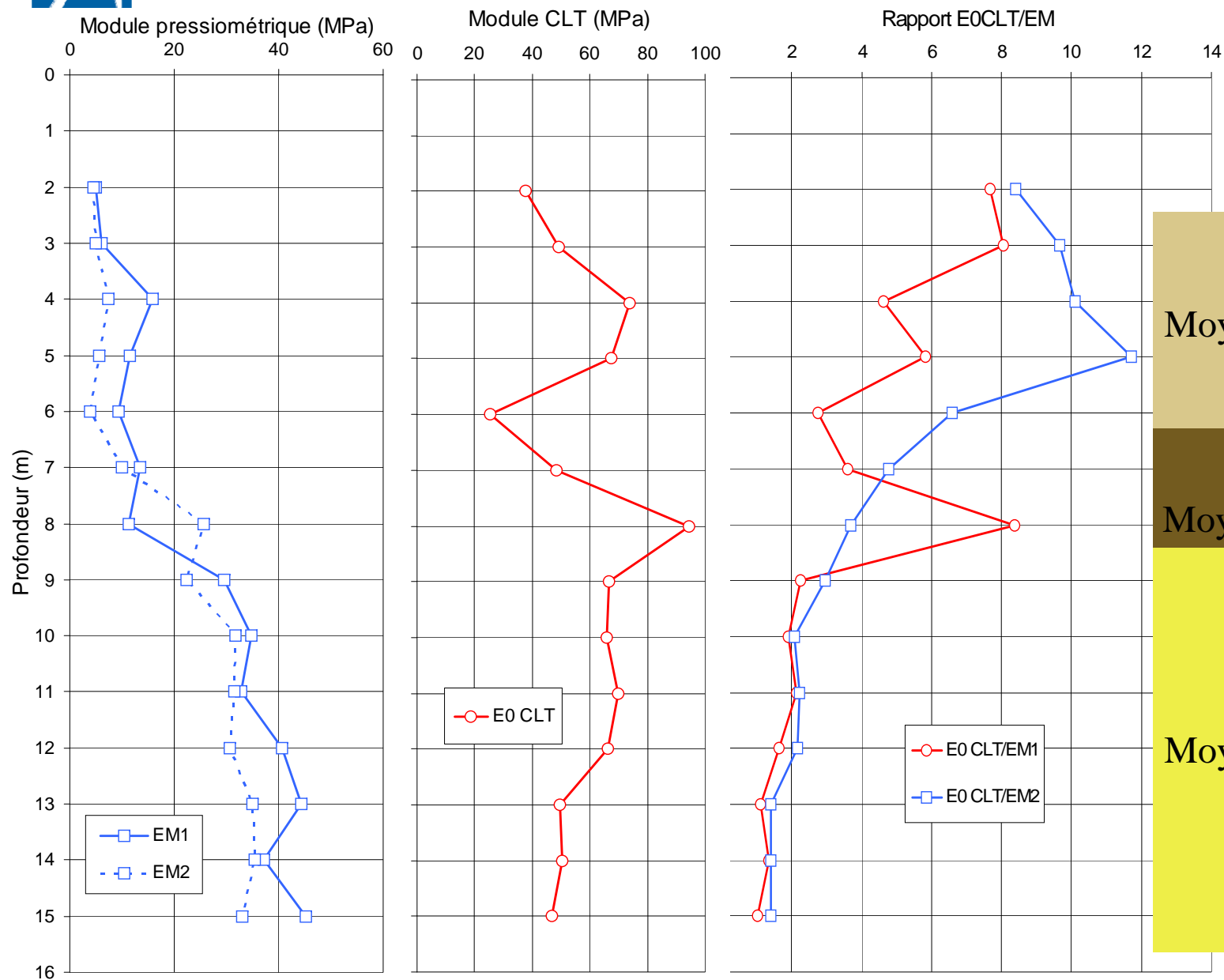
Sable

Moy (q_{CLT}/pl) = 7,5

Moy (q_c/pl) = 7,95

Moy (q_c/pl)_{CSTC} = 8,9

Comparaison avec les essais PMT



Limon
Moy ($E_{0\text{ CLT}}/E_M$) = 7,4

Argile
Moy ($E_{0\text{ CLT}}/E_M$) = 4,2

Sable
Moy ($E_{0\text{ CLT}}/E_M$) = 1,8

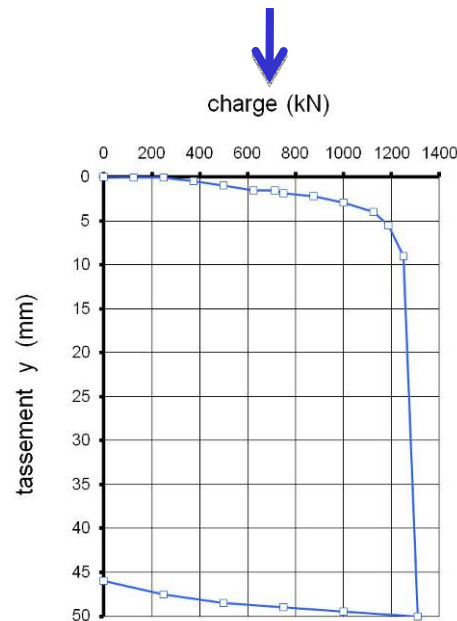
Méthode CLT pour le dimensionnement des pieux

• Introduction

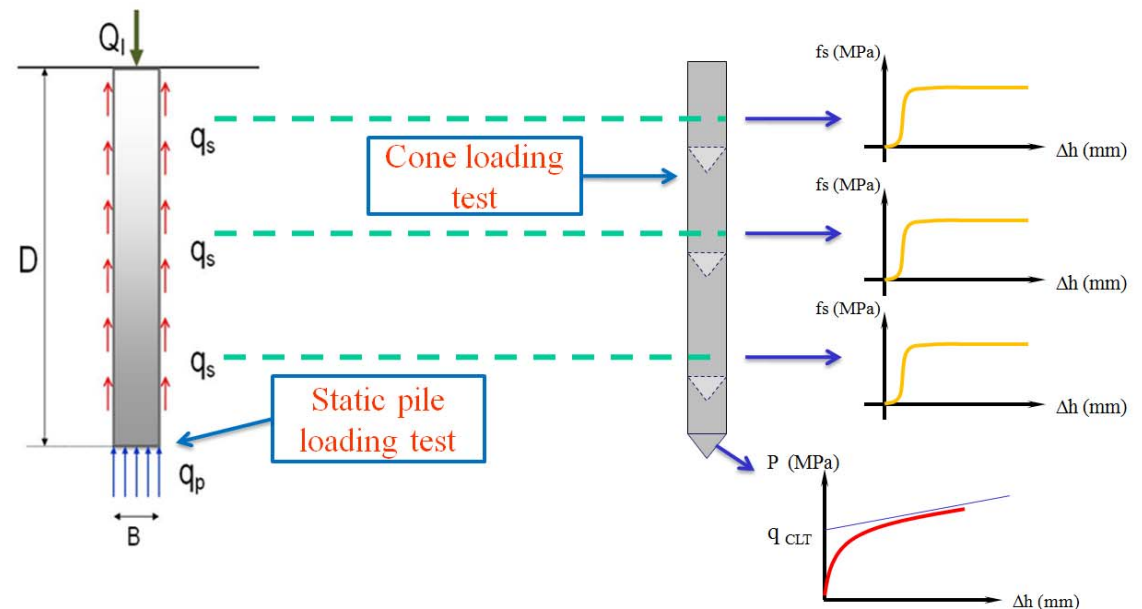
- La pointe peut être considérée comme un modèle réduit de pieux
- La déformation autour de la pointe est similaire à celle autour du pieux

• Objectif

- Déterminer la capacité portante du pieu
- Obtenir les courbes t-z (charge-déplacement) / estimation et normalisation



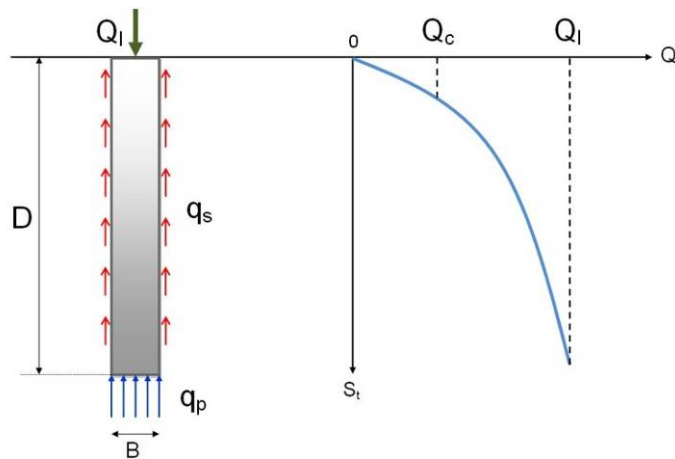
ance et essai



Détermination de la capacité portante des pieux

- Essai de chargement statique de pieux*

$$Q_u = Q_{pu} + Q_{su}$$



Q_{pu} charge limite de pointe

Q_{su} charge limite de frottement latéral

- A partir des résultats de l'essai de chargement de pointe*

$$Q_{pu} = k_p \cdot q_{CLT} \cdot \pi \cdot B^2 / 4$$

$$Q_{su} = \sum_i^n k_s \cdot f_{sCLT} \cdot \pi \cdot B \cdot l_i$$

k_p : facteur du terme de portance,

k_s : facteur du terme de frottement,

B : diamètre du pieu,

f_{sCLT} : frottement latéral ultime de la couche i (CLT)

l : épaisseur de la couche i

q_{CLT} : charge limite en pointe : (essai CLT)

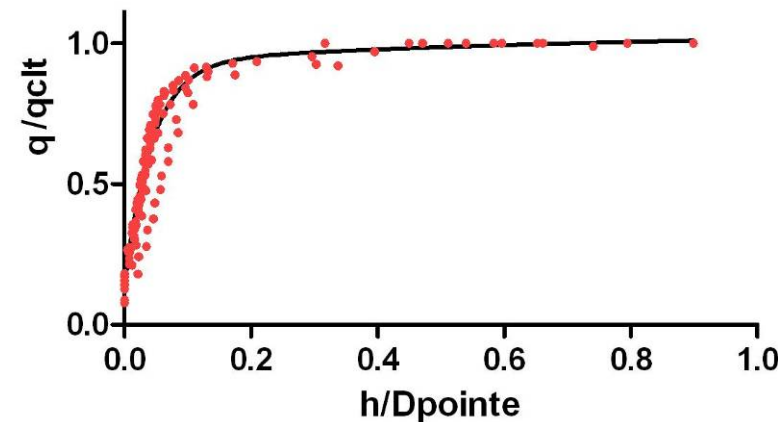
Estimation du tassement des pieux

Normalisation des courbes CLT

Courbes de chargement de pointe CLT



Normalisation de la charge appliquée sur la pointe par q_{CLT} et normalisation du déplacement par le diamètre de la pointe, puis faire une régression non linéaire pour obtenir une courbe de référence



Multiplier (h/d pointe) par d pieu \longrightarrow déplacement du pieu
Multiplier (q/q_{CLT}) par Q_{pu} (Méthode CLT) \longrightarrow l'effort de pointe du pieu

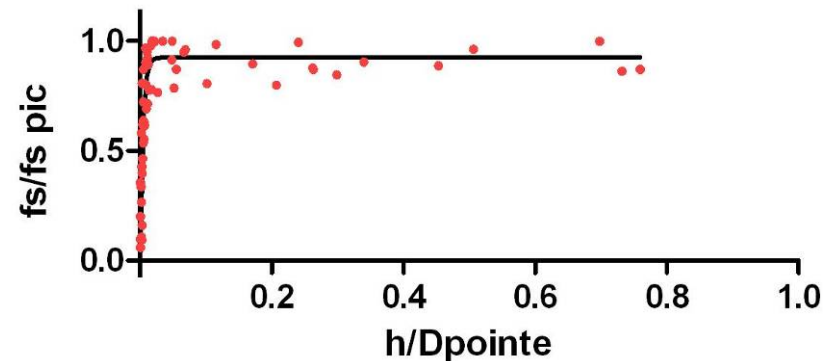
Estimation du tassement des pieux

Normalisation des courbes CLT

Courbes de mobilisation de frottement $f_{s_{CLT}}$



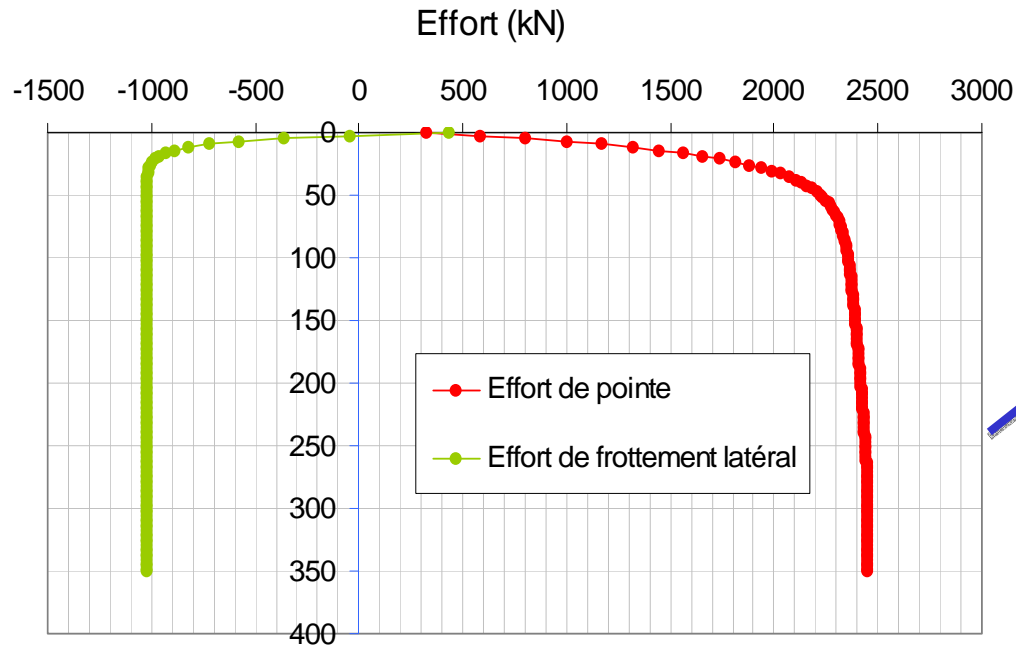
Normalisation du frottement par la valeur maximale $f_{s_{CLT}}$ et normalisation du déplacement



Multiplier (h/d pointe) par d pieu \longrightarrow déplacement du pieu
Multiplier ($f_s/f_{s_{pic}}$) par Q_{su} (Méthode CLT) \longrightarrow l'effort de frottement du pieu

Estimation du tassement des pieux

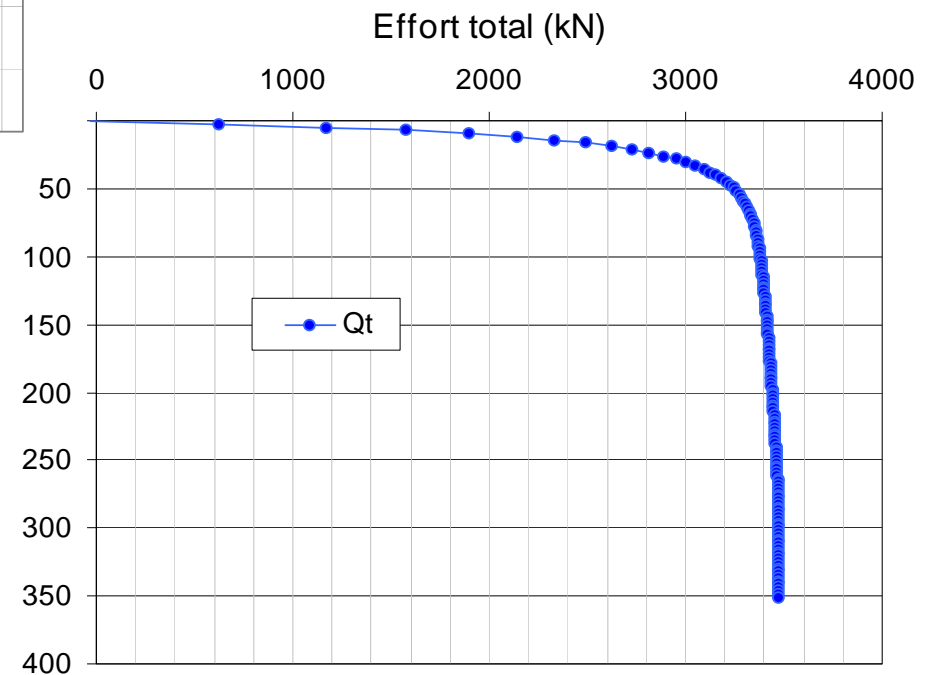
Exemple des courbes (t-z) obtenues



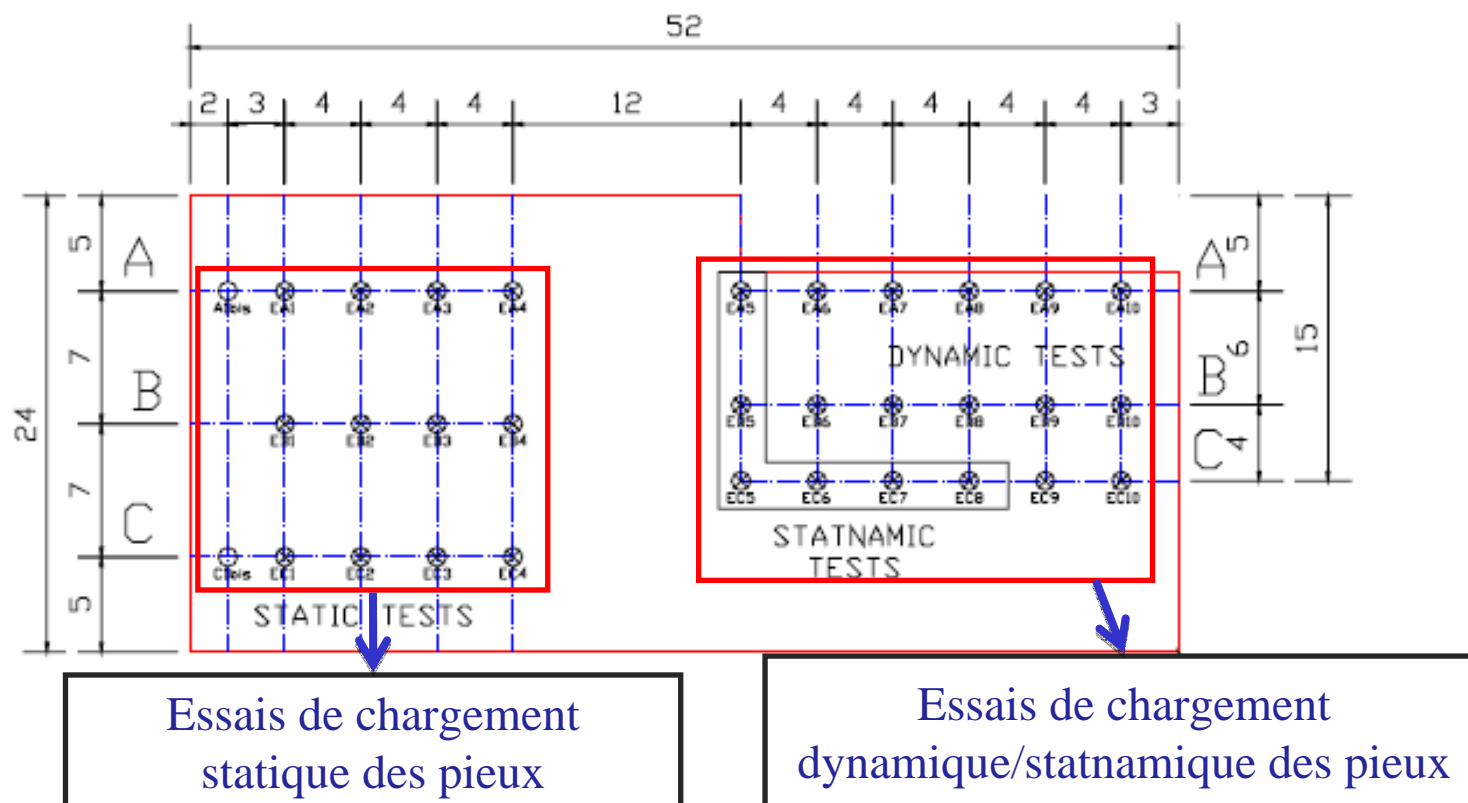
Courbes effort/tassement

Courbe (t-z) finale

Tassement du pieu (mm)



Essais de pieux réalisés à Limelette



La méthode CLT a été appliquée sur 11 pieux de la zone statique :

Pieux vissés

- Fundex 38/45 (A1bis)
- Atlas 36/51 (B3 et B4)
- Olivier 36/51 (A2 et C2)
- De Waal 41/41 (A4 et C4)
- Omega 41/41 (A3 et C3)

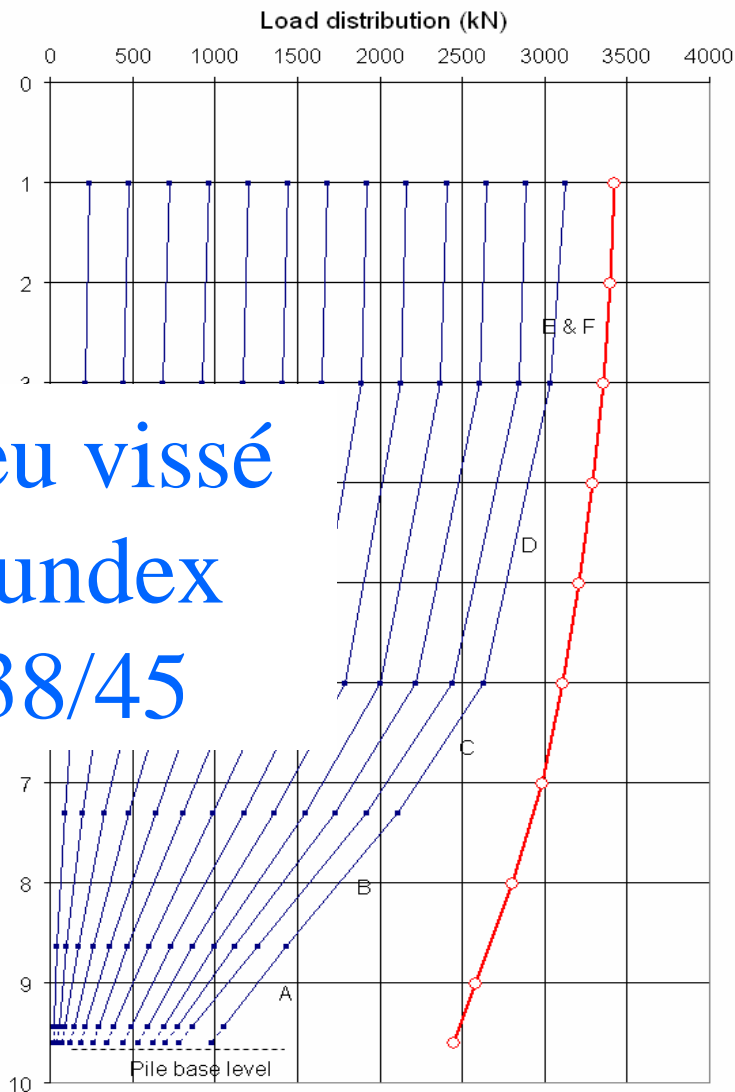
Pieux préfabriqués battus

- Pieux de référence (B1 et B2)





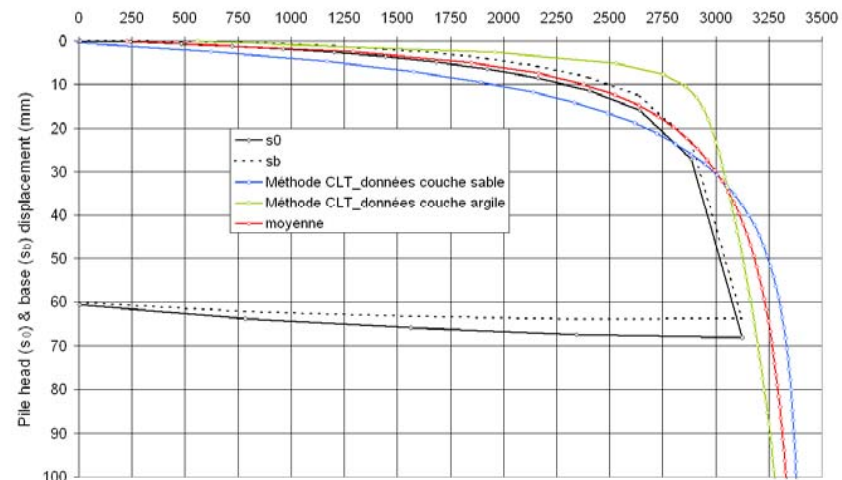
Screw Piles - Limelette II - SLT : Pile A1bis - Fundex



Pieu vissé
Fundex
38/45

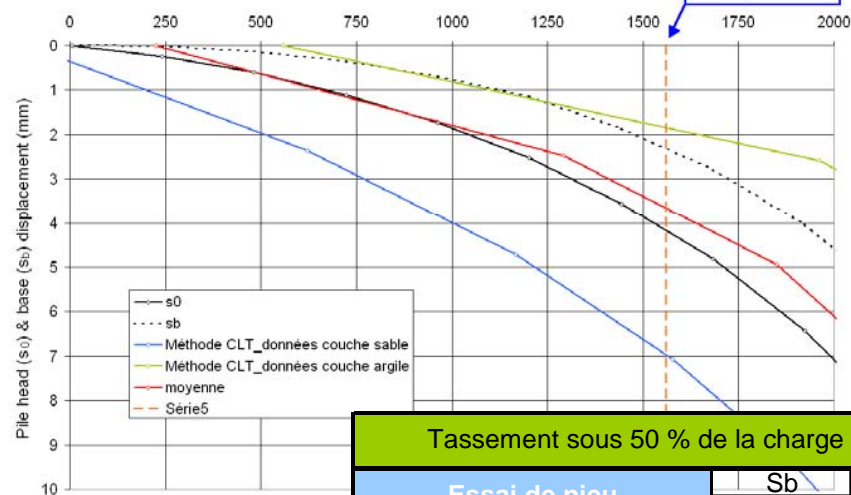
Screw piles - Limelette II - SLT : Pile A1bis-Fundex

Pile Load Q (kN)



Screw piles - Limelette II - SLT : Pile A1bis-Fundex

Pile Load Q (kN)



Tassement sous 50 % de la charge totale

Essai de pieu

S_b

2,30

S_0

4,10

Méthode CLT

moyenne

3,70

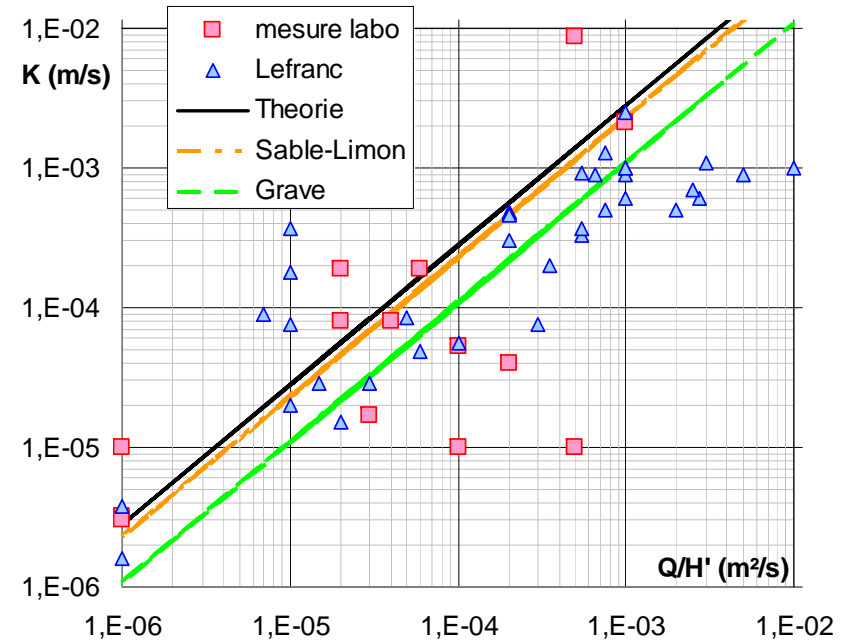
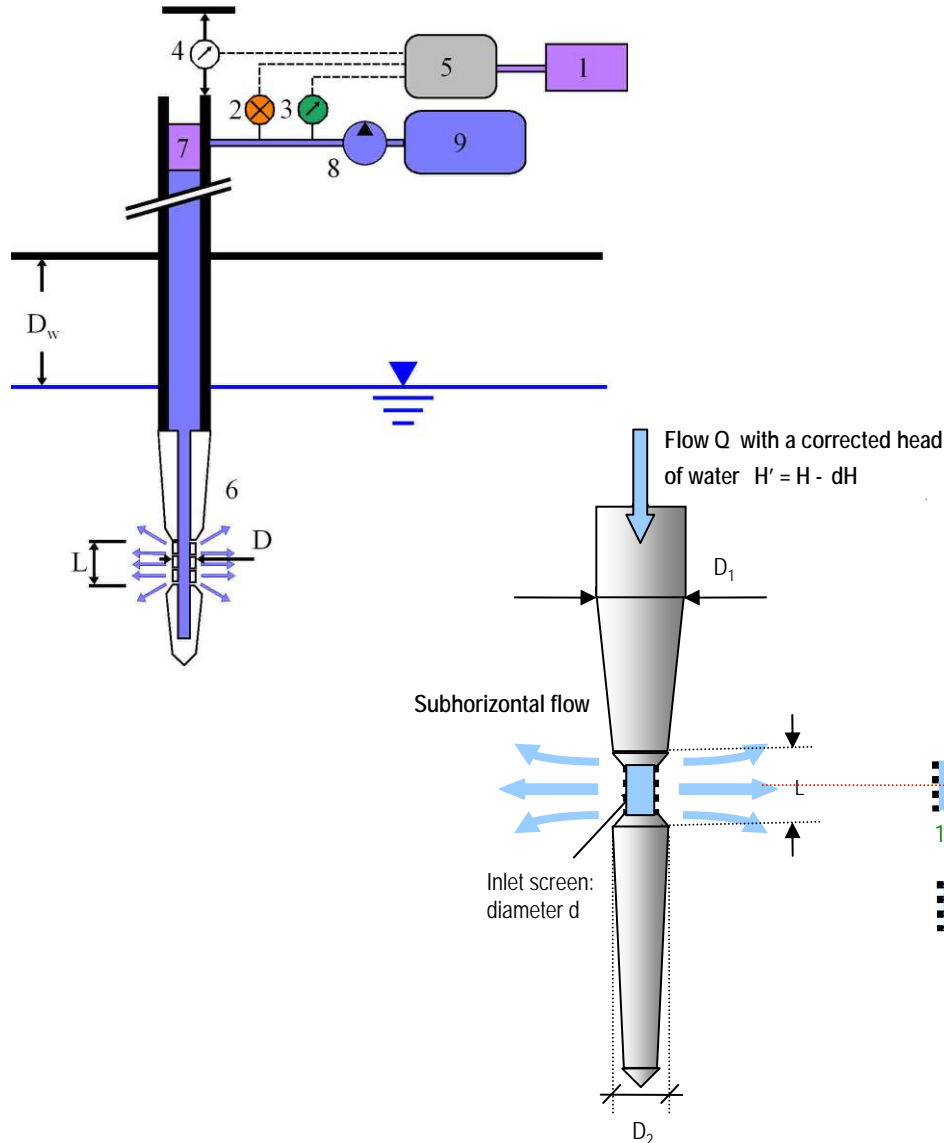
Pieu	mode de mise en place	Type	D fut (mm)	D pointe (mm)	Z pointe (m)	Essai de chargement statique du pieu		Méthode du CLT		Facteur	
A1bis	Vissé Fundex 38/45	Statique	390	450	9,59	Q_p (kN)	1059	Q_p CLT	2448	K_p	0,43
						Q_s (kN)	2064	Q_s CLT	972	K_s	2,12
						Q_t (kN)	3123	Q_t CLT	3420	K_t	0,91

Reconnaissance et essais géotechniques

type Reiffste

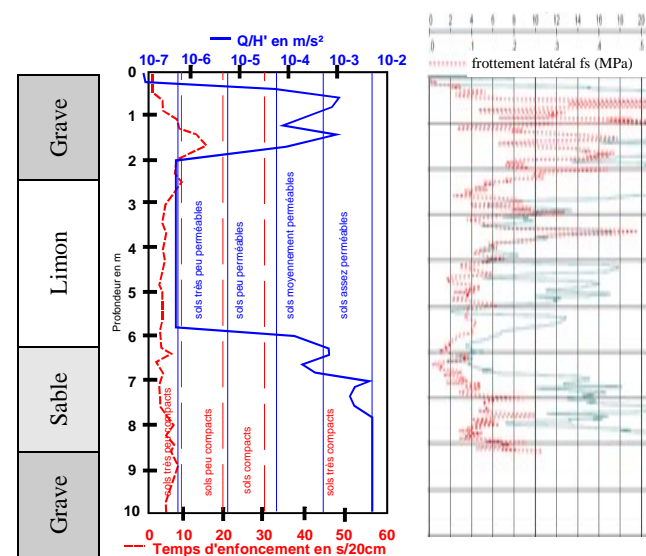
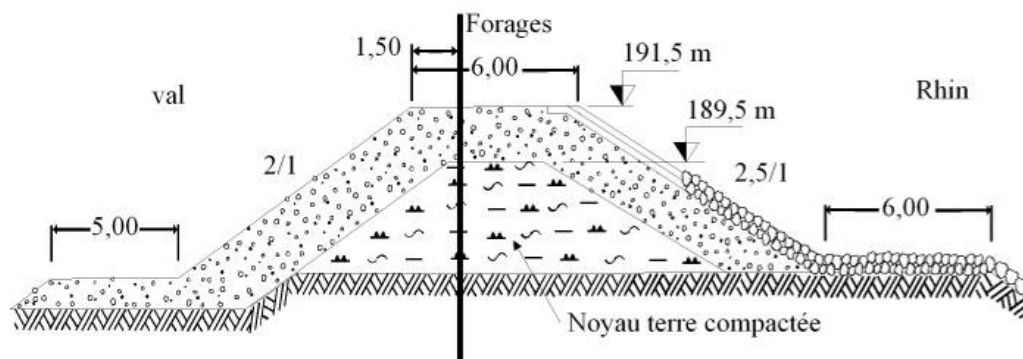
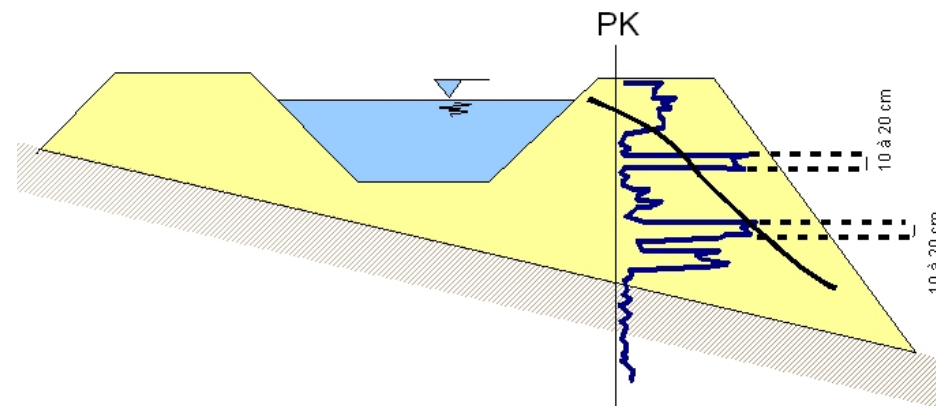
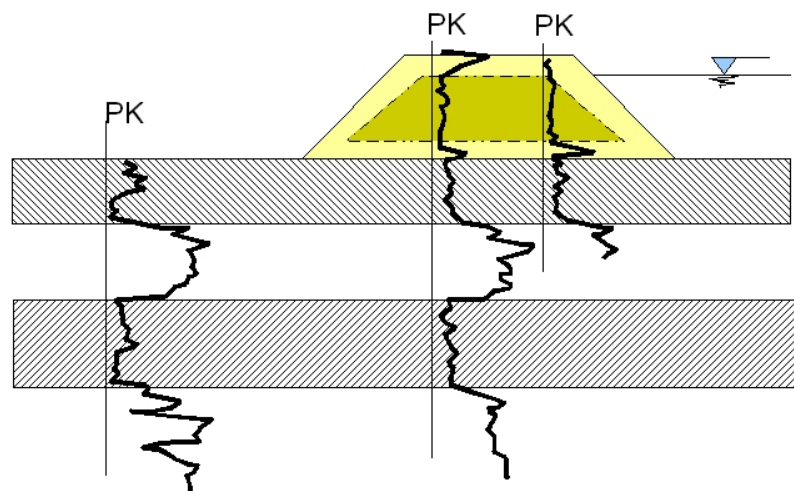
Tran

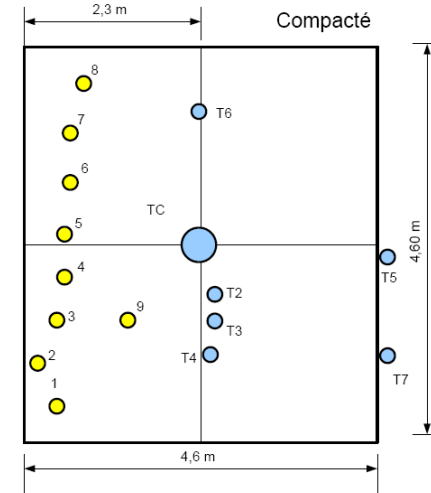
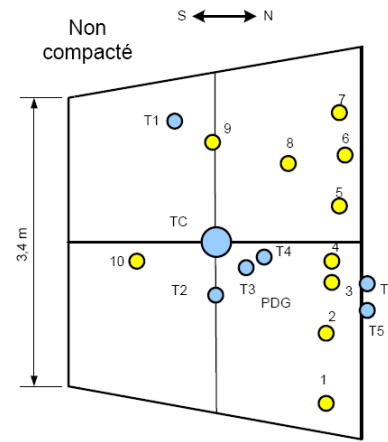
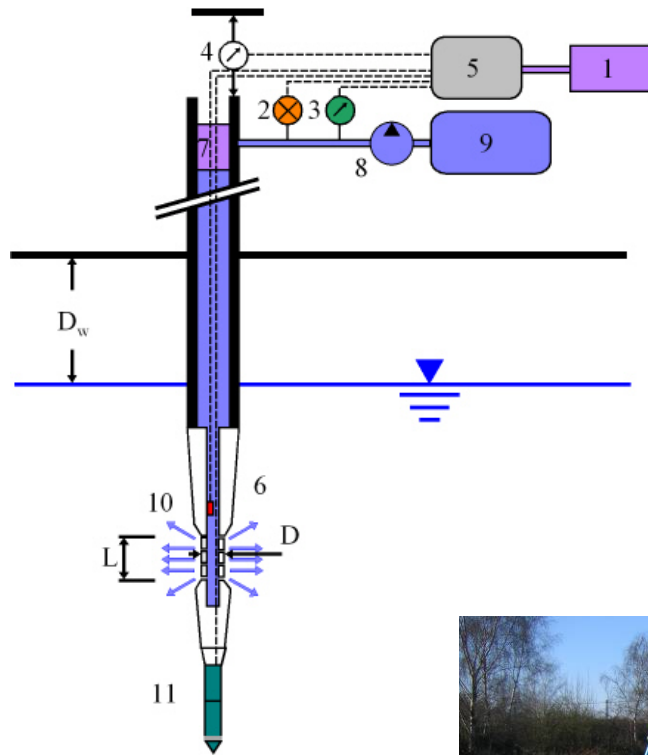
it-70



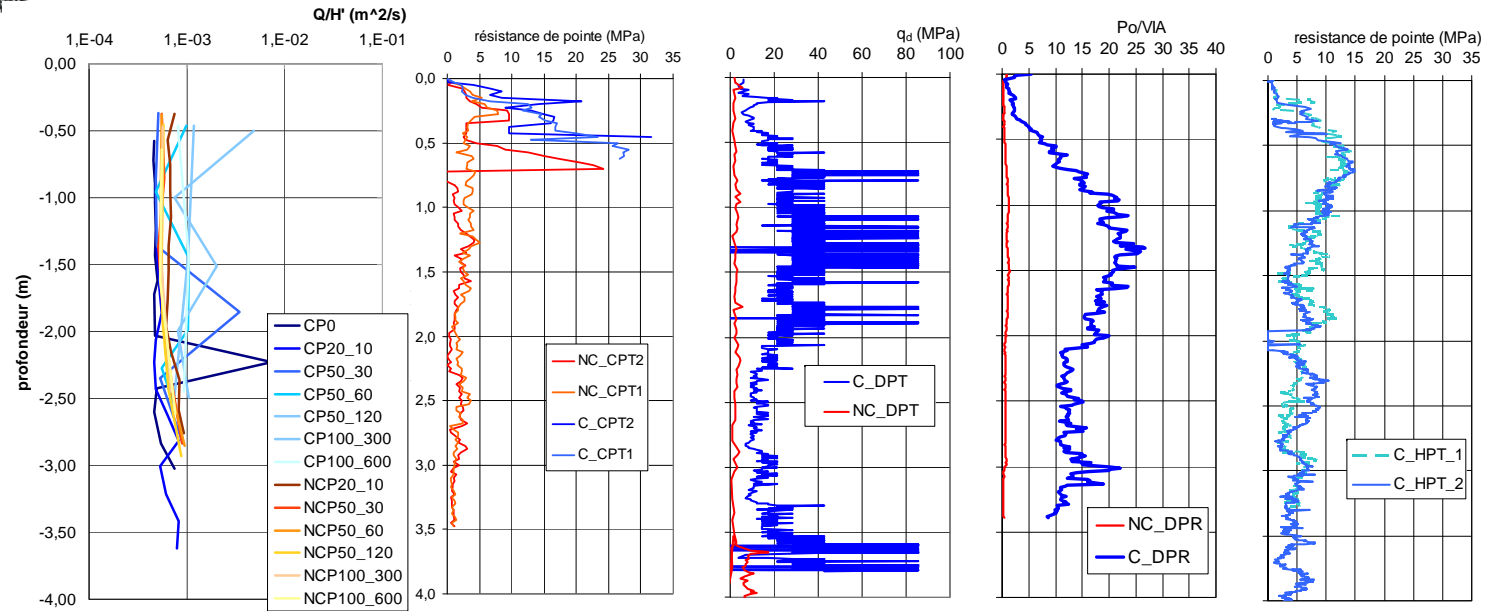
$$Q = \frac{2.\pi.L/D}{\ln\left(\frac{L}{D} + \sqrt{\frac{L^2}{D^2} + 1}\right)} . K . H' . D$$

Perméafor

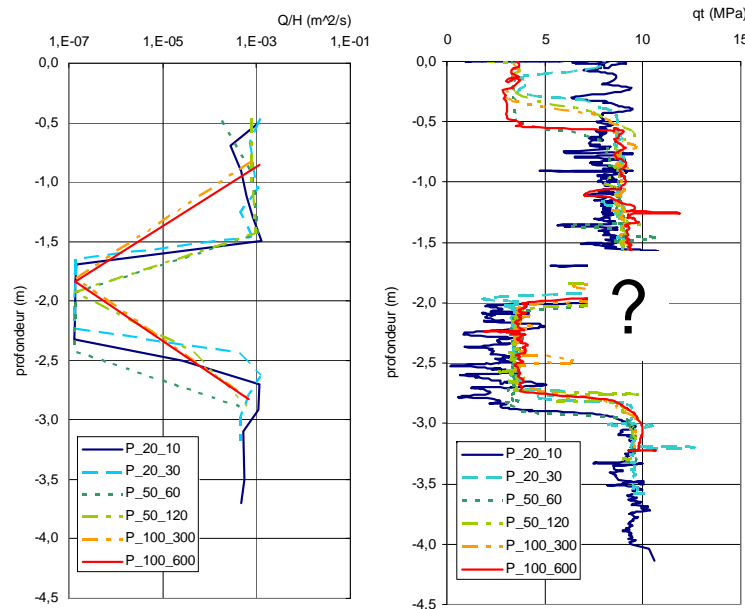




Grave

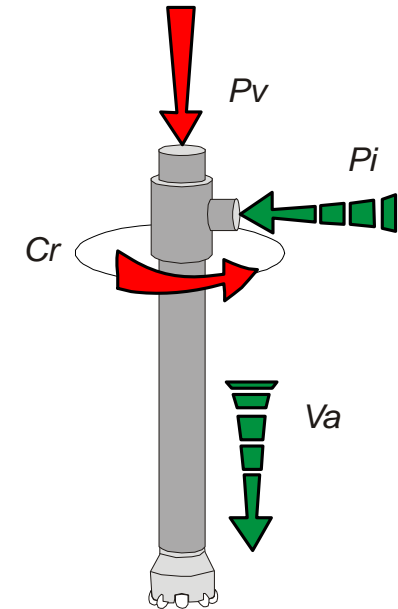
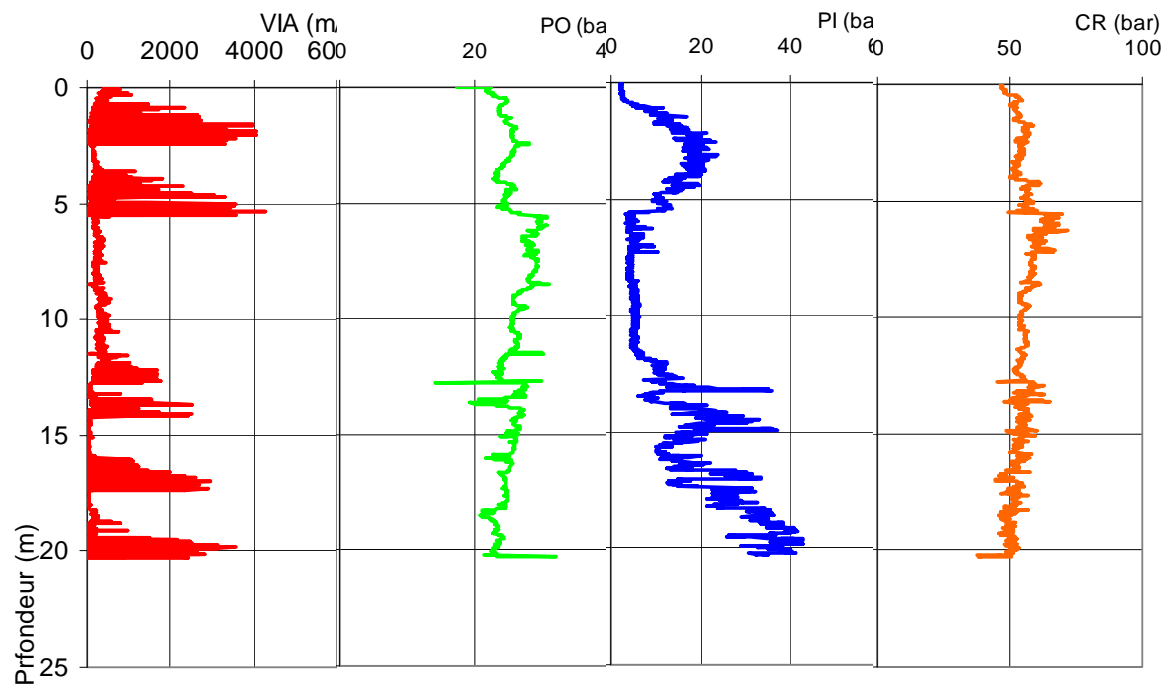


Grave
Limon
grave

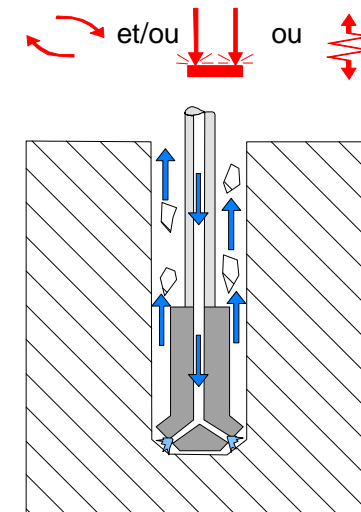


Paramètres de forage

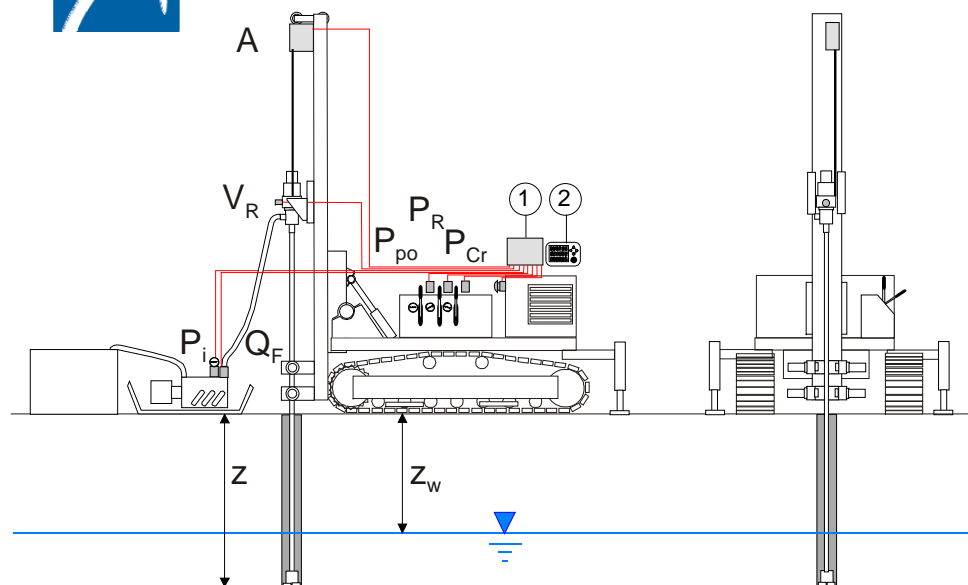
- Paramètres de forage mesurés usuellement
 - Vitesse d'avancement
 - Poussée sur outil
 - Pression d'injection
 - Couple de rotation



mode de foration

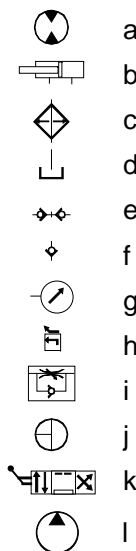


Paramètres de forage



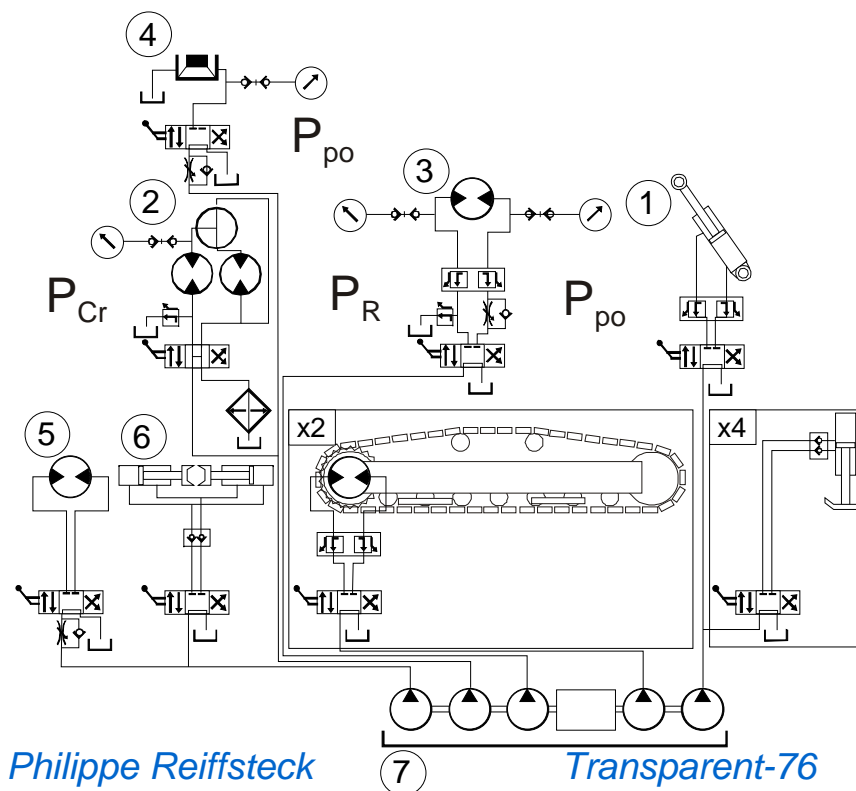
symboles hydrauliques usuels :

- a : moteur,
- b : vérin,
- c : refroidisseur,
- d : réservoir,
- e : coupleur,
- f : clapet anti-retour,
- g : manomètre,
- h : limiteur,
- i : étrangleur variable avec clapet anti-retour,
- j vanne trois voies,
- k : distributeur avec commande à levier,
- l : pompe



Légende :

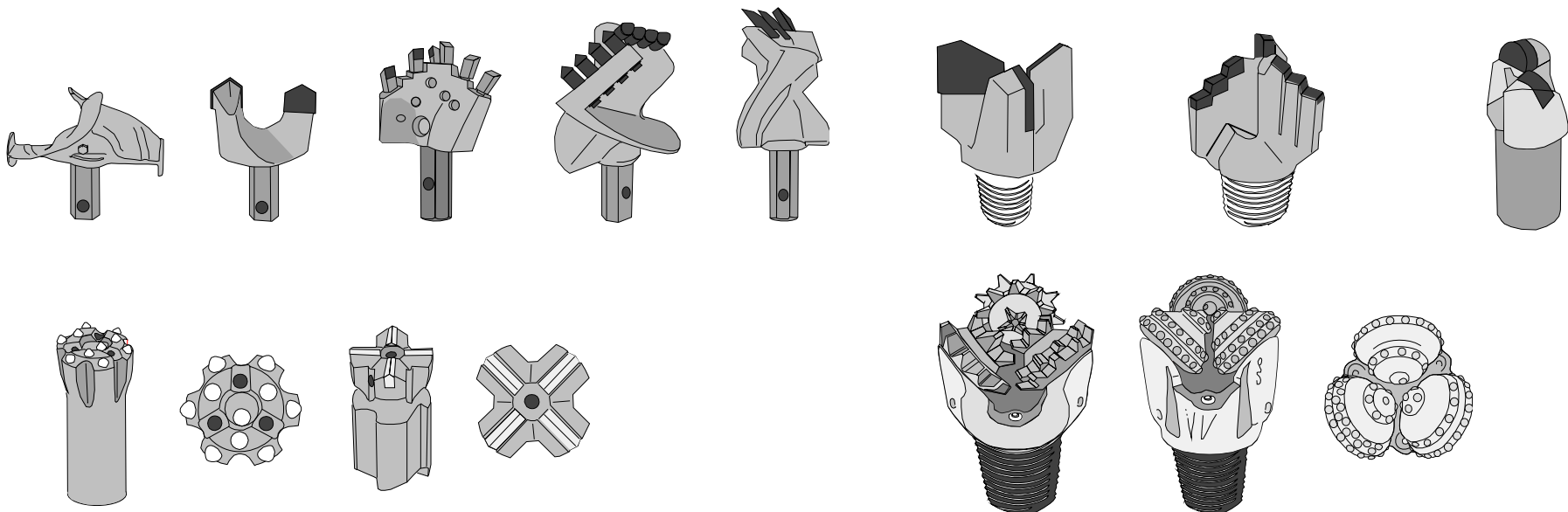
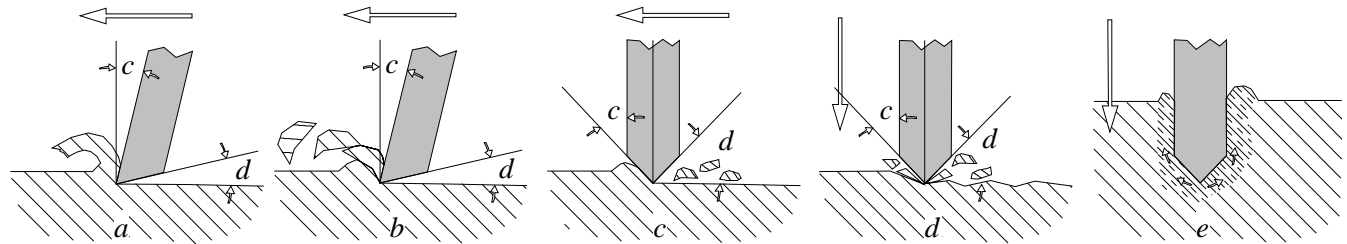
- 1 : vérin mât
- 2 : moteur de rotation
- 3 : moteur d'avance
- 4 : marteau
- 5 : pompe de fluide de forage
- 6 : mors du frein de tige
- 7 : groupe hydraulique



Paramètres de forage

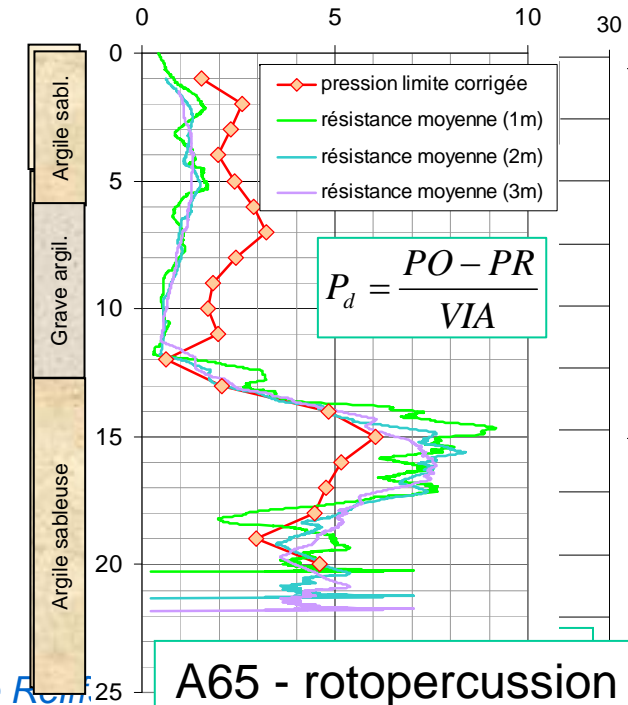
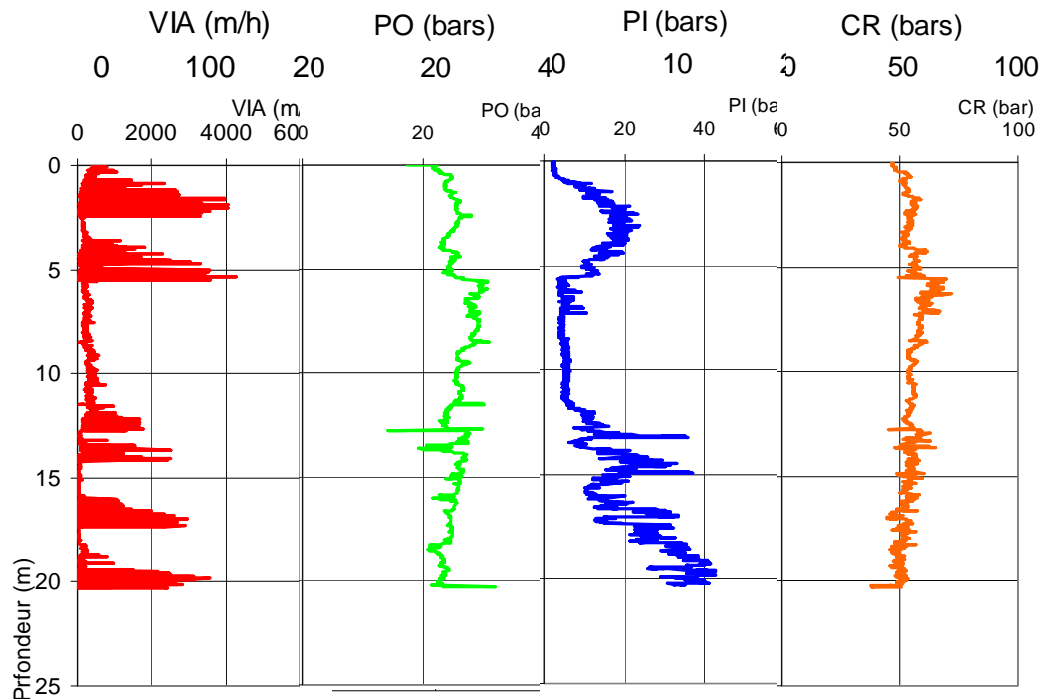
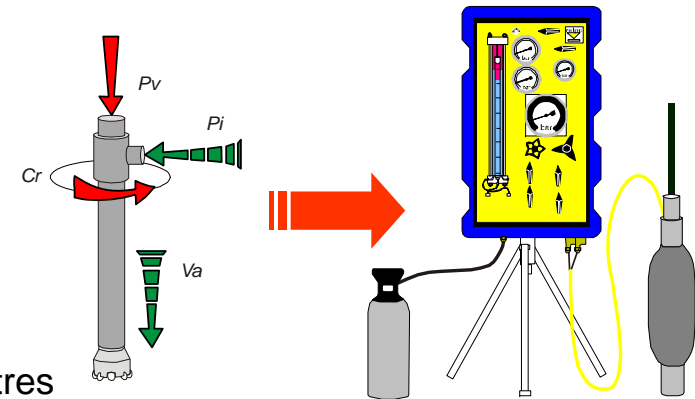
- On peut distinguer cinq modes d'actions, principaux suivant le type d'outil :

- l'usinage,
- l'usure,
- l'éclatement,
- la mise en suspension,
- le fluage.



Paramètres de forage

- Combinaison de paramètres (énergie spécifique, Somerton...)
 - Objectif s'affranchir des paramètres lister précédemment : machine, outil
 - Normaliser les paramètres machine pour obtenir des paramètres physiques corrélables avec des caractéristiques géotechniques
- Utilisation :
 - Lithologie
 - corrélation des paramètres dérivés (combinaisons) avec paramètres géotechniques : q_c , E_M possible ?



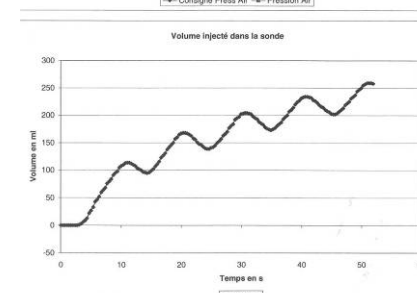
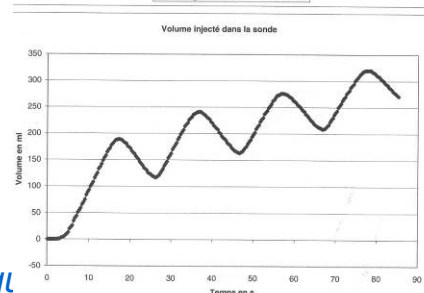
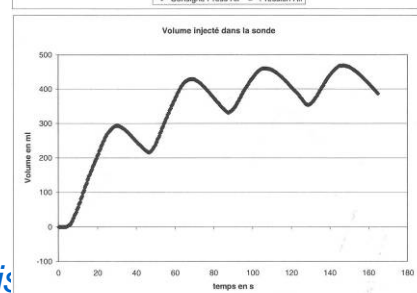
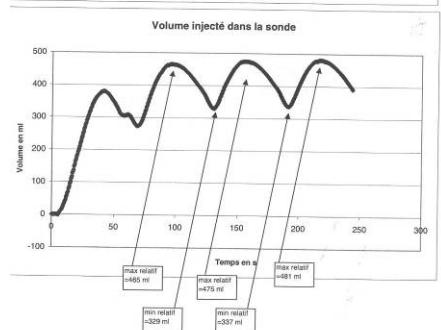
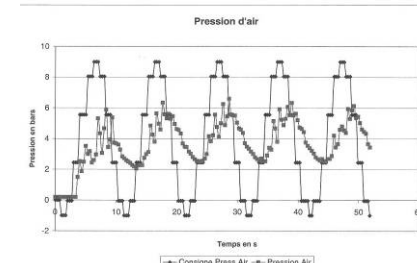
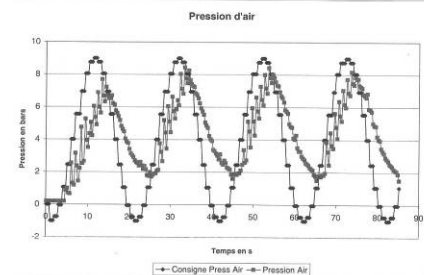
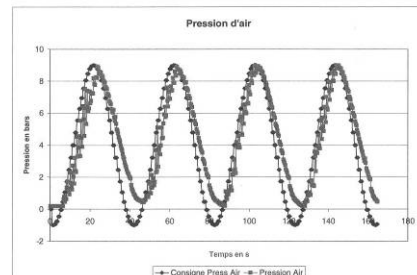
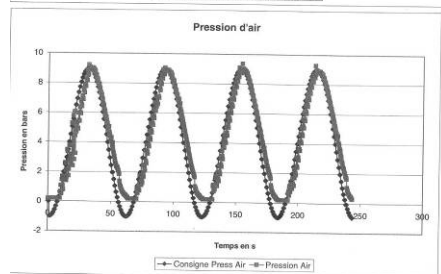
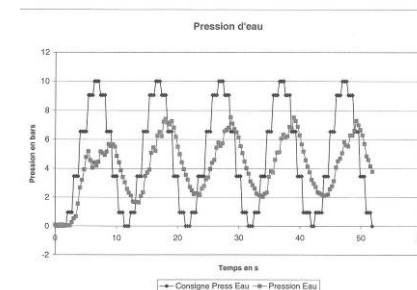
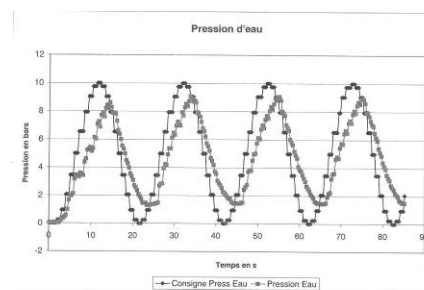
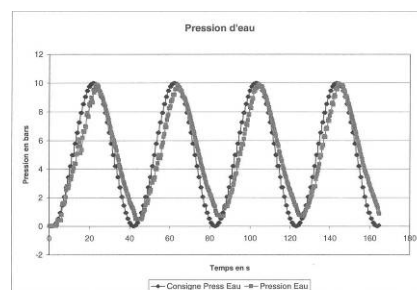
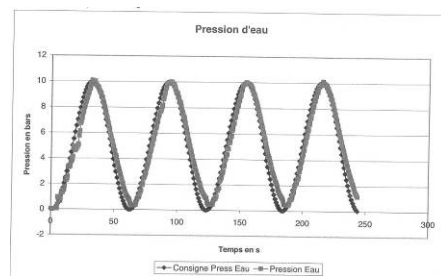
SBP et CPT Cyclique

- Matériel utilisé
 - CPV Lutz
 - Remplacement du BAP60 par un PC

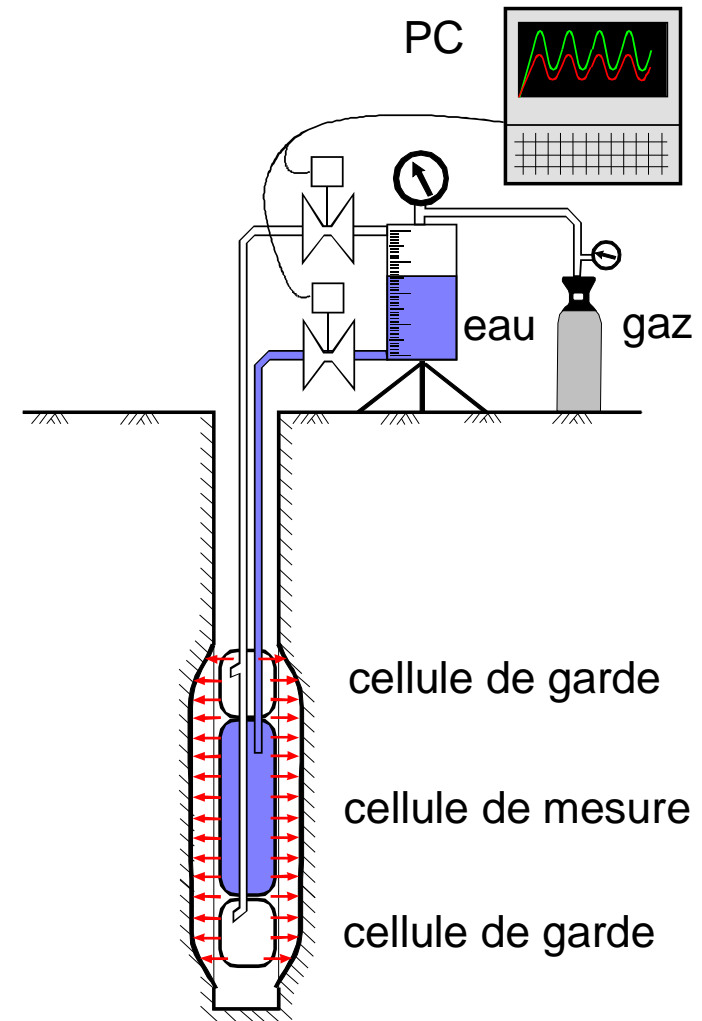
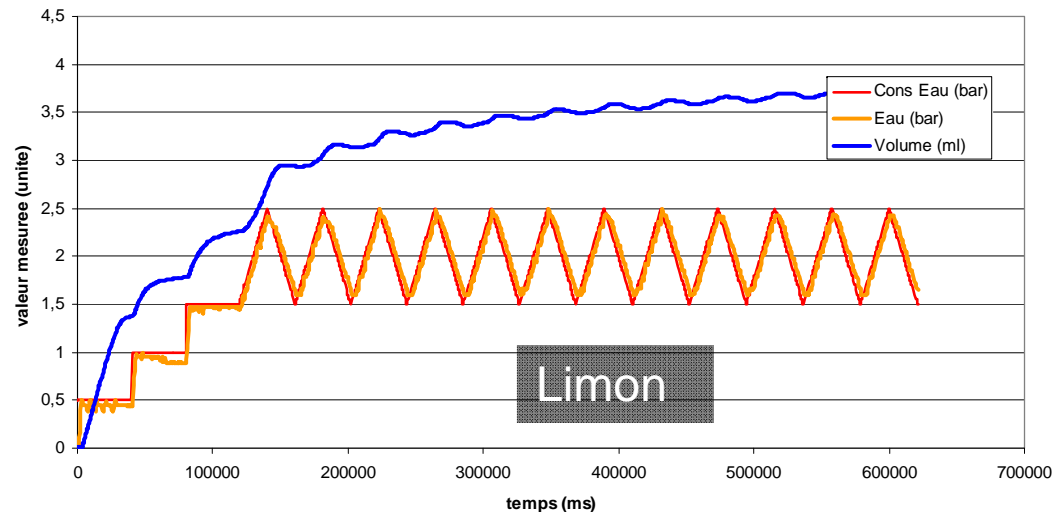
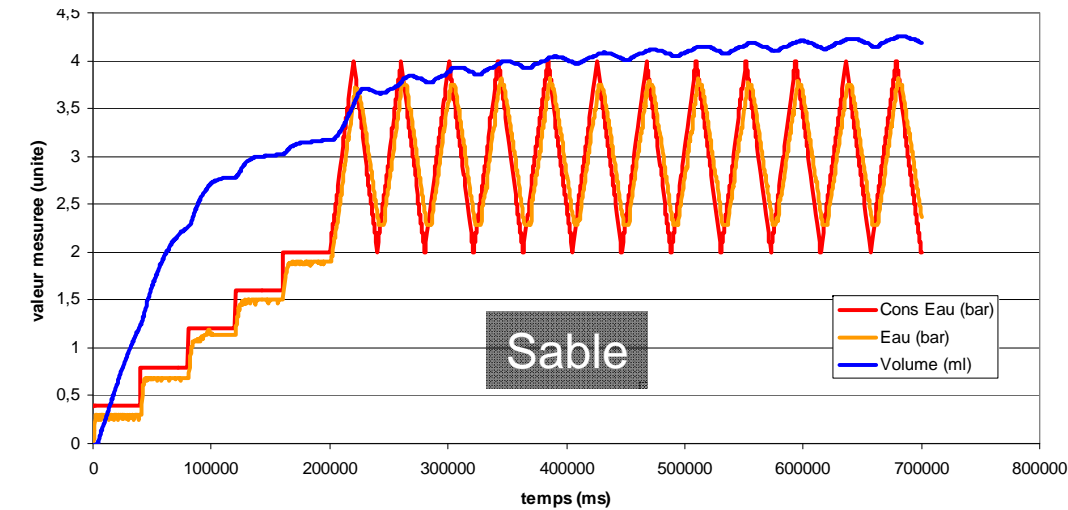


SBP et CPT Cyclique

- Modification d'un CPV automatique d'un fournisseur :
0,016 – 0,025 – 0,05 - 0,1 Hertz

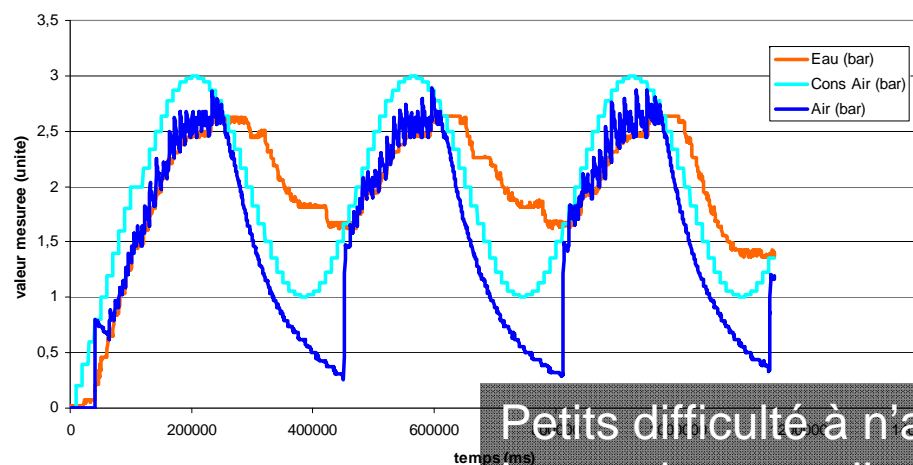


- Essais de Rouen 11/2009

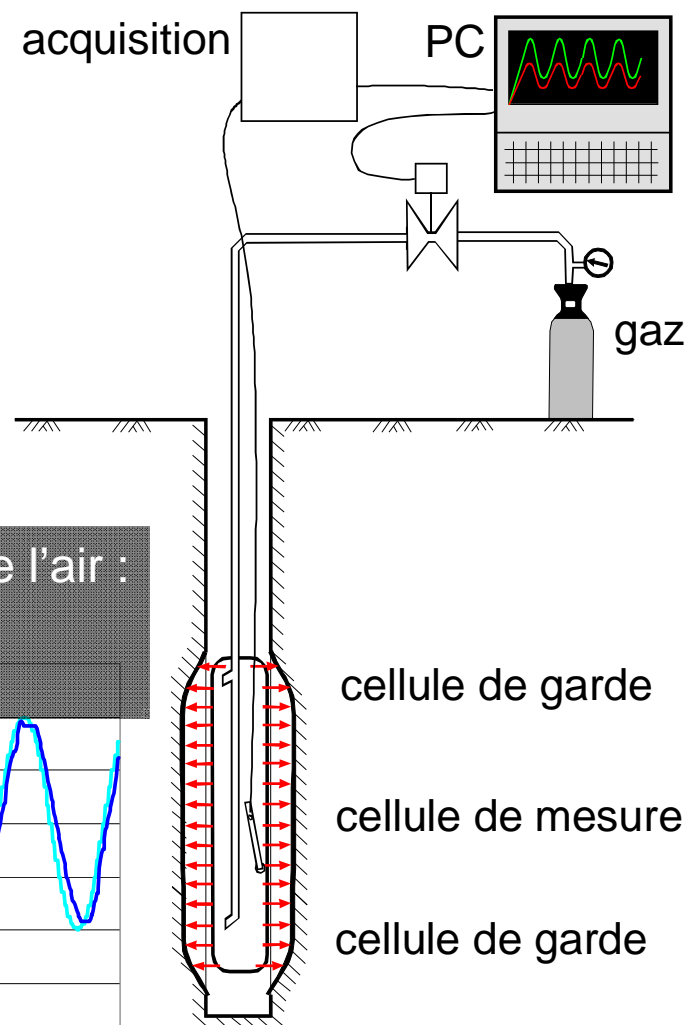
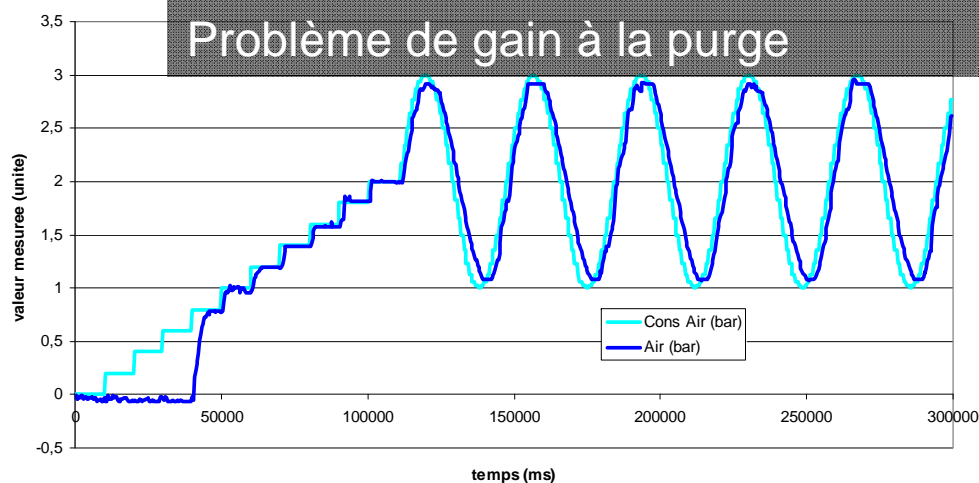


SBP Cyclique

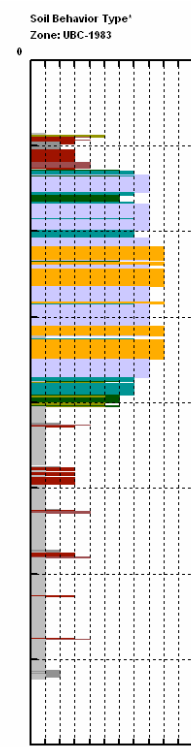
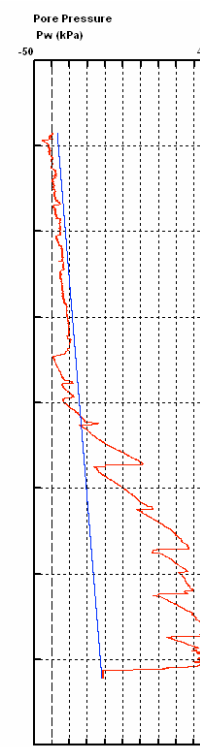
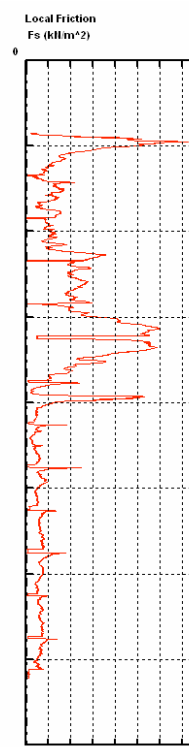
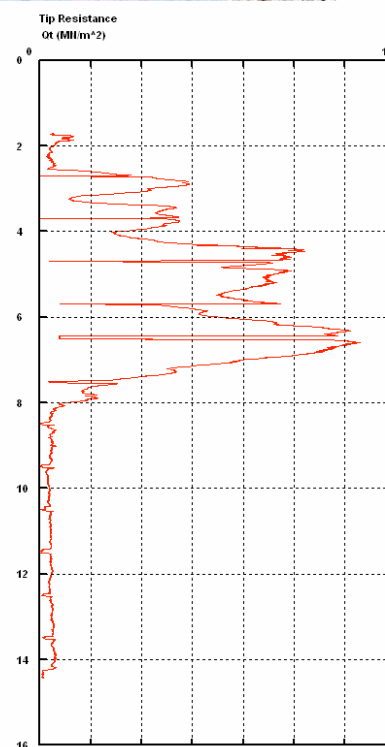
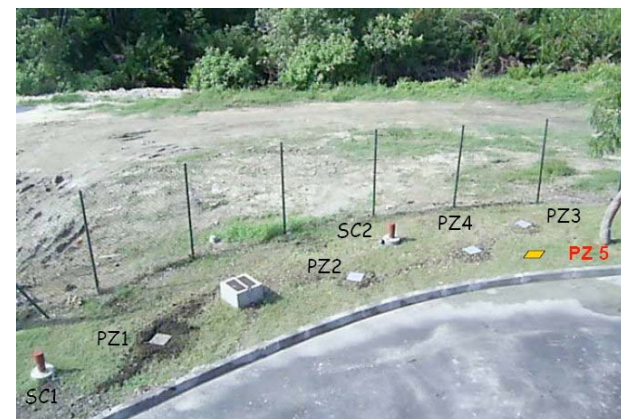
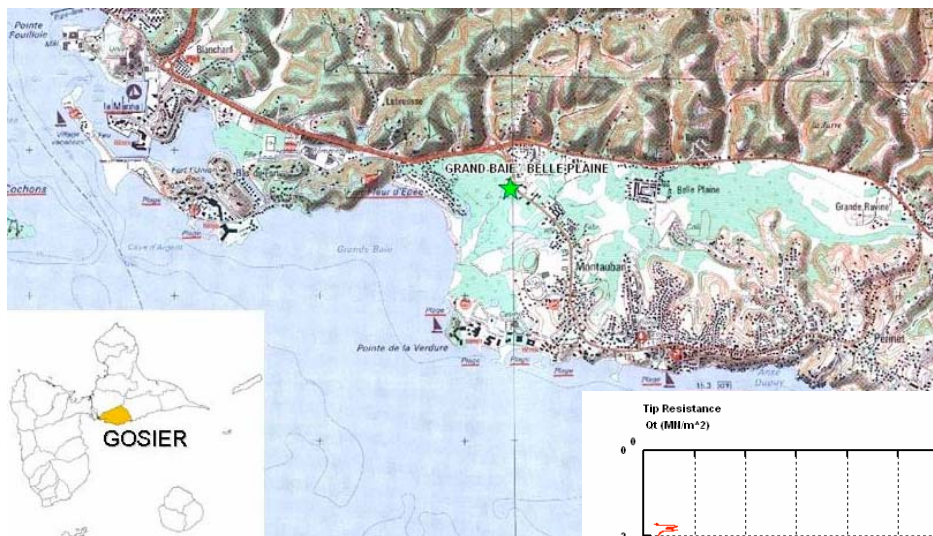
- Essais au LCPC
- Test terrain fin février



Petits difficulté à n'asservir que l'air :
Interaction avec l'eau
Problème de gain à la purge



Test on Gosier site



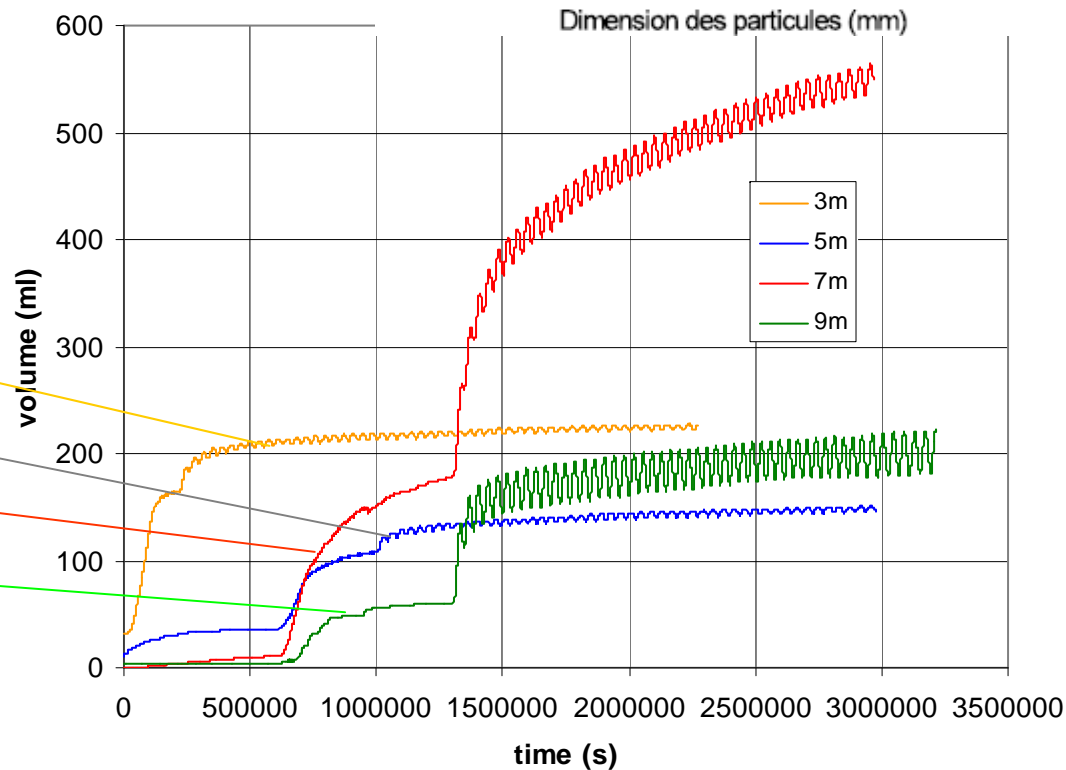
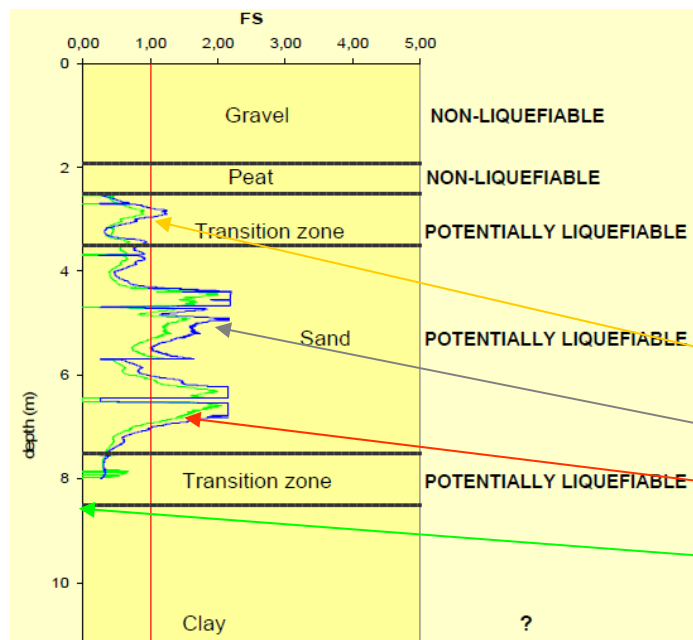
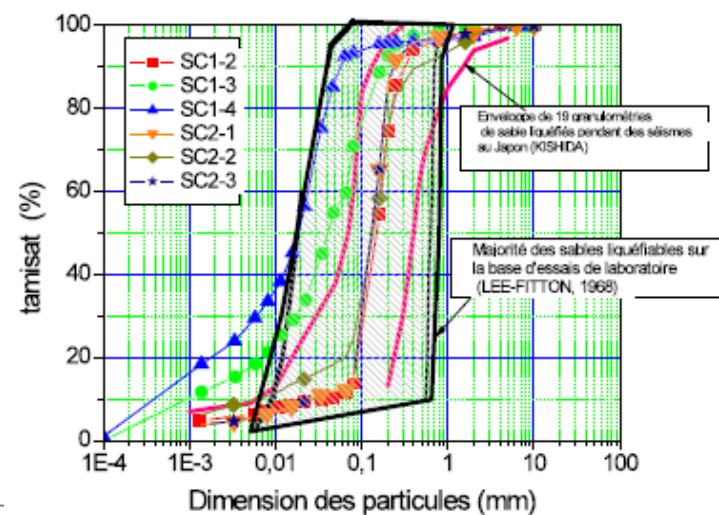
Reconnaissance

- 1 sensitive fine grained organic material clay
- 2 organic material clay
- 3 clay
- 4 silty clay to clay
- 5 clayey silt to silty clay
- 6 sandy silt to clayey silt

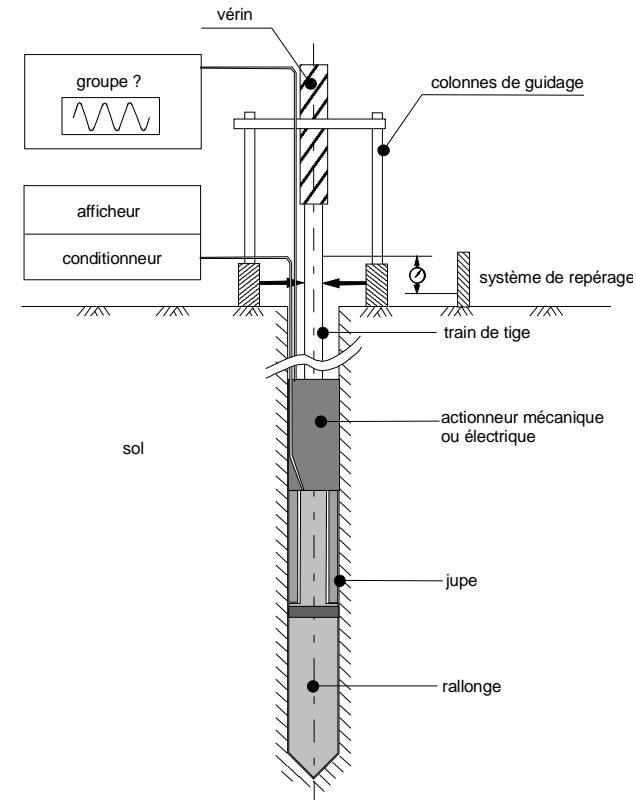
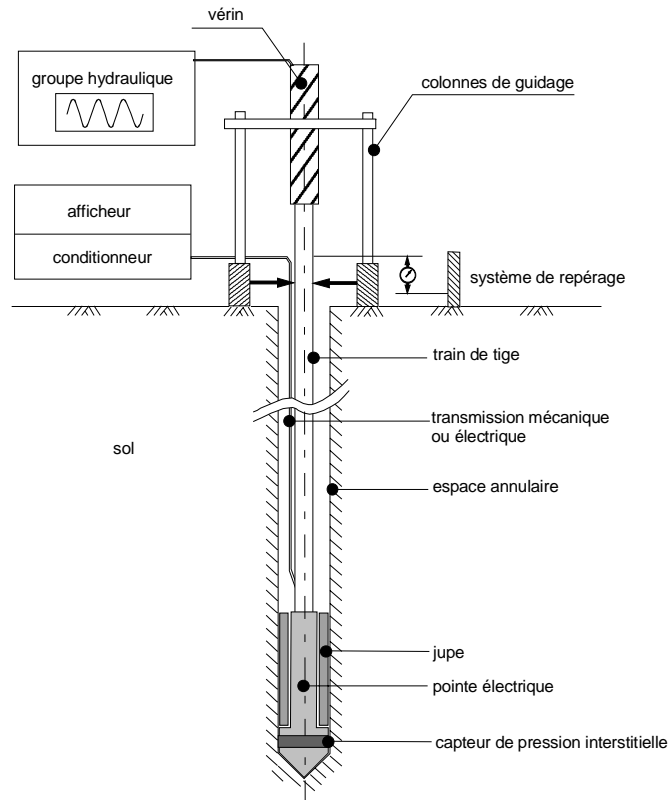
- 7 silty sand to sandy silt
- 8 sand to silty sand
- 9 sand

- 10 gravelly sand to sand
- 11 very stiff fine grained (*)
- 12 sand to clayey sand (*)

Test on Gosier site



- Les deux architectures possibles

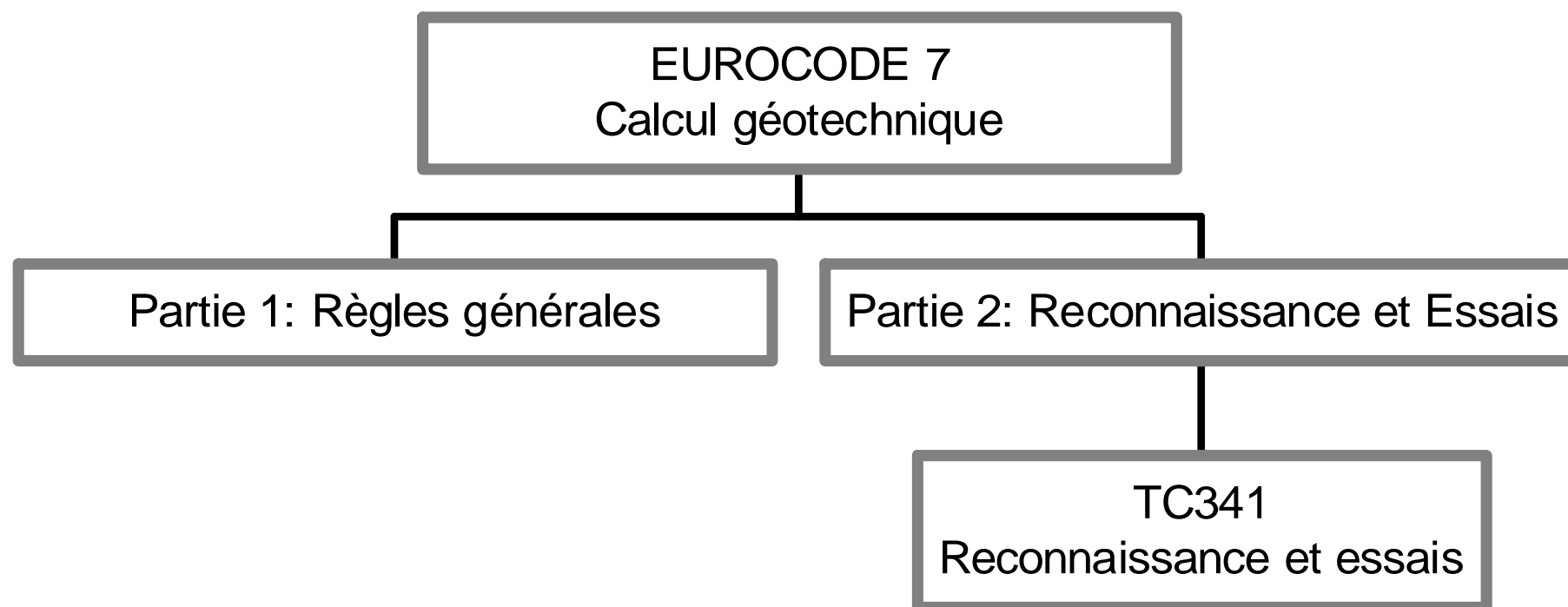


Actions entreprises : Normalisation

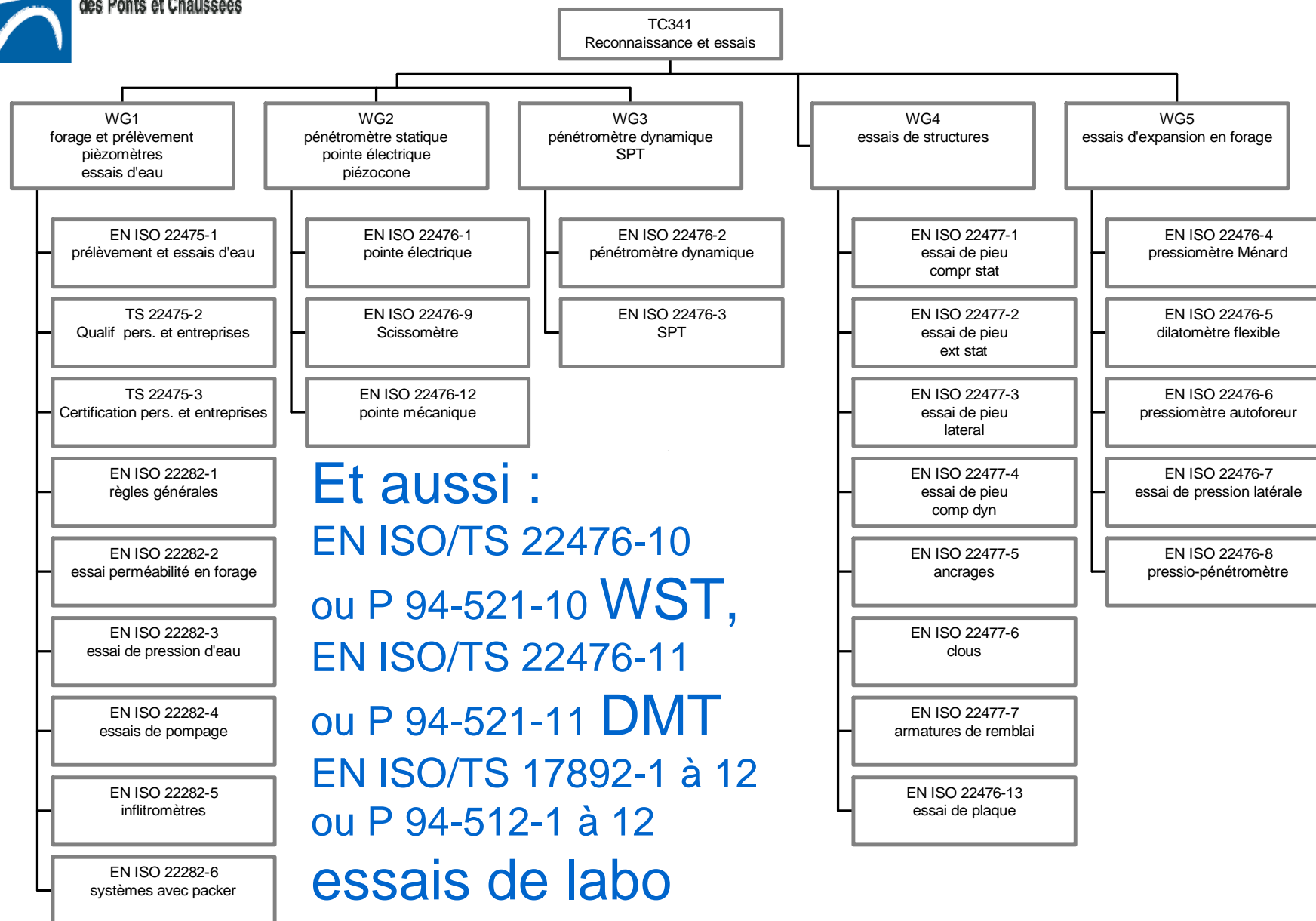
- Prélèvement et Essais d'eau (LREP* – LCPC)
- Essais d'expansion en forage (LREP – LCPC)

* G. Bigot et Y. Canépa

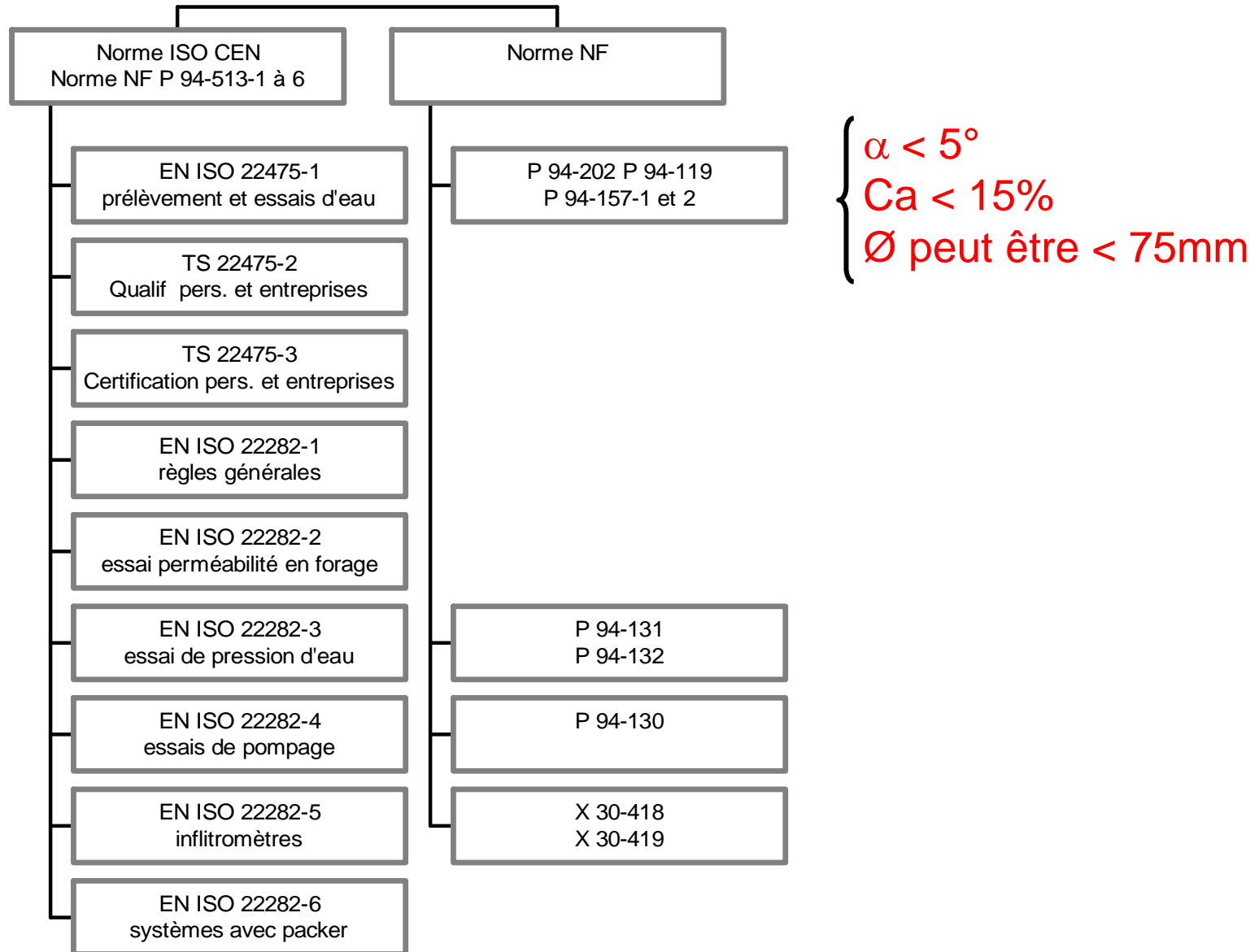
Normalisation



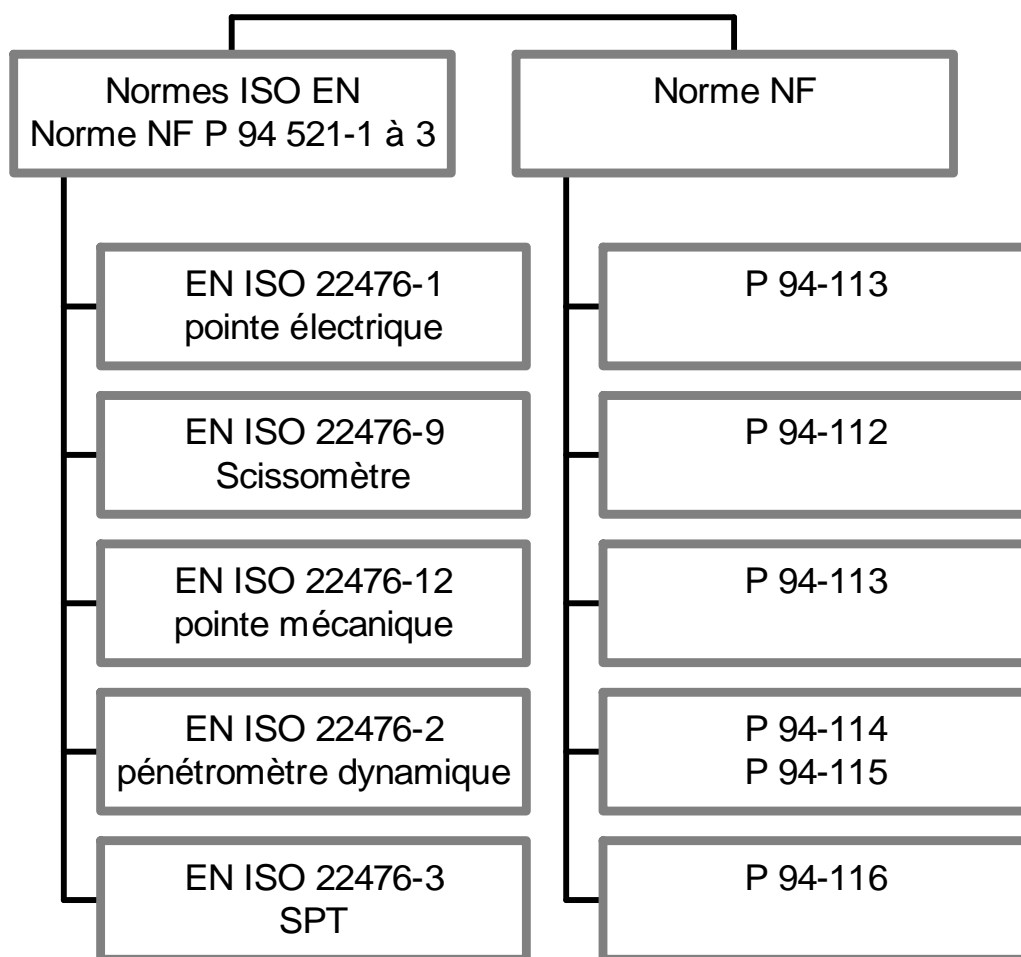
Normalisation



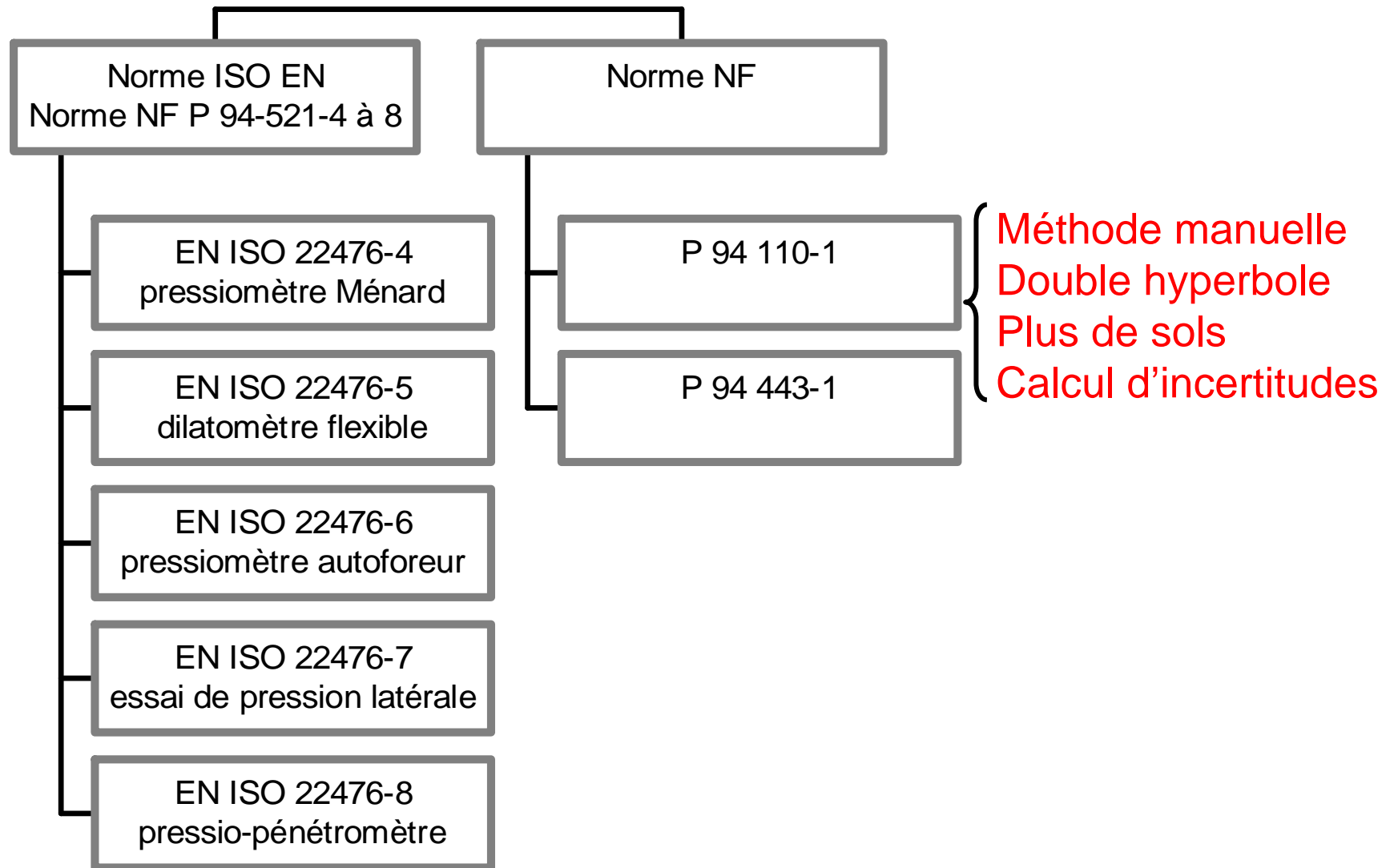
Normalisation



Normalisation



Normalisation

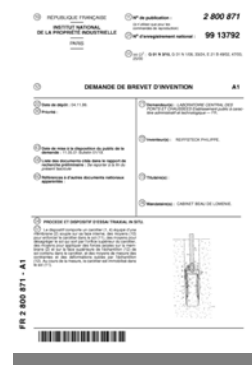
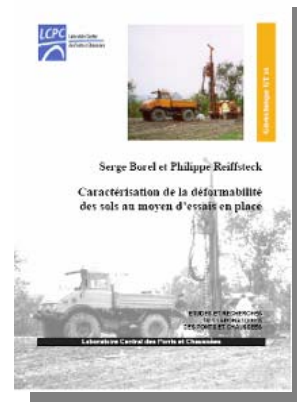
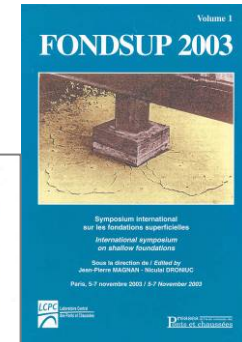
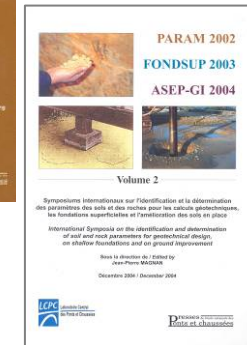
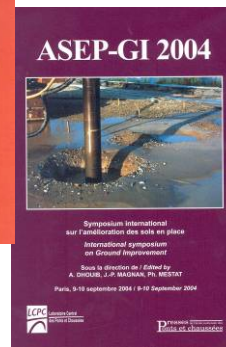
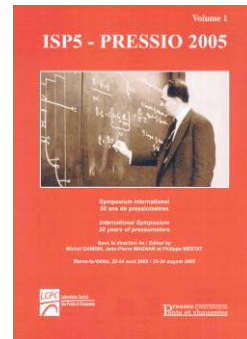
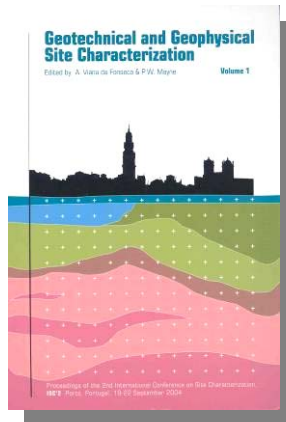


Normalisation

Boring technique Soil Type	$1 < d/d_0 \leq 1,15$											$(d/d_0 \approx 0)$
	Rotary Drilling					Rotary percussion			Pushing, driving or vibrodriving			Full displac. DST
	HA	CFA *	ADM*	DTM	CD	RP	RPM	STD T M	PS	DS	VDS	
Sludge and soft clay	-	-	***°	**°	-■		-	-	*** TWS	-		*■
Soft to medium stiff clayey soils	**■	**■	***°	***°	**■	-	*■°	*°	*■	*	-	
Stiff clayey soils		***	**°	***°	***°	*■	**°	**°	-	*■	-	
Silty soils: - above water table	**	**	***°	**°	**°	-	*°	**°	*■	*	*	-
- below water table	-	-	**°	*■°	*■°	-	*°	**°	-	-	-	*■
Loose sandy soils : - above water table	**	**	***°	**°	*	-	*°	*°	-■	-	-	-
- below water table	-	-	**°	*■°	-■	-	*°	*°	-■	-	-	*■+
Medium dense and dense sandy soils	**	***	***°	***°	*°	*	**°	**°	-	*	*	**■+
Coarse soils : gravels, cobbles		-■	-■°	**°	-■	*	***°	*■°		*	*	***■+
Coarse soils with cohesion (e.g. boulder clay)		*	*°	**°	**°	*	***°	*■°		*	*	
Loose non homogeneous soils, non textbook soils (e.g. tills, some alluvial deposits, man made soils, treated or untreated fills ...)		*	*°	**°	*°	*	**°	**°	-	*	*	**■+
Weathered rock, Soft rock		**	**°	***°	**°	*■	**°	**°		*■	*■	
Rock (see note below)				***°	***°	***	***°					

- Travaux en cours
 - WG1
 - Conductivité thermique
 - Paramètres de forage
 - Monitoring : inclinomètres
 - WG5
 - Phicomètre
 - Pressiomètre avec cycle
 - WG6
 - Toutes les normes d'essais de labo

- Pour aller plus loin



Conclusions

- Ne jetez pas tout => musée ou expo Pressio2005
- Fonctionner en réseau, maintenir expertise
- Faire remonter info/besoins/questions techniques à DTGéo LCPC
 - Jean-Pierre Magnan
 - Emmanuel Manier
- Proposer des fiches recherches et/ou développement